

FORTSCHRITTE DER CHEMISCHEN FORSCHUNG TOPICS IN CURRENT CHEMISTRY

Herausgeber:

A. Davison · M. J. S. Dewar

K. Hafner · E. Heilbronner

U. Hofmann · K. Niedenzu

Kl. Schäfer · G. Wittig

Schriftleitung: F. Boschke

PREPARATIVE ORGANIC CHEMISTRY

S. Hünig / H. Hoch

Lehrstuhl für Organische Chemie

W. K. Musker

Lehrstuhl für Organische Chemie



Springer-Verlag Berlin Heidelberg New York

<i>S. Hünig</i> und <i>H. Hoch</i>	Acylierung von Enaminen	235
<i>W. K. Musker</i>	Nitrogen Ylids	295

Herausgeber:

Prof. Dr. <i>A. Davison</i>	Department of Chemistry, Massachusetts Institute of Technology, Cambridge, MA 02139, USA
Prof. Dr. <i>M. J. S. Dewar</i>	Department of Chemistry, The University of Texas Austin, TX 78712, USA
Prof. Dr. <i>K. Hafner</i>	Institut für Organische Chemie der TH 6100 Darmstadt, Schloßgartenstraße 2
Prof. Dr. <i>E. Heilbronner</i>	Physikalisch-Chemisches Institut der Universität CH-4000 Basel, Klingelbergstraße 80
Prof. Dr. <i>U. Hofmann</i>	Institut für Anorganische Chemie der Universität 6900 Heidelberg 1, Tiergartenstraße
Prof. Dr. <i>K. Niedenzu</i>	University of Kentucky, College of Arts and Sciences Department of Chemistry, Lexington, KY 40506, USA
Prof. Dr. <i>Kl. Schäfer</i>	Institut für Physikalische Chemie der Universität 6900 Heidelberg 1, Tiergartenstraße
Prof. Dr. <i>G. Wittig</i>	Institut für Organische Chemie der Universität 6900 Heidelberg 1, Tiergartenstraße

Schriftleitung:

Dipl.-Chem. <i>F. Boschke</i>	Springer-Verlag, 6900 Heidelberg 1, Postfach 1780
-------------------------------	---

Springer-Verlag 6900 Heidelberg 1 · Postfach 1780
 Telefon (06221) 49101 · Telex 04-61723
 1000 Berlin 33 · Heidelberger Platz 3
 Telefon (0311) 822001 · Telex 01-83319

Springer-Verlag New York Inc. New York, NY 10010 · 175, Fifth Avenue
 Telefon 673-2660

Acylierung von Enaminen

Prof. Dr. S. Hünig und Dr. H. Hoch

Institut für Organische Chemie der Universität Würzburg

Inhalt

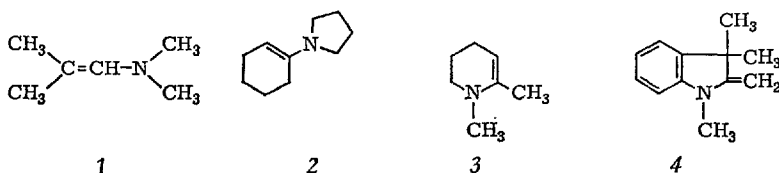
1.	Einführung	236
1.1.	Abgrenzung des Themas	236
1.2.	Die wichtigsten Syntheseprinzipien für Enamine	237
1.3.	Protonierung der Enamine und Folgereaktionen	238
2.	Acylierung mit Carbonsäurederivaten	243
2.1.	Acylierung mit Ketenen	243
2.1.1.	Acylierung von Aldehydenaminen	244
2.1.2.	Acylierung von Ketonenaminen	249
2.2.	Zur Spaltung der Cycloaddukte	250
2.3.	Eigenschaften und Reaktionen der Acylenamine	252
2.3.1.	Physikalische Daten der Acylenamine	252
2.3.2.	Acylierung der Acylenamine mit Ketenen	257
2.3.3.	Präparative Bedeutung der Acylenamine	260
2.4.	Acylierung mit Diketenen	263
2.5.	Acylierung mit Carbonsäurechloriden	265
2.6.	Acylierung mit α,β -ungesättigten Carbonsäurechloriden	268
2.6.1.	Acylierung von Aldehydenaminen	268
2.6.2.	Acylierung von Ketonenaminen	269
2.7.	Acylierung mit vinylogenen Carbonsäurechloriden	271
2.8.	Acylierung mit Carbonsäureanhydriden	272
2.9.	Acylierung mit Vilsmeier-Reagentien	273
2.10.	Acylierung mit Imidosulfonaten	274
2.11.	Acylierung mit Hydroxamsäurechloriden	276
2.12.	Acylierung mit Hydrazidchloriden	277
2.13.	Acylierung mit vinylogenen Amidinium-Salzen	277
2.14.	Gekoppelte Enaminbildung und Acylierung	278
3.	Acylierung mit Kohlensäurederivaten	278
3.1.	Acylierung mit Kohlensäureesterchloriden	278
3.2.	Acylierung mit Orthokohlensäurederivaten	279
3.3.	Acylierung mit Cyansäurederivaten	279
3.4.	Acylierung mit Isocyanaten und Isothiocyanaten	280
3.4.1.	Acylierung von β -substituierten Aldehydenaminen	280
3.4.2.	Acylierung von Aldehyd- und Ketonenaminen mit β -ständigem H-Atom	281

3.4.3. Zweifache Acylierung isomerisierbarer Enamine	283
3.5. Acylierung mit Schwefelkohlenstoff	285
3.6. Acylierung in Gegenwart von Schwefel	286
4. Literatur	288

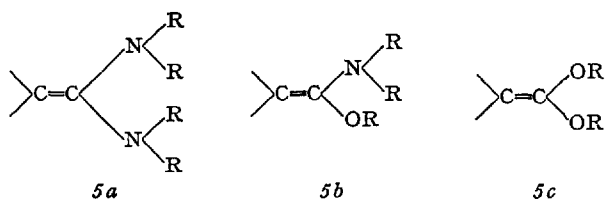
1. Einführung

1.1 Abgrenzung des Themas

Als Enamine sind alle Verbindungen zu bezeichnen, in denen eine Aminogruppe unmittelbar mit einer Doppelbindung verknüpft ist. Hier soll nur von Enaminen die Rede sein, deren N-Alkyl- oder Alkylaryl-Gruppen eine Tautomerie ausschließen und deren Doppelbindung keine Substituenten mit starker Rückwirkung aufweisen. Typische Vertreter sind 1, 2 und 3. Auch 4, die sogenannte Fischerbase¹⁾, ist als Enamin zu betrachten. Ja, man muß sagen, daß alle wichtigen Alkylierungs- und Acylierungsreaktionen der Enamine 1–3, soweit sie zu offenkettigen Produkten führen, schon von der Fischerbase 4 bekannt waren¹⁾. Ihre Übertragung auf Enamine vom Typ 2, über den zuerst G. Stork u. Mitarb.^{2,3)} berichteten, führte, nach Ausdehnung auf 1, zu einer Fülle von präparativ wichtigen und theoretisch interessanten Reaktionen, über die inzwischen mehrere Zusammenfassungen erschienen sind ^{4a–e)}.



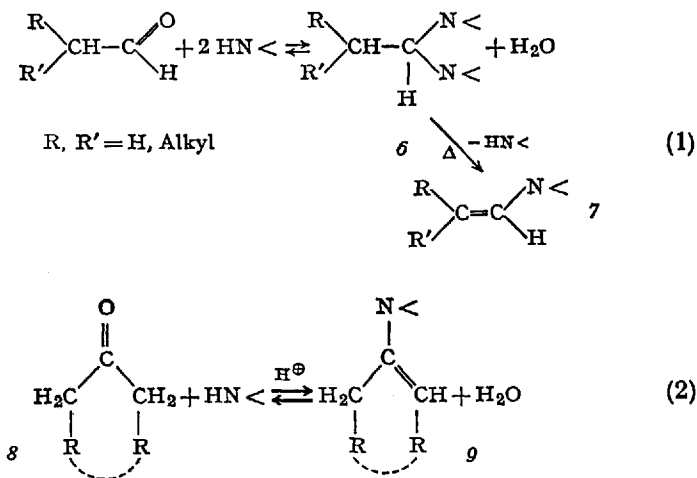
Der vorliegende Überblick beschränkt sich auf die Acylierung der Enamine durch reaktive Derivate der Carbonsäuren und der Kohlensäure, auch wenn Cycloaddukte als Zwischen- oder Endprodukte auftreten. Die Reaktion mit Sulfonsäure-Derivaten bleibt unberücksichtigt⁵⁾. Auf das ähnliche Verhalten der Ketenaminale 5a Keten-O,N-acetale 5b und Ketenacetale 5c bei der Acylierung sei lediglich hingewiesen⁶⁾. Vorgeschiedt werden die wichtigsten Syntheseprinzipien für Enamine. Außerdem ist es zweckmäßig, vorab das Verhalten der Enamine gegenüber Protonen zu besprechen, die bei Acylierungsreaktionen kaum auszuschließen sind. Die ebenfalls wichtige hydrolytische Spaltung der



Enamine und ihrer Acylierungsprodukte erscheint bei den einzelnen Beispielen.

1.2. Die wichtigsten Synthesepinzipien für Enamine

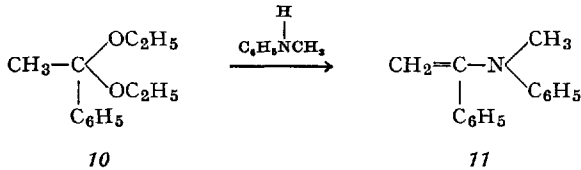
Erst die glatte Synthese von Enaminen *aus Aldehyden* nach *Mannich* und *Dauidsen*⁷⁾ (Gl. 1) sowie *aus Ketonen* nach *Herr* und *Heyl*⁸⁾ (Gl. 2) mit sec. Aminen wie Dimethyl- und Diäthylamin und vor allem Pyrrolidin, Piperidin und Morpholin schaffte die Voraussetzung für die allgemeine Anwendbarkeit der Enamine.



Der Wasserentzug geschieht im ersten Falle mit Kaliumcarbonat⁷⁾, welches zugleich Säurespuren entfernt, die sonst leicht zur Selbstkondensation des Aldehyds führen könnten (s.u.). Das zunächst entstehende Aminoal 6 liefert bei der destillativen Spaltung das Enamin 7⁷⁾. Während dieses Verfahren mit Ketonen 8 nur unbefriedigend verläuft⁷⁾, gelingt die Synthese der Enamine 9 aus 8 und sec. Amin glatt, wenn unter

Säurekatalyse das Wasser azeotrop mit Benzol oder Toluol entfernt wird⁹⁾. Insbesondere cyclische Ketone eignen sich hierfür.

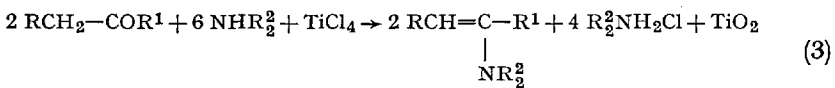
Der kritische Schritt der Wasserabspaltung kann umgangen werden. So läßt sich das sonst schwer zugängliche Enamin *11* aus dem Ketal *10* und N-Methylanilin gewinnen⁹⁾.



Die *Tris-dialkylaminoborane*¹⁰⁾ und *-arsine*¹¹⁾, *12* bzw. *13*, verwandeln

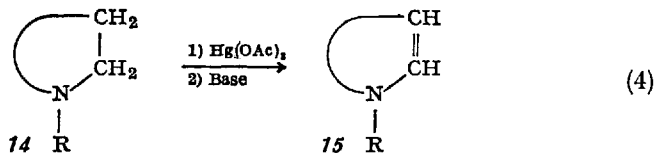


Aldehyde und Ketone glatt in Enamine. Ähnlich wirkt Titan-tetrachlorid bei großem Überschuß an sec. Amin, wie die folgende Gleichung (Gl. 3) zeigt^{12a)}.



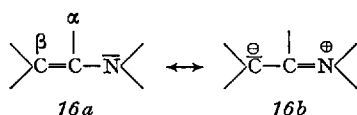
Aldehyde wurden mit Tris-[dimethylamino]-methan in trans-Enamine übergeführt^{12b)}.

Heterocyclische Enamine *15* werden gewöhnlich durch Dehydrierung der gesättigten Amine *14* gewonnen¹³⁾ (Gl. 4).



1.3. Protonierung der Enamine und Folgereaktionen

Die Delokalisierung des unverbundenen Elektronenpaares am N-Atom, die sich im UV-spektroskopischen Verhalten der Enamine ausprägt, läßt sich durch die Grenzstrukturen *16a* und *16b* beschreiben.

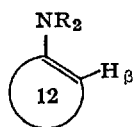


Infolge der damit verbundenen Nucleophilie des β -C-Atoms greifen Elektrophile zumeist in β -Stellung an — darauf beruht der präparative Wert der Enaminreaktionen — der Angriff am N-Atom wird ebenfalls beobachtet ^{3,14,15,18}. Die Natur des Aminrestes wirkt sich stark auf die Elektrophilie des β -C-Atoms aus. Für die häufig verwendeten Aminreste des Pyrrolidins, Piperidins und Morpholins liegen Vergleichswerte vor.

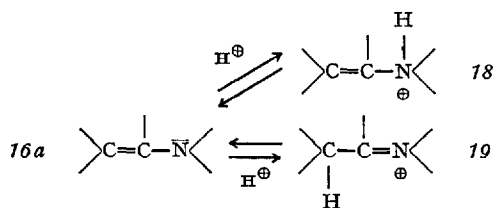
Rel. Geschw. der Reaktion von	$(\text{CH}_3)_2\text{C}=\text{CHNR}_2$		
	$\text{R}_2\text{N} =$ Morpholino	Piperidino	Pyrrolidino
mit Dimethylketen ¹⁶⁾	1	7	20
Diphenylketen ¹⁷⁾	1	—	1400
$\text{H}_3\text{O}^{\oplus}$ ¹⁸⁾	1	330	26000

Einen entsprechenden Gang zeigen die Vinyl- H^1 -NMR-Signale der Enamine vom Typ **17** (vgl. ²⁰). Auch hier kommt die gegensätzliche Position von Morpholin und Pyrrolidin, d. h. die besonders starke Donatorwirkung des letzteren zum Ausdruck.

Abhängigkeit der H_β -NMR-Signale vom Aminrest (δ in ppm in CCl_4) ¹⁹⁾

	$\text{R}_2\text{N}: \text{Morpholino}$	Piperidino	Pyrrolidino
	4.30	4.25	3.94

Bei der Protonierung hat sich **18** als kurzlebiges Produkt nachweisen lassen ^{18,21}, doch kommt den stabilen Salzen zweifellos die Immonium-Struktur **19** zu, da das IR-Spektrum frei von N-H-Banden ist ²².



* IR: 1625–1690 cm^{-1}

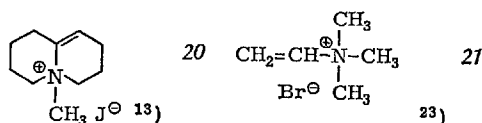
UV: 221–235 nm (Hexan)
 $\epsilon = 3500\text{--}9960$

1649–1705 cm^{-1}

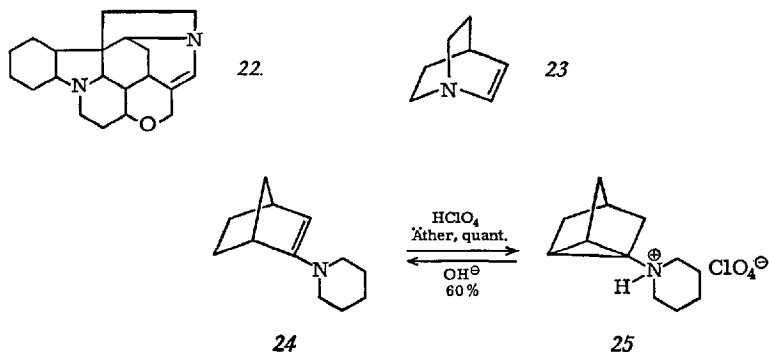
222–233 nm (Acetonitril)
 $\epsilon = 4100\text{--}19800$

* in Abhängigkeit vom Substituenten

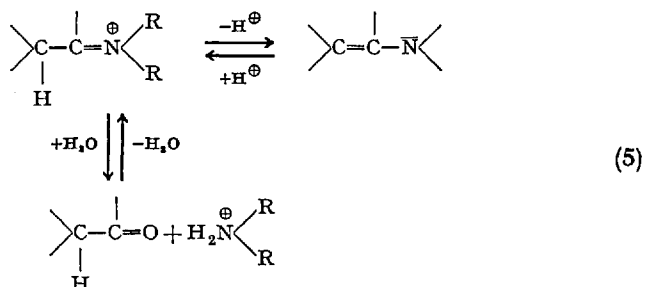
Diese Zuordnung stützt der Vergleich mit Vinyl-ammonium-Salzen wie z. B. 20 und 21, die zwischen 1600–1700 cm^{-1} keine Bande aufweisen, und deren UV-Absorption wesentlich kürzerwellig, im typischen Olefingebiet liegt ^{23,13)}.



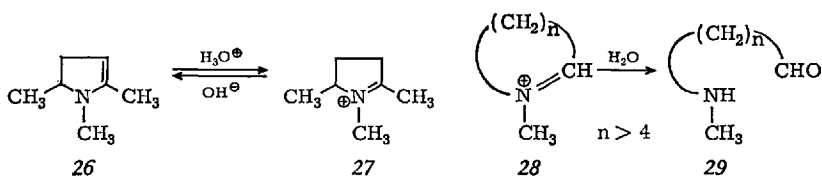
Es sei darauf hingewiesen, daß sich die optischen Daten von 16a und 19 nicht signifikant unterscheiden. Erst bei sterischer Mesomeriebehinderung tritt N-Protonierung des Enamins ein, wie beim Neostychnin (22) ²⁴⁾ und ähnlichen Alkaloiden ²⁵⁾ oder beim Δ^2 -Dehydro-chinuclidin (23) ²⁶⁾. Bereits die Basen weisen lediglich eine UV-Bande bei 213–215 nm auf, wie sie bei tert. aliphatischen Aminen auftritt.



Das gespannte 2-Piperidino-norbornen-(2) **24** verhält sich ebenfalls anomal; es wird zum Tricyclenderivat **25** protoniert ²⁷⁾. Immonium-Salze vom Typ **19** sind außerordentlich hydrolyse-empfindlich ²²⁾. Sie stellen zugleich die Zwischenstufe bei der besprochenen Enamin-Synthese dar, der protonenkatalysierten Kondensation von sec. Amin und Carbonylverbindung unter azeotropem Wasserentzug ⁸⁾.



Nur Enamine mit heterocyclischem 5- oder 6-Ring, wie z. B. **26**, sind im wasserhaltigen Solvens reversibel protonierbar (z. B. zu **27** ²⁸⁾), während höhergliedrige Ring-enamine (**28**) bereits hydrolysieren (\rightarrow **29**) ²⁹⁾.

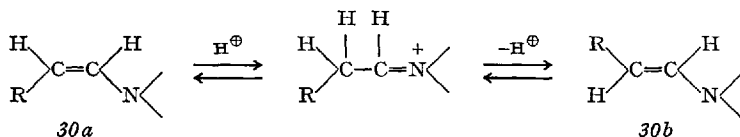


Enamine, bei denen sich nach der Hydrolyse Amin- und Carbonylfunktion in getrennten Molekülen befinden, hydrolysieren schon durch Wasser allein ^{22,30)}. Da die Reaktivität der Enamine mit der zugrundeliegenden Carbonylverbindung zusammenhängt, wird im folgenden zwischen „Aldehydenaminen“ und „Ketonenaminen“ unterschieden.

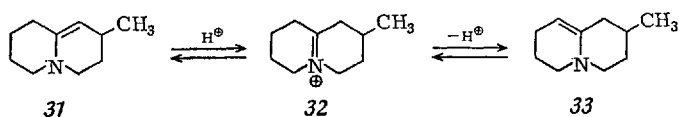
Enamine, die zu glatt oximierbaren Carbonylverbindungen hydrolysieren, sind leicht auf ihre Reinheit zu prüfen: Der Verbrauch an Säure durch freigesetztes Amin muß nach Zusatz von Hydroxylammoniumchlorid ³¹⁾ der bei der Oximierung freigesetzten Säuremenge äquivalent sein ³⁰⁾.

Der glatten Protonierung der Enamine ist es zuzuschreiben, daß cis-Enamine vom Typ **30a** — durch Isomerisierung von N,N-Dialkylallylaminen mit Kalium-tert.-butylat in Dimethylsulfoxid gewonnen ³²⁾ —

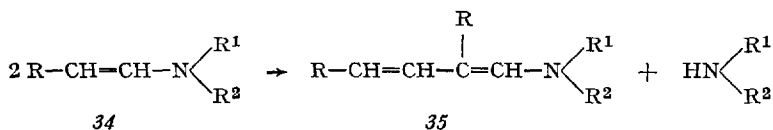
nur bei rigorosem Ausschluß von Säurespuren zu fassen sind, da sie sonst augenblicklich in die stabilere *trans*-Form **30b** übergehen ³²⁾.



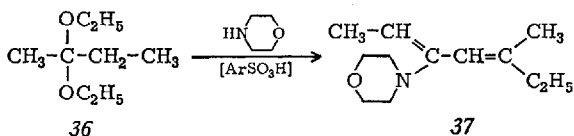
Wenn die Deprotonierung des Immoniumsalzes (z.B. **32**) zu verschiedenen Enaminen (z.B. **31** und **33** ³³⁾ führen kann, werden grundsätzlich *beide Isomeren* beobachtet. Bei der protonenkatalysierten Synthese von Enaminen sowie bei Acylierungsreaktionen ist daher mit einer raschen Einstellung des Tautomeriegleichgewichtes zu rechnen ^{34,35)}.



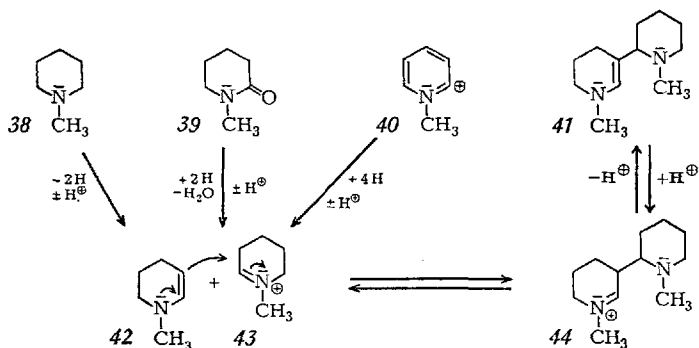
Die Lage des Gleichgewichtes hängt sowohl von elektronischen wie sterischen Faktoren ab ²⁰⁾. Die Konstitution eines isolierten, tautomeriefähigen Enamins sagt daher nichts über die Verhältnisse im Reaktionsmedium aus ³⁶⁾. Besonders Enamine vom Typ **34** unterliegen leicht Kondensationsreaktionen, die bereits beim Stehen oder Destillieren eintreten ³⁷⁾, und z.B. der Alkylierung mit Methyljodid den Rang ablaufen ³⁸⁾.



Selbst wenn man die Ketalmethode zur Enamin-Darstellung auf **36** überträgt, resultiert das Dienamin **37** als Folge einer Mannich-Kniss-



Kondensation ³⁹⁾. Die Reaktion ist höchstwahrscheinlich säurekatalysiert, da sie bei Gegenwart der zugehörigen Immoniumionen sehr rasch eintritt ⁴⁰⁾ und ihr Verlauf sich an heterocyclischen Enaminen, bei denen die Abspaltung des sec. Amines unterbleibt, ablesen läßt. So ist das Enamin **42** bzw. sein Immoniumsalz **43** weder bei der Dehydrierung des N-Methyl-piperidins **38** ⁴¹⁾ noch bei der Hydrierung von **39** ⁴²⁾ oder **40** ⁴²⁾ zu fassen. Es entsteht vielmehr stets in guter Ausbeute das Dimere **41**, das über **44** im Sinne einer reversiblen ⁴³⁾ Aldolkondensation von **42** und **43** entstanden sein muß.



Diesem Reaktionstyp ist bei allen unter Protonenbeteiligung verlaufenden Enaminreaktionen Beachtung zu schenken. Er macht darüberhinaus die altbekannte Dimerisierung von 2-Methylbenzthiazolium-Salzen beim Alkalisieren verständlich ^{43a)}; auch die Bildung von Xantho- und Erythroopocyaninen aus Alkylchinolinium-Salzen und Alkalilauge ^{44,45)} ist durch diesen Kondensationstyp zu deuten.

2. Acylierung mit Carbonsäurederivaten

2.1. Acylierung mit Ketenen

Dieser Reaktionstyp kann zu vielfältigen Produkten führen, die auch dann entstehen, wenn mit Carbonsäurechloriden acyliert wird, die unter den Reaktionsbedingungen in Ketene übergehen können.

Es werden hier daher alle Reaktionen mit Enaminen behandelt, bei denen in Substanz eingesetzte oder in situ erzeugte Ketene das Reaktionsbild bestimmen ^{45a)}.

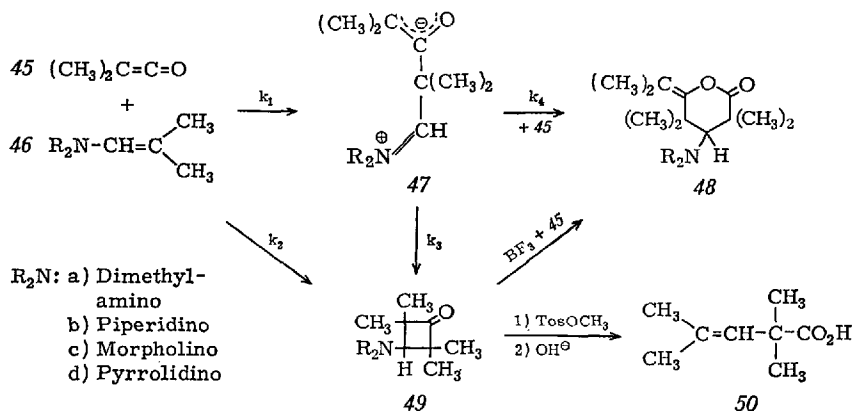
2.1.1. Acylierung von „Aldehydenaminen“

Dimethylketen (45) und das Enamin 46 a bzw. 46 b reagieren exotherm unter Bildung

des stabilen 1:1-Cycloadduktes 49 46),

des 2:1-Adduktes 48 47,48)

und einer geringen Menge eines bisher unbekanntes 46).



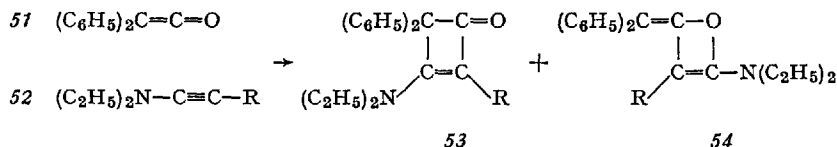
Die Cyclobutanon-Struktur von 49 folgt u. a. aus der typischen IR-Bande bei $\approx 1770 \text{ cm}^{-1}$ sowie der alkalischen Spaltung des Quaternierungsproduktes zur ungesättigten Säure 50. Der Methylene- δ -lacton-Charakter von 48 ist durch eindeutige Reaktionen gesichert 47).

Bereits die Bildung von 48 läßt auf die zwitterionische Zwischenstufe 47 schließen, die entweder unter 1.4-Addition weiteren Dimethylketens zu 48 führt oder unter Ringschluß zu 49.

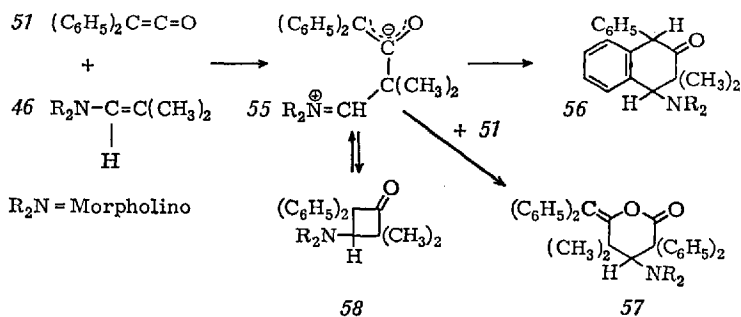
Tatsächlich läßt sich das Verhältnis 49/48 durch wachsenden Dimethylketen-Überschuß zugunsten von 48 beeinflussen. Der Versuch ist beweiskräftig, da 49 mit überschüssigem Dimethylketen erst auf Zusatz von Bortrifluorid zu 48 reagiert 48).

Aus der quantitativen Auswertung der Lösungsmittelabhängigkeit des Verhältnisses 49:48 folgt, daß ein bestimmter Bruchteil von 49 dem Solvenseffekt nicht unterliegt, obwohl mit steigender Solvenspolarität mehr 48 entsteht, die Lebensdauer von 47 also zunimmt. Das legt den Schluß nahe, daß 49 sowohl in einstufiger Cycloaddition als auch über 47 entsteht 49). Derartige synchrone 2 + 2-Cycloadditionen sind unter Beteiligung von Ketenen als thermische Reaktionen erlaubt 50). Ihre Stereospezifität findet sich aber prinzipiell auch bei der Reaktion über

zwitterionische Zwischenstufen vom Typ 47, die infolge von „Homoallyl-Mesomerie stabilisiert sind ⁵¹). Außerdem erlauben im Normalfall die Orbitalsymmetrien nur den Ringschluß zum Cyclobutanon und nicht zum Oxetan ⁵²). Diese beiden möglichen Cycloaddukte wurden als analoge Reaktionsprodukte nur im Falle der vergleichbaren Reaktion zwischen 51 und dem Inamin 52 zu 53 und 54 beobachtet ⁵³).

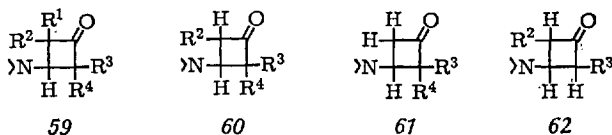


Mit *Diphenylketen* (51) als Partner wird sogar der Cyclobutanonringschluß zu 58 rückläufig: In Acetonitril verwandelt sich 58 durch überschüssiges 51 in das 2:1 Addukt 57.

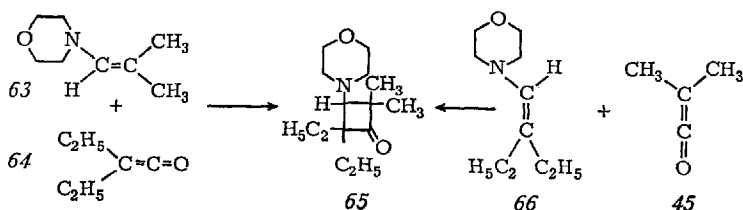


Außerdem geht 58 beim Erwärmen in Methanol, mit Salzsäure schon in der Kälte, unter intramolekularer Substitution in 56 über. In beiden Fällen muß man das Zwitterion 55, dessen Enolatstruktur hier noch besser als bei 47 (S. 244) stabilisiert ist, als Zwischenstufe verantwortlich machen ⁴⁸).

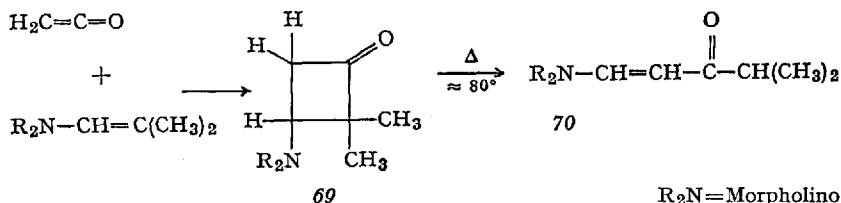
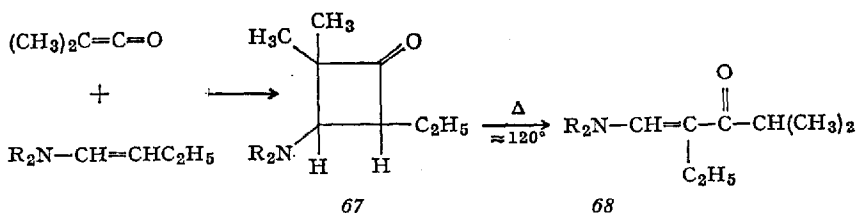
Nach dem gleichen Additionsprinzip sind zahlreiche 2,4-persubstituierte Cyclobutanone der allgemeinen Formel 59 dargestellt worden ⁵⁴).



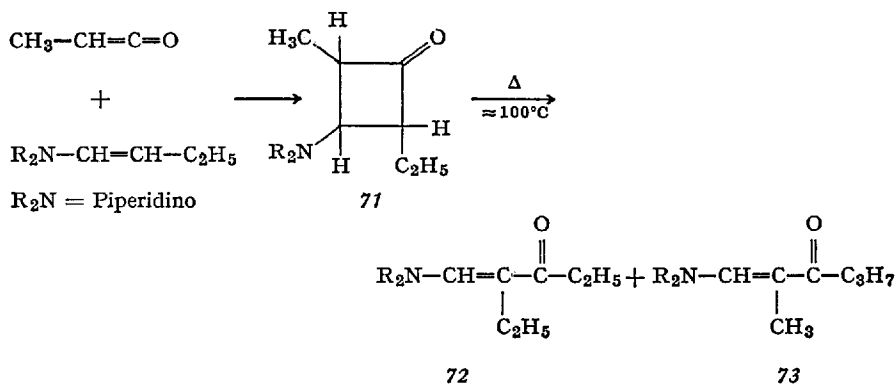
Zugleich wurde ein unabhängiger Beweis für die Vierringstruktur der Addukte erbracht, wie das folgende Beispiel zeigt ⁵⁷⁾. Die Kombinationen 63 + 64 sowie 66 + 45 führen zum gleichen Produkt 65. Hier, wie in



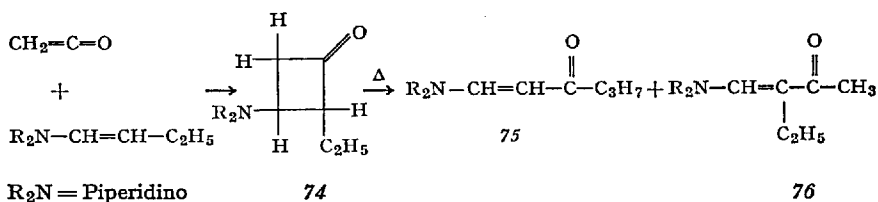
zahlreichen anderen Fällen wurde das Keten in situ aus dem entsprechenden Säurechlorid und Triäthylamin erzeugt. Durch Variation der Komponenten sind auch die Cyclobutanone vom Typ 60 ⁵⁵⁾, 61 ⁵⁶⁻⁵⁸⁾ und 62 ^{46,55,56,57)} zu fassen. Entscheidend ist dabei die Verwendung der unpolaren Solventien Äther oder Benzol, in denen das aus dem Säurechlorid entstandene Triäthylammoniumchlorid quantitativ ausfällt, für die Synthese der Typen 60–62: Mit steigender Zahl von H-Atomen neben der Carbonylgruppe wächst die Instabilität der Cyclobutanone gegen polare Solventien und Protonenquellen (s. u.) sowie Temperatursteigerung. Es tritt zwischen 50–110° C Ringöffnung ein, die beim Typ 60 und 61 eindeutig verläuft, z. B. 67 → 68 ⁴⁶⁾ und 69 → 70 ⁵⁷⁾. Dagegen führt die Spaltung des Typs 62 zu Gemischen von Acylenaminen, z. B. 71 → 72 + 73 ⁵⁷⁾.



R₂N=Morpholino

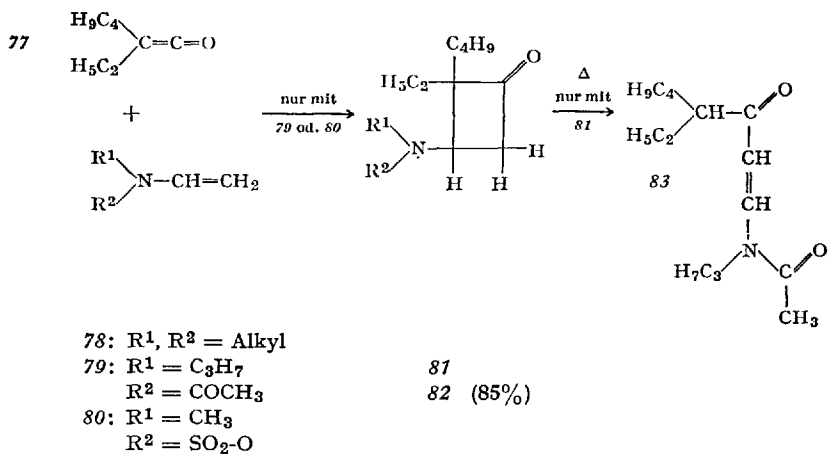


Noch weniger substituierte Cycloaddukte wie 74 sind nur noch als kurzlebige Zwischenstufen nachzuweisen (IR); so isomerisiert 74 rasch zu 75 und 76⁴⁶⁾.

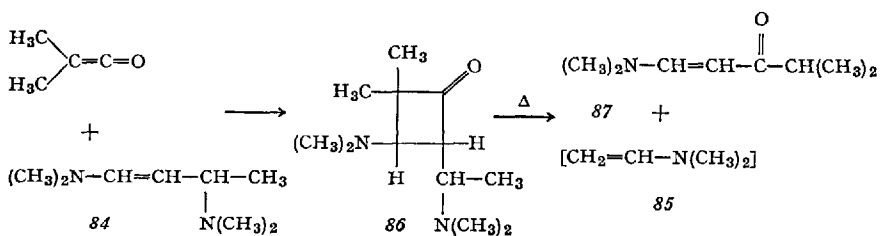


Die Spaltung der 3-Aminocyclobutanone, die in Nachbarschaft zur Carbonylgruppe über H-Atome verfügen, muß nicht unbedingt über die bei der Bildung durchlaufenen Zwitterionen (vgl. S. 12 55 \rightarrow 58), führen. Das Problem ist an den ähnlich gebauten Cycloaddukten der Ketonenamine untersucht worden (vgl. 2.2).

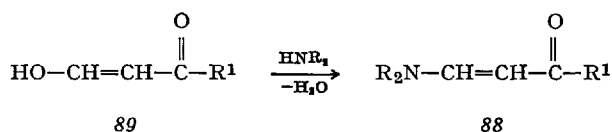
Die eindeutigen Spaltungen besitzen *präparatives* Interesse für die Synthese von Acylenaminen. Dabei ist zu beachten, daß im Falle der Bildung von 68 sich das Ergebnis nicht von dem einer direkten Acylierung des eingesetzten Enamins unterscheidet. Im Falle von 70 dagegen sind die eingesetzten Komponenten an der olefinischen Bindung gespalten worden, sodaß also Enamin- und Acylfunktion gewissermaßen vertauscht erscheinen. Gerade hier ist dieser Syntheseweg bedeutsam, weil das unsubstituierte Enamin 78 viel zu leicht Selbstkondensationen (vgl. Kap. 1.3, S. 242) unterliegt. Erst wenn man durch Acylsubstituenten die Basizität des Stickstoffatoms schwächt (z. B. 79, 80) wird diese Ausweichreaktion vermieden und normale „Acylierung“ möglich, z. B. 77 + 79 \rightarrow 81 \rightarrow 83 und 77 + 80 \rightarrow 82^{55a)}.



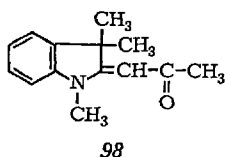
Auf einem ungewöhnlichen, indirekten Weg ist dennoch die Acylierung von 78 (s. o.) möglich: 1.3-Bis-dimethylamino-buten-1 (84), das aus Crotonaldehyd und Dimethylamin bequem zugänglich ist ⁷⁾ und das sich als Dimeres des Vinyl dimethylamins 85 auffassen läßt (vgl. S. 243), verbindet sich mit Dimethylketen zu dem labilen Cycloaddukt 86.



Dieses spaltet thermisch zum Acylenamin 87 und harzigen Produkten, die aus 85 entstanden sein dürften ^{55a)}. Der übliche Weg zu Acylenaminen 88, die sich formal von 78 ableiten, ist jedoch ganz anders: Man setzt ein Hydroxymethylenketon 89 mit einem sec. Amin um ^{56b)}.



Cycloaddukt nachweisbar ⁶¹⁾. Der Rückschluß auf *96* ist jedoch aus dem Auftreten von *97* bei $n \geq 9$ zwingend. Erst in Benzol oder Äther ist *96* nachzuweisen und mit $n = 7, 8$ und 12 ($R^1 = H, CH_3$) sogar zu isolieren ⁵⁹⁾. Die Spaltung der Addukte verläuft in der erwarteten Richtung (vgl. 2.2). Die im Reaktionsgemisch von *93* ($n = 6$) und Keten beobachtete Bande bei $\sim 1775 \text{ cm}^{-1}$ darf vermutlich dem sehr instabilen Cycloaddukt *96* ($n = 6, R^1 = H$) zugeschrieben werden ^{59, 62)}. Dagegen dürfte der Ringschluß des Zwitterions für $n = 5$ infolge zu großer Ringspannung ausbleiben. Aus einem ähnlichen Grunde entsteht aus der Fischerbase und Keten oder Acetylchlorid nur das „normale“ Acylierungsprodukt *98* ¹⁾.



Eine größere Stabilisierung des Zwitterions *94* erhöht erwartungsgemäß den Anteil an *95a + b* auf Kosten von *97* wie die Ergebnisse an Cyclodecanonenamininen zeigen ¹⁹⁾:

1. Der stärker basische Pyrrolidinrest, an Stelle des Morpholinrestes, steigert das Verhältnis *95*:*97* von $\approx 2:1$ auf $\approx 20:1$ ($R^1 = H$).

2. Die gleiche Steigerung beobachtet man für *93* ($n = 12$) und Keten beim Übergang von Äther auf Acetonitril/Äther (4:1).

3. Setzt man Ketene (in Substanz oder in situ) ein mit $R^1 = CH(CH_3)_2$, C_6H_5 , $p-CH_3OC_6H_4$ sowie Dimethyl- und Diphenylketen, so entstehen nur die *95a, b* entsprechenden „normalen“ Acylierungsprodukte. Intermediäre Cycloaddukte sind nicht nachweisbar.

2.2. Zur Spaltung der Cycloaddukte

Da die Spaltungsgeschwindigkeit der Cyclobutanone mit wachsender Zahl von H-Atomen neben der CO-Gruppe zunimmt, ist damit zu rechnen, daß die Ringöffnung nicht nur über Zwitterionen (z. B. *96* \rightarrow *94* (S. 249)) als Umkehrung der Bildung verläuft. Vielmehr wäre es denkbar, daß als geschwindigkeitsbestimmender Schritt eine Enolisierung erfolgt, z. B. *96* \rightarrow *96a* oder *96b*, der sich eine electrocyclische Ringöffnung zu *99* oder *100* anschließt, die infolge der anwesenden Substituenten durchaus wesentlich rascher als die übliche thermische Cyclobuten-Ringöffnung ⁶³⁾ verlaufen könnte. Dabei müßte die Enolisierung *96* \rightarrow *96a* (oder *96b*) geschwindigkeitsbestimmend sein, da ein H-D-Austausch in *96* nicht

gelingt. **96** ($n=8$, $R^1=H$) reagiert jedoch nur 1,5mal rascher zu **95** ($n=8$, $R^1=H$) als das deuterierte Analoge **101** ($n=8$, $R^1=H$)⁵⁹. Für den geschwindigkeitsbestimmenden Enolisierungsschritt **96** → **96a**(*b*) wäre ein viel größerer Isotopieeffekt zu erwarten. Daher ist der Weg über **96a**(*b*) auszuschließen. Das Ergebnis steht mit einem sekundären Isotopeneffekt für einen Übergangszustand im Einklang, der der zwitterionischen Zwischenstufe **94** nahe steht. Die Spaltungsgeschwindigkeit hängt stark von der Ringgröße n ab, wie Tabelle 1 zeigt.

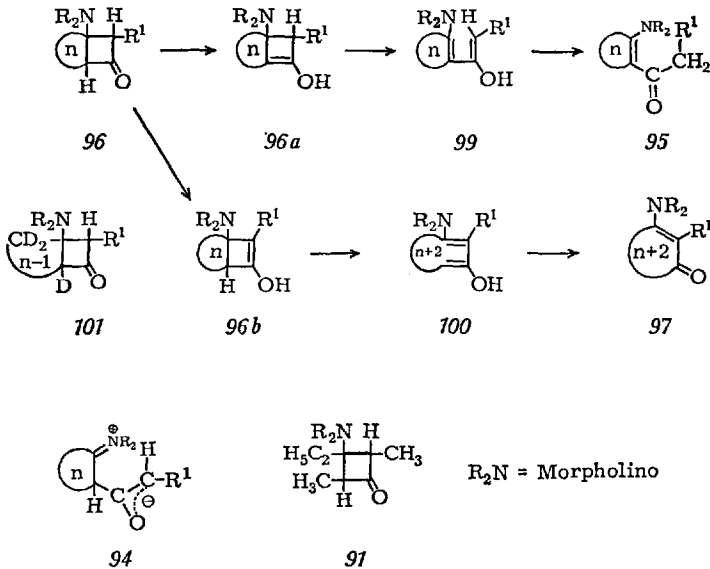


Tabelle 1. Halbwertszeiten verschiedener Cycloaddukte in Tetrachloräthylen bei 20 °C*)

96**) ($n=7$)	96**) ($n=8$)	96**) ($n=12$)	97
> 5 Tage	115 min	230 min	1400 min

*) Reaktion 1. Ordnung

***) $R^1=CH_3$

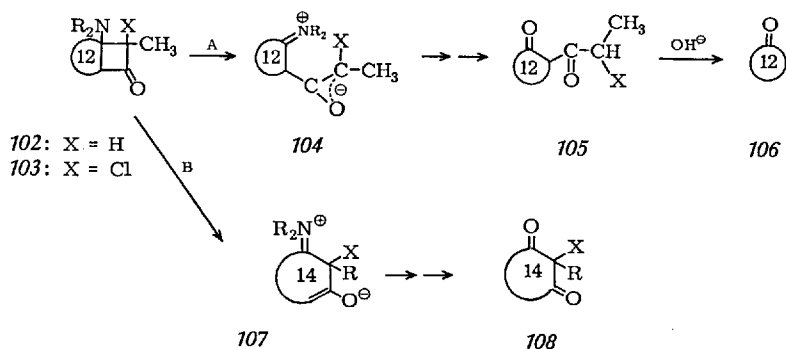
Sieht man von der ungewöhnlichen Stabilität von **96** ($n=7$) ab, so öffnen sich die bicyclischen Verbindungen rascher, als die Modellsubstanz **97**⁵⁹.

Das Solvens beeinflusst, wie am Beispiel des Chloroforms gezeigt, die Spaltungsgeschwindigkeit erheblich, die außerdem durch Protonenkatalyse nochmals erhöht wird (Tabelle 2).

Tabelle 2. Halbwertszeiten der Isomerisierung von 96 ($n = 7$, $R^1 = H$) zu 95 in Tetra-chloräthylen + Zusätze bei 20 °C (Reaktion 1. Ordnung)

Zusatz	—	10 Moläquiv. Methanol	1 Moläquiv. Phenol	1 Moläquiv. 3.5-Dichlorphenol
$t_{1/2}$	> 8 Tage	~ 500 min	~ 150 min	~ 30 min

Sehr eigentümlich ist der Solvenseffekt auf die Ringöffnungsrichtung der Cycloaddukte 102 und 103, der sich durch quantitative Bestimmung des auf dem Wege 102 (oder 103) \rightarrow 105 \rightarrow 106 gebildeten Cyclododecanons



erfassen läßt. Wie Tabelle 3 lehrt, nimmt der Anteil des Weges A für 102 mit steigendem E_T ⁶⁴⁾-Wert ab, während für 103 das Umgekehrte gilt. Die Sonderstellung des Chloroforms, wahrscheinlich auf Spuren Chlorwasserstoff beruhend, verschwindet auf Zusatz von wenig Triäthylamin, also unter den meist für präparative Zwecke benutzten Bedingungen (vgl. 93 bis 97, S. 249).

2.3. Eigenschaften und Reaktionen der Acylenamine

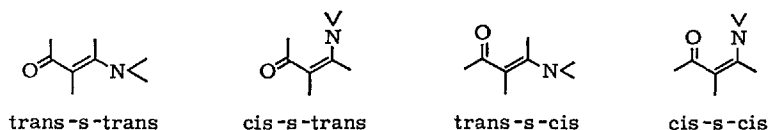
2.3.1. Physikalische Daten der Acylenamine

Spektroskopische Untersuchungen an zahlreichen sterisch weitgehend fixierten Acylenaminen zeigen, daß sich die möglichen planaren Anordnungen teilweise so deutlich in der Lage der IR- und UV-Banden

Tabelle 3. Ausbeute (%) an Cyclododecanon aus 102 bzw. 103 in Abhängigkeit vom Solvens

Solvens	102	103	E_T
Diäthyläther	35	9	34,6
Essigsäureäthylester	9	9	38,1
Pyridin	7	13	40,2
Acetonitril	7	26	46,0
Äthanol	4	23	51,9
Chloroform	23	—	39,1
Chloroform + Triäthylamin 30:1	7	—	(39)

wiederspiegeln ^{65a,66}), daß sie Rückschlüsse auf die bevorzugten Konfigurationen und Konformationen beweglicher Acylenamine erlauben.

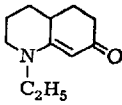
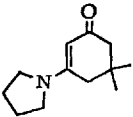
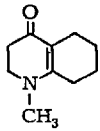
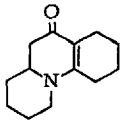
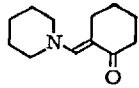
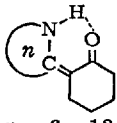


So findet sich in den *IR-Spektren* die CO-Bande für die trans-s-trans-Anordnung (109 ⁶⁵), 110 ^{65a,65b}) bei 1600–1630 cm^{-1} , für den cis-s-trans-Typ bei $\sim 1640 \text{ cm}^{-1}$ (111, 111a ^{66a}) und schließlich für die trans-s-cis Anordnung bei $\sim 1655 \text{ cm}^{-1}$ (112 ⁶⁶). Die längstwelligsten CO-Banden (1580–1600 cm^{-1} : 261 ¹²²) werden beim cis-s-cis Typ beobachtet. Allerdings sind Acylenamine diesen Typs mit eindeutiger Lage der Substituenten nur bekannt, wenn die sec. Aminogruppe zur CO-Gruppe eine intramolekulare H-Brücke ausbilden kann.

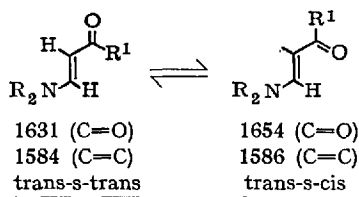
Die Lage der Bande, welche der konjugierten C=C-Bindung zugeschrieben wird, ist dagegen weit weniger charakteristisch (1545–1580 cm^{-1}).

Im *UV-Spektrum* setzt sich lediglich die trans-s-trans-Form deutlich von den übrigen ab, indem sie $\sim 30 \text{ nm}$ kürzerwellig bei deutlich höherem ϵ absorbiert (109, 110 ^{65,65a,65b}) (vgl. jedoch ^{65a}). Die Wirkung unterschiedlicher Aminreste (z. B. Pyrrolidin-Morpholin) muß außerdem berücksichtigt werden.

Für das offenkettige Enaminoketon 88a, bei dem auf Grund des NMR-Spektrums sicher ist, daß Aminogruppe und Acylrest transständig

	109 65)	110 65a, 65b)	111 66a)
			
Konfiguration	trans-s-trans	trans-s-trans	cis-s-trans
UV: λ_{\max} (nm), (log ϵ)	304 (4.97)	303 (4,54)	336 (4.16)
Lösungsmittel	Äthanol	Äthanol	Äthanol
IR: $\bar{\nu}$ (cm ⁻¹)	1600 (C=O) 1550 (C=C)	1607 (C=O) 1560 (C=C)	1640 (C=O) 1580 (C=C)
Lösungsmittel	CH ₂ Cl ₂	Nujol	—
	111 a 66a)	112 66)	261 122)
			
Konfiguration	cis-s-trans	trans-s-cis	$n = 6 - 12$ cis-s-cis
UV: λ_{\max} (nm), (log ϵ)	336 (4.15)	335 (4.23)	330–338 (4.28–431)
Lösungsmittel	Äthanol	Äthanol	Methanol
IR: $\bar{\nu}$ (cm ⁻¹)	1640 (C=O) 1544 (C=C)	1654 (C=O) 1545 (C=C)	1580–1600 (C=O) 1560–1570 (C=C)
Lösungsmittel	CCl ₄	C ₂ Cl ₄	CH ₂ Cl ₂

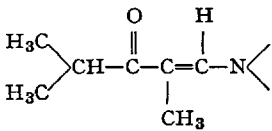
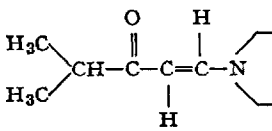
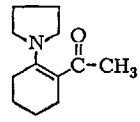
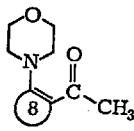
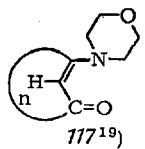
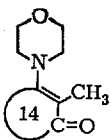
sind (Kopplungskonstante der Vinyl-Wasserstoffe: $J = 12,5$ Hz), findet man im IR-Spektrum der kristallinen Verbindung die Banden $\nu_{C=O} = 1631$ cm⁻¹ und $\nu_{C=C} = 1584$ cm⁻¹, welche charakteristisch für die trans-s-trans-Form sind.



88a R = R¹ = CH₃

88b R = CH₃, R¹ = C₂H₅

Acylierung von Enaminen

Acylenamin	$\lambda_{\max}(\text{nm}, \epsilon)$ Lös. Mittel	IR (ν_{\max})	Zuordnung
 <p>113</p>	287(18300) Hexan Morpholin 291(19800) Hexan Piperidin	1625, 1600–1580 (Film)	trans-s-trans
 <p>114</p>	295(28100) Hexan	1650, 1610, 1570 in KBr	trans-s-cis und trans-s-trans
 <p>115</p>	316	1610, 1492	cis-s-trans s. G. Opitz ⁶⁸⁾ als kristalline Substanz
 <p>116 ⁵⁹⁾</p>	362 (8250) Methanol 218 (6900)	1590, 1525 in KBr	cis-s-trans als kristalline Verbindung
 <p>117 ¹⁹⁾</p>	308 (17900) Dioxan 308 (20800) Dioxan ⁶⁸⁾ 307 (21500) Dioxan	1655 s, 1540 s in C ₂ Cl ₄	cis-s-cis
 <p>118 ^{19) 59)}</p>	317 (4860) 209 (4660) Schulter bei 225 nm	1685 s, 1630 s in KBr	Spektrum eines vinylo- gen Säure- amids mit verdrillten Substituenten

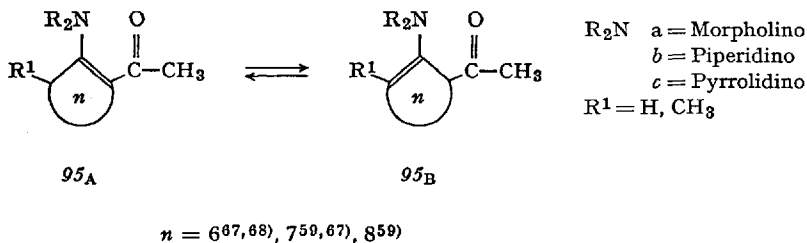
Welches Konformere bei Enaminoketonen des Typs *88* im kristallinen Zustand bevorzugt ist, die *s-cis* oder die *s-trans*-Form, ist abhängig von der Größe des Substituenten R^1 . Geht man von $R^1 = CH_3$ zu $R^1 = C_2H_5$ (*88b*) über, so tritt im IR-Spektrum des kristallinen Produktes die $\nu_{C=O}$ -Bande bei 1654 cm^{-1} und die $\nu_{C=C}$ -Bande bei 1586 cm^{-1} auf. Das bedeutet, daß im kristallinen Zustand *88b* in der *trans-s-cis*-Form vorliegt.

In den Lösungen von *88a* und *88b* liegen Konformen-Gemische vor, kenntlich am Auftreten aller drei Banden ($\nu_{C=O}$ *s-cis*, $\nu_{C=O}$ *s-trans* und $\nu_{C=C}$).

Aus diesen Ergebnissen lassen sich die Konformationen weiterer Acylenamine ableiten.

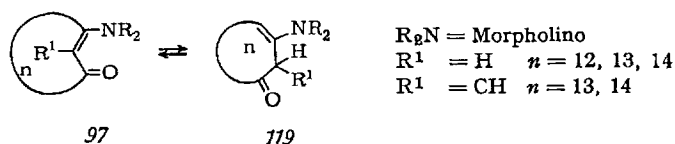
Die Zuordnung für die Verbindungen *115* ⁶⁸⁾, *116* ⁵⁹⁾ und *118* ^{19,61)} läßt sich nur für den kristallinen Zustand treffen, da in Lösung noch ein Ausweichen der Doppelbindung in die unkonjugierte Position möglich ist. *118* zeigt, wie ein 2-ständiger Substituent im Vergleich zu *117* eine Verdrillung der Substituenten herbeiführen kann, wenn die Enden des >C=C-C=O -Systems durch einen Ring festgehalten werden. Auch hier gestattet das IR-Spektrum eine Aussage zur Geometrie des Enaminoketons *118*.

Eine Sonderstellung nehmen die Acylenamine von Typ *95* (S. 249) ein. Die erzwungene *cis*-Anordnung der Substituenten verhindert infolge mangelhafter Planarität den vollen Energiegewinn der vinylogenen Carbonamidstruktur, so daß die Doppelbindung teilweise in die unkonjugierte Stellung ausweicht. So zeigt das Isomerenpaar $95a_A \rightleftharpoons 95a_B$ ($R^1 = H$) unabhängig von der Ringgröße die typische Bande der Struktur $95a_A$ (358 nm , $\epsilon \approx 8000$ [CH_3OH]) nur mit geringer Intensität, während eine recht intensive Enaminbande von $95a_B$ auftaucht (217 nm , $\epsilon \approx 7000$). Dem entspricht eine *normale* Carbonylschwingung bei 1705 cm^{-1} und eine Olefinbande bei ≈ 1641 bzw. 1645 cm^{-1} (z. B. $n = 6$ ⁶⁸⁾, $n = 7$ ^{59,67)}, $n = 8$ ⁵⁹⁾.



Aus dem Signal des Vinylprotons im NMR-Spektrum läßt sich auf etwa 90% $95a_B$ ($R^1=H$, $n=6$) im Tautomerengemisch schließen ⁶⁸.

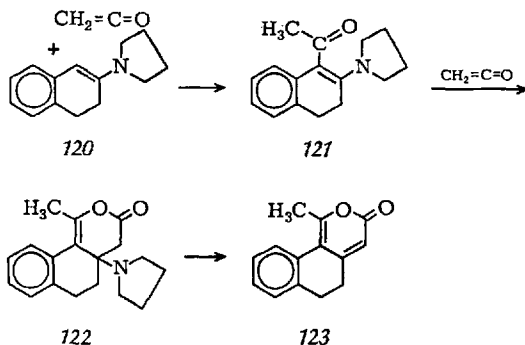
Die gleichen Indizien bestätigen die Sonderrolle des Pyrrolidino-
restes, der das Gleichgewicht zu 85–90% nach $95c_A$ ($n=6$, $R^1=H$)
treibt ⁶⁶. Aber auch der Übergang zum Fünfring ist wirkungsvoll: Selbst
mit der Morpholinogruppe liegt nunmehr nur das konjugierte Isomere
 $95a_A$ ($R^1=H$, $n=5$) vor ⁶⁷. Die makrocyclischen Acylenamine 97
($R^1=H$) bevorzugen ausschließlich die gezeigte konjugierte Form, da-
gegen erzwingt, für $n=13$, die Einführung einer Methylgruppe vorwie-
gend die unkonjugierte Form 119 ¹⁹.



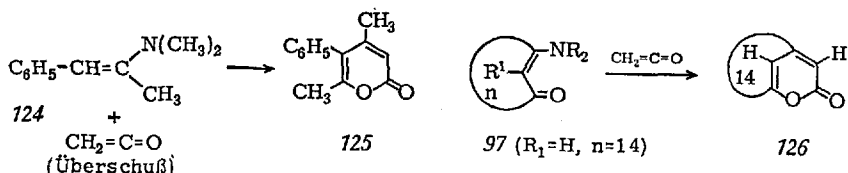
2.3.2. Acylierung der Acylenamine mit Ketenen

Sofern die Darstellung der Acylenamine durch Reaktion mit Ketenen erfolgt, muß mit weiterer Acylierung des Acylenamins gerechnet werden, eine Reaktion, die mit überschüssigen Ketenen in den Vordergrund tritt.

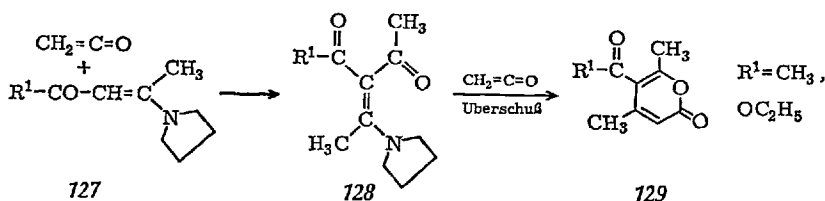
Nicht nur die eingangs erwähnten dipolaren Zwischenstufen reagieren mit Ketenen unter 1.4-Addition (vgl. 2.1.1); auch von Acylketonenaminen ist dieser Reaktionstyp bekannt. So scheidet die benzolische Lösung des Enamins 120 beim Einleiten von überschüssigem Keten das Addukt 122 ab, das beim Stehen in das α -Pyron 123 übergeht ^{58,69}. Als Zwischenstufe ist 121 anzunehmen, da in Substanz eingesetzte Acylenamine in



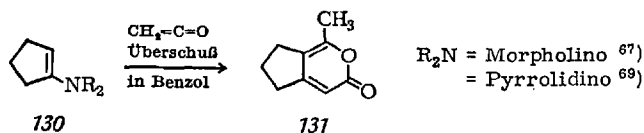
gleicher Weise reagieren können (s. u). Die Reaktion fügt sich in das allgemeine Schema der 1.4-Cycloaddition von Ketenen an α,β -ungesättigte Ketone ^{70,71}. Von zahlreichen Beispielen ^{56,57,62,69} seien die Übergänge $124 \rightarrow 125$ ⁶⁹, 97 ($R^1 = H, n = 14$) $\rightarrow 126$ ¹⁹ und $127 \rightarrow 129$ ⁶⁹ herausgegriffen.



Der letzte Fall ist ungewöhnlich ⁷², da zunächst eine C-Acylierung zu 128 angenommen werden muß, die nur für $R^1 = \text{OC}_2\text{H}_5$ zu erwarten ist. Acylenamine, die in das nichtkonjugierte Isomere ausweichen können,

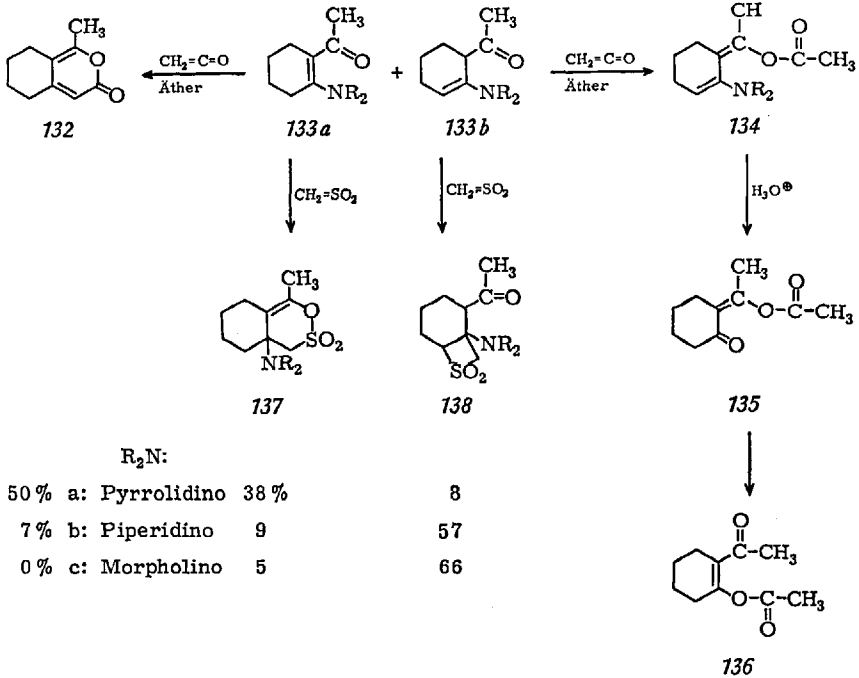


bilden zusätzliche Produkte. Zwar reagiert 130 unabhängig vom Aminrest zum α -Pyrone 131 . Im Falle der Acylenamine $133a, b$, hängt jedoch — entsprechend dem Gleichgewicht — das Ergebnis stark vom Aminrest



ab ⁶⁸). Der Pyrrolidinrest führt ausschließlich zum Pyrone 132 , während der Morpholinrest die Reaktion zum Enolester 134 dirigiert ^{67,68}, der sich besser als sein Verseifungsprodukt isolieren läßt. 135 lagert sich sofort zu 136 um, eine Umacylierung ⁷³, die nicht beim 5- und 7-Ring eintritt ⁶⁷).

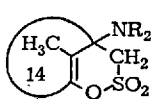
Acylierung von Enaminen



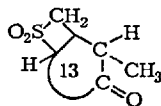
Diese Umlagerung ist zu berücksichtigen, wenn der Angriff an der Carbonylfunktion des Enolesters dem gezielten Ringschluß zu Pyrazolderivaten dienen soll ^{67,79}). Auch das Medium kann entscheidend eingreifen. Erzeugt man das Keten in Chloroform mit Triäthylamin, so wird auch 1-Morpholino-cyclopenten glatt in den Enolester verwandelt ⁷⁵).

Diese Reaktionsführung hat sich auch bei anderen Ringgrößen bewährt ^{30,73,75}).

Wie man sieht, eignet sich Keten nicht zum Abfangen isomerer Acylenamine aus ihrem Gemisch. Für diesen Zweck läßt sich sehr gut die Fähigkeit des aus Methansulfochlorid mit Triäthylamin erzeugten *Sulfens* ausnutzen, sowohl mit Enaminen ⁷⁶) als auch mit Acylenaminen ^{68, 76}) stabile Cycloaddukte zu bilden, wie die Isolierung von **137** und **138** zeigt. Entsprechend den spektroskopischen Befunden läßt sich aus **118** ($n = 14$) mit Sulfen das δ -Sulton **139** isolieren, während das niedere Homologe **97** ($R^1 = \text{CH}_3$, $n = 13$, $\text{NR}_2 = \text{Morpholin}$) das cyclische Sulfon **140** liefert ¹⁹).



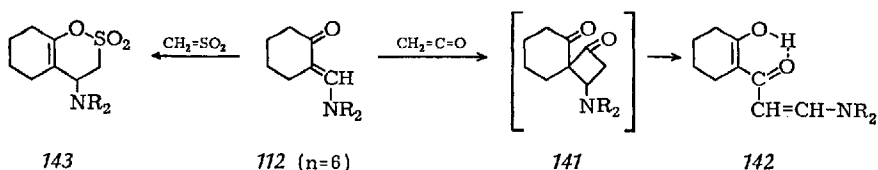
139



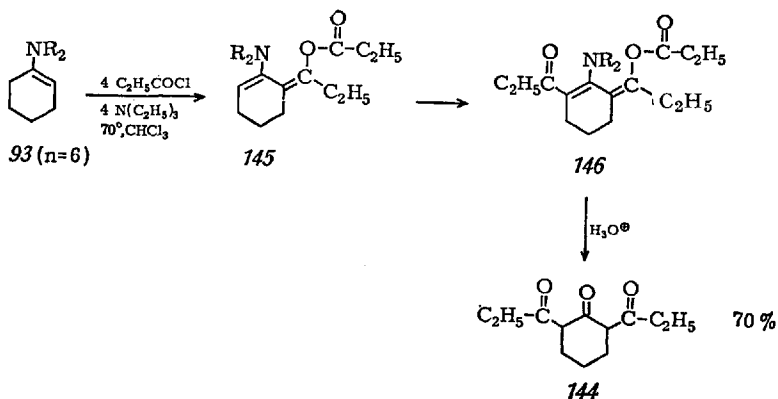
140

$R^2N = \text{Morpholino}$

Unerwartet verhält sich das cis-fixierte Acyl-aldo-enamin **112** ($n=6$) gegenüber Keten. An Stelle der 1.4-Cycloaddition tritt offenbar eine 1.2-Addition zu **141** ein, da **142** als Endprodukt gefaßt wird ⁷⁷⁾. Sulfen



addiert sich dagegen in erwarteter Weise zu **143** ⁷⁷⁾. Daß überschüssiges Keten unter forcierten Bedingungen Enamine grundsätzlich zweifach acylieren kann, zeigt die Bildung von 2.6-Dipropionyl-cyclohexanon (**144**) aus **93** ($n=6$) und überschüssigem, in situ erzeugtem Methylketen. Es ist anzunehmen, daß der zunächst gebildete Enolester **145** zu **146** weiteracyliert wird ⁷⁸⁾.

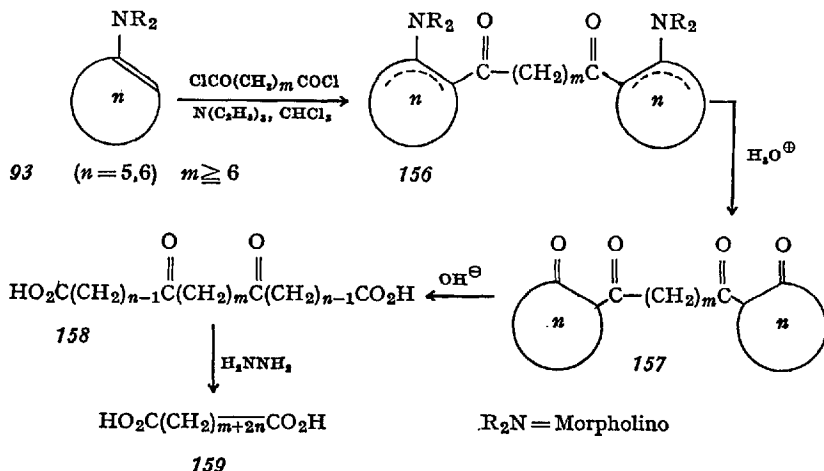


2.3.3. Präparative Bedeutung der Acylenamine

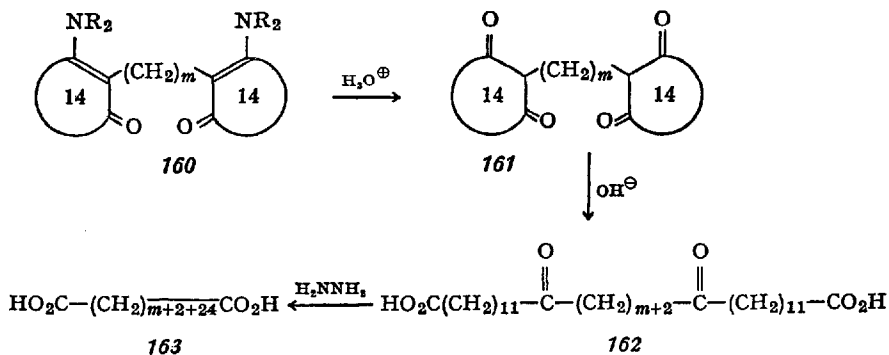
Die beschriebene hydrolytische Abspaltung der Aminogruppe aus den Acylaminoenolestern im sauren Medium läßt sich ebenso glatt auf Acylenamine anwenden. Diese Reaktion ist, wie der Übergang **147***) \rightarrow **148** zeigt, eine wichtige Methode zur Gewinnung von 2-Acylnonon **30, 73, 73a, 75, 79, 80, 81**.

*) Die gebräuchliche, wenn auch inkonsequente Schreibweise soll das Gemisch aus konjugiertem und unkonjugiertem Acylenamin symbolisieren.

Alle diese Reaktionen sind grundsätzlich auch auf *Dicarbonsäuredichloride* übertragbar, von denen hier nur diejenigen zu besprechen sind, die über intermediäre Ketene reagieren. Bei einer Kettenlänge von mindestens 8 C-Atomen (geprüft bis C₃₂⁸⁷⁾ treten keine Besonderheiten auf. Aus 93 (*n* = 5,6) entstehen über 156 die gut isolierbaren Tetraketone 157 ^{73,75)}, die zu 158 und 159 weiterverarbeitet werden.

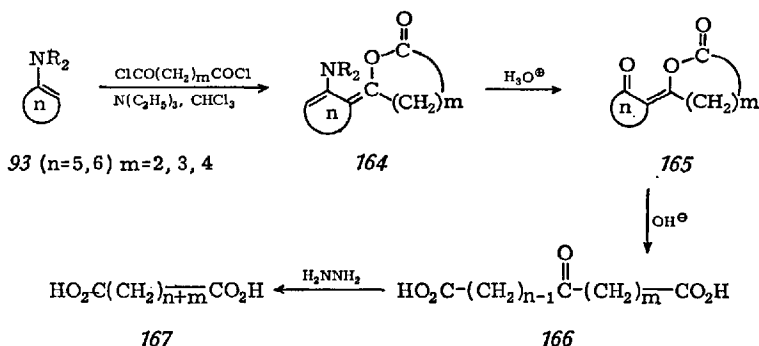


Damit läßt sich die Kette von Dicarbonsäuren mit 40% um 10 und mit 35–45% um 12 C-Atome verlängern. Mit den makrocyclischen Enaminen – geprüft für 93 (*n* = 12) – tritt wieder Ringerweiterung zu 160 ein. Die isolierten Tetraketone 161 werden zu 162 gespalten und schließlich zu 163 reduziert ⁸⁷⁾.



Die genannten Dicarbonsäuren sind auf diesem Wege mit 50% Ausbeute um 24 C-Atome zu verlängern ⁸⁷⁾.

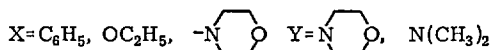
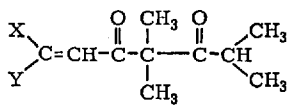
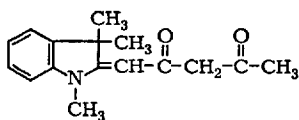
Bei Verringerung der Kettenlänge der Dicarbonsäuren auf 6 oder weniger C-Atome ändert sich der Reaktionsverlauf. Das zweite aktive Ende greift das gebildete Acylenamin unter Enolesterbildung (164) an ^{73,75)}.



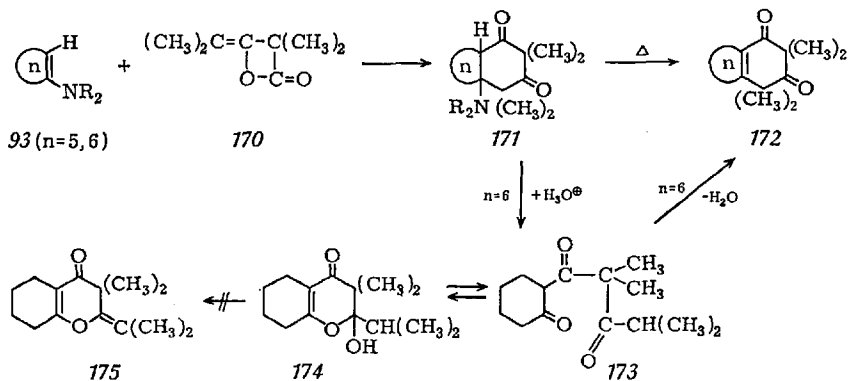
Die isolierbaren Enolesterketone 165 werden über 166 in 167 umgewandelt. Damit sind Dicarbonsäuren ($m=3$ und 4) mit $\sim 40\%$ um fünf ⁷⁵⁾ und mit $\sim 34\%$ um sechs C-Atome ⁷³⁾ zu verlängern. An Stelle des sehr empfindlichen Succindichlorids setzt man besser Bernsteinsäureesterchlorid ein (Gesamtausbeute 42% ⁷⁵⁾).

2.4. Acylierung mit Diketenen

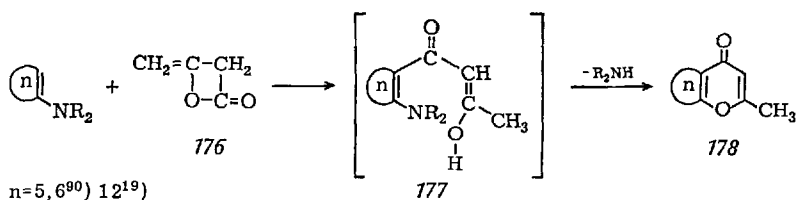
Mit Diketen läßt sich der Acetoacetyl-Rest in zahlreiche Nucleophile einführen ⁸⁸⁾. Auch von der Fischer-Base ist diese Reaktion schon lange bekannt ¹⁾, die zu 168 führt.



Das β -Lactondimere des Dimethylketens 170 greift enamintartige Verbindungen mit endständiger Doppelbindung in analoger Weise an, wobei z. B. 169 entsteht ⁸⁹⁾. Ketonenamine, wie 93 ($n = 5, 6$) bilden jedoch mit 170 Cycloaddukte 171 ⁸⁹⁾, die erst beim Erhitzen Amin zu 172 ab-

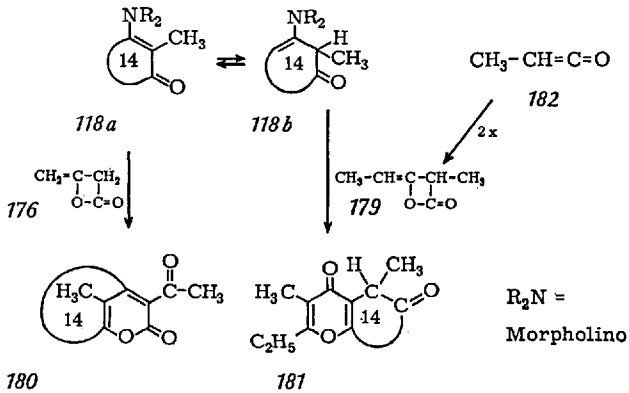


spalten. Säuren öffnen den Ring von 171 zu 173, das überwiegend als Halbketal 174 vorliegt. Unter Wasserabspaltung geht es in 172 über und nicht in das Isomere 175 ⁸⁹⁾. Mit Enaminen, die kein β -H-Atom besitzen, reagiert 170 nicht, in deutlichem Unterschied zum monomeren Dimethylketen (vgl. 2.1.1.). Beim Einsatz von Diketen 176 selbst ändert sich das Reaktionsbild nochmals. Die hypothetische Zwischenstufe 177 — ein verkapptes 1.3.5.-Triketon — spaltet sofort Amin ab und schließt den



Ring zum γ -Pyronderivat 178 ^{90,19)}. Die Reaktion ist ein Gegenstück zur Bildung von α -Pyronen aus Acylenaminen und Ketenen (vgl. 2.3.2). Die isomeren Strukturen sind anhand ihrer UV- und IR-Spektren eindeutig zu unterscheiden ^{91,92)}. Eine Prüfung ist in jedem Fall erforderlich, da Ketene, besonders wenn sie aus Carbonsäurechloriden und Triäthylamin in situ erzeugt werden, unter Wirkung der Base u. U. schneller dimerisieren ⁹³⁾ als acylieren und Diketene auch Acylenamine angreifen

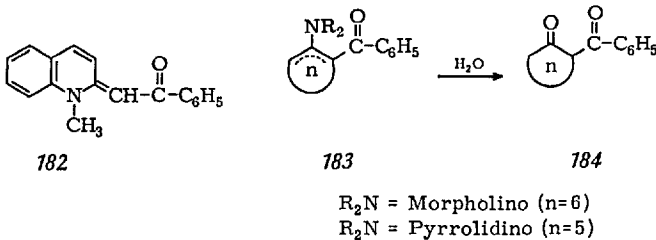
können. Wie kompliziert die Verhältnisse liegen können, zeigt die Umsetzung des Isomerengemisches *118a* und *118b* mit Diketen (*176*) und Methyldiketen (*179*): Verbindung *176* greift das konjugierte Isomere *118a* unter O-Acylierung an und bildet das β -Acetyl- α -pyronderivat *180*, während das reaktionsträgere *179* mit dem Enaminteil von *118b* zum γ -Pyron *181* reagiert. Genauso verhält sich in situ erzeugtes Methylketen *182*. Es dimerisiert zu *179* bevor weitere Reaktion eintritt ¹⁹⁾.



2.5. Acylierung mit Carbonsäurechloriden

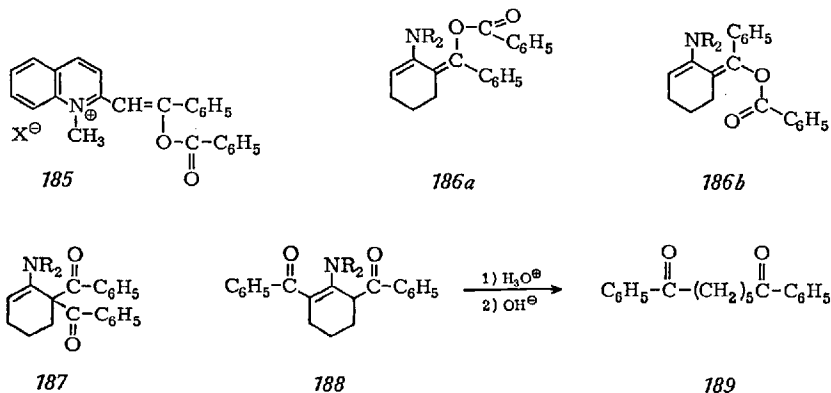
Wenngleich bei vielen der beschriebenen Keten-Reaktionen Carbonsäurechloride verwendet wurden, verbleiben noch Acylierungen mit Carbonsäurechloriden, die als solche reagieren, gleichgültig ob ihre Struktur oder die Bedingungen keine Ketenbildung erlauben ^{73a)}.

Aus *Benzoylchlorid* und den entsprechenden Enaminen sind (evtl. in Gegenwart einer Hilfsbase) die Acylenamine *182* ⁹⁴⁾ und *183* ^{95,96)} zugänglich. Hydrolyse von *183* stellt — bei geeigneter Reaktionsführung ^{67, 95,96)} — die beste Methode zur Gewinnung der 2-Benzoyl-cycloanone *184* dar ²⁾.



$n = 5,6$ $\text{NR}_2 = \text{Morpholino} (n=6)$, $\text{Pyrrolidino} (n=5)$.

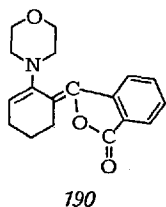
Überschüssiges Benzoylchlorid verwandelt *182* und *183* in die Enolester *185* ⁹⁴⁾ und *186a, b* ^{67,95)}. Die Enolester-Struktur von *186a* sowie des Stereoisomeren *186b* ⁹⁷⁾ folgt eindeutig aus der Hydrolyse zu den entsprechenden Ketonenolestern ^{67,95,97)}, sowie aus dem Auftreten verschiedener Produkte bei succesiver Acylierung des Enamins mit Benzoylchlorid und p-Nitrobenzoylchlorid in vertauschter Reihenfolge ⁹⁸⁾.



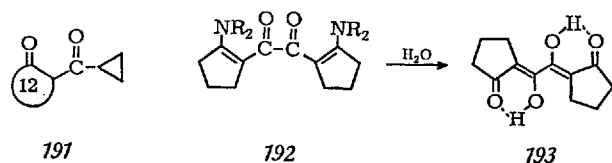
R_2N = Morpholino

Damit scheiden die Strukturen *187* ⁹⁹⁾ und *188* aus. Das Isomere *188* ist aus den Ansätzen als Nebenprodukt zu isolieren (Bildung wahrscheinlich über *186a* oder *186b* (vgl. S. 260). Seine Struktur folgt aus der Überführung in 1,5-Dibenzoylpentan (*189*) ⁹⁵⁾.

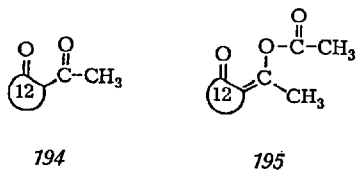
Acylierung mit *Phthaloyl-dichlorid* führt sofort zu Enolestern, die im Falle von *190* ^{95,97)} isoliert wurden.



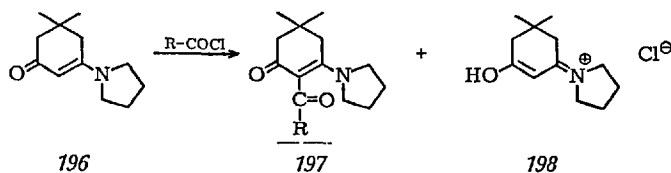
Auch *Cyclopropylcarbonsäurechlorid*, das kein Keten bildet ¹⁰⁰⁾, acyliert glatt z. B. 1-Morpholino-cyclododecen-1, sodaß nach der Hydrolyse *191* zu gewinnen ist. Selbst Oxalylbromid eignet sich zur doppelten Acylierung, wie *192* zeigt ¹⁰¹⁾. Durch Hydrolyse entsteht das völlig enolisierte Tetraketon *193*.



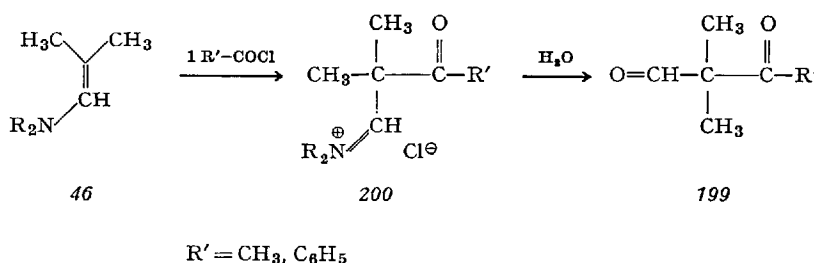
Auch *Acetylchlorid* kann als solches angreifen. Benutzt man bei der Acylierung von 1-Morpholino-cyclododecen-1 überschüssiges Enamin als Hilfsbase und nicht Triäthylamin, so unterbleibt die für die Ketenreaktion typische Ringerweiterung und es treten — nach hydrolytischer Aufarbeitung — die „normalen“ Produkte *194* und *195* auf ¹⁹⁾.



C-Acylierung eines Acylenamins mit Carbonsäurechloriden wurde bisher nur bei der *trans*-fixierten Verbindung *196* beobachtet, die mit Keten nicht reagiert, während verschiedene Säurechloride *197* erzeugen ¹⁰²⁾, wobei überschüssiges *196* den entstehenden Chlorwasserstoff unter O-Protonierung zu *198* abfängt ¹⁰³⁾.



Da aus der Reaktion von 1-Morpholino(!)-isobuten *46* ($\text{NR}_2 = \text{Morpholino}$) sowohl mit Acetylchlorid, als auch mit Benzoylchlorid ohne Hilfsbase ein 2.2-Dimethyl-ketoaldehyd (*199*) entsteht, muß auch hier auf direkte Acylierung ohne Ketenzwischenstufe geschlossen werden. Das Addukt *200* ist für $\text{R}' = \text{C}_6\text{H}_5$ isolierbar ¹⁰⁴⁾.



2.6. Acylierung mit α,β -ungesättigten Carbonsäurechloriden

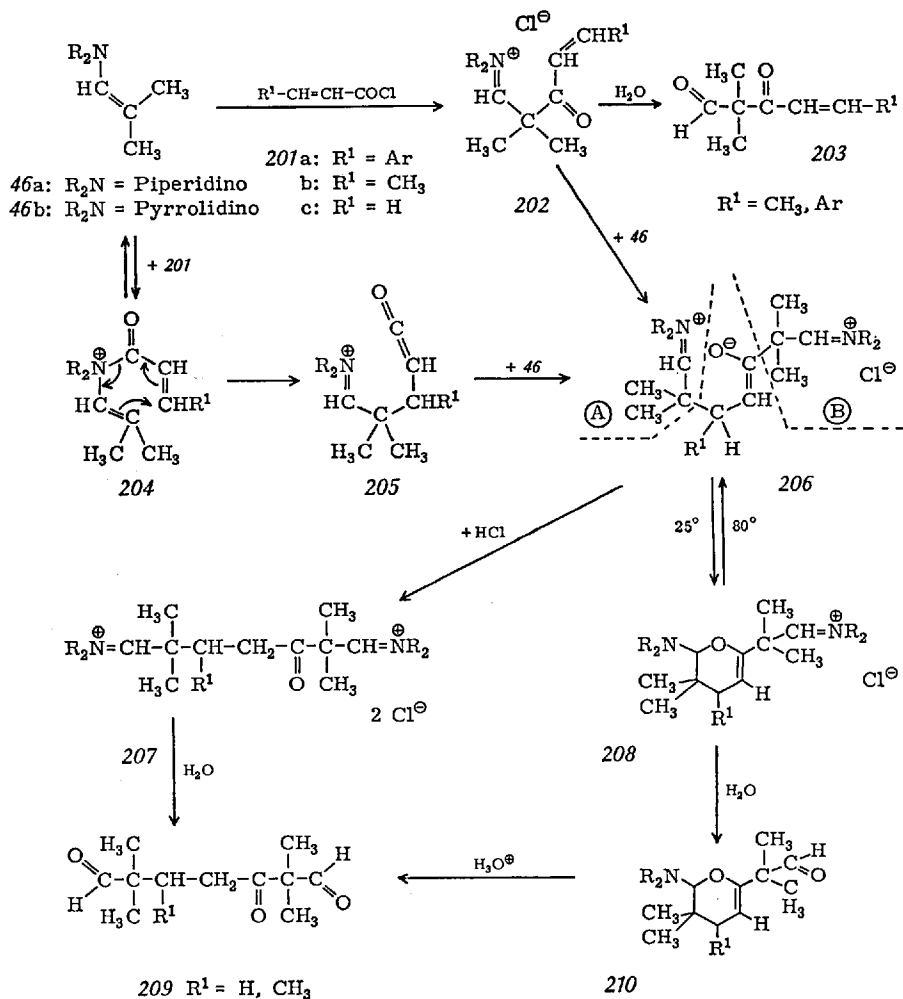
Wie die folgenden Beispiele zeigen, kann diese Reaktion ungewöhnlich komplex verlaufen, da neben der normalen Acylierungsreaktion auch Michael-Addition des Enamins an die Doppelbindung erfolgen kann. Diese Alkylierungsreaktion ist z. B. vom Vinylmethylketon oder Acrylnitril wohlbekannt¹⁰⁵⁾. Sowohl die Natur des Enamins und des Säurechlorids als auch die Reaktionsbedingungen beeinflussen das Reaktionsbild entscheidend^{73a)}.

2.6.1. Acylierung von Aldehyd-Enaminen¹⁰⁶⁾

Setzt man das Enamin *46a* mit Crotonsäurechlorid (*201b*) oder substituierten Zimtsäurechloriden (*201a*) um, so isoliert man nach Hydrolyse die ungesättigten Ketoaldehyde *203*, also die normalen Acylierungsprodukte. Mit Acrylsäurechlorid (*201c*) hingegen wird statt *203* ($\text{R}^1 = \text{H}$) der Ketodialdehyd *209* als Hydrolyseprodukt eines 2:1-Adduktes gefaßt. Mit Crotonsäurechlorid läßt sich diese Addition nur erzwingen, wenn das stärker nucleophile Pyrrolidin-Enamin *46b* eingesetzt wird. Hier machen die gefaßten Zwischenstufen *207* und *208* das Reaktionsschema I wahrscheinlich.

Nach diesem vermag das Säurechlorid *201b* das Enamin *46b* nicht nur zu *202* „normal“ zu acylieren, sondern auch reversibel das N-Acylierungsprodukt *204* zu bilden. Dieses kann — wahrscheinlich in einer elektrocyclischen Bindungsverschiebung — sich zu *205* umlagern, das sofort neues Enamin *46b* zu *206* aufnimmt (Teil B in *206*). Außerdem ist damit zu rechnen, daß auch *202* — als α,β -ungesättigtes Keton — noch ein Molekül *46b* zu *206* addiert (Teil A in *206*). Das hypothetische *206* stabilisiert sich bei Raumtemperatur zu *208*, dessen Struktur zusammen mit seinem Hydrolyseprodukt *210* gesichert ist. Bei höherer Temperatur vermag *208* bzw. *206* aus dem Medium ein Proton aufzunehmen und damit das isolierbare Bisimmoniumsalz *207* zu bilden, dessen Hydrolyse schließlich zum Keto-dialdehyd *209* führt.

Acylierung von Enaminen

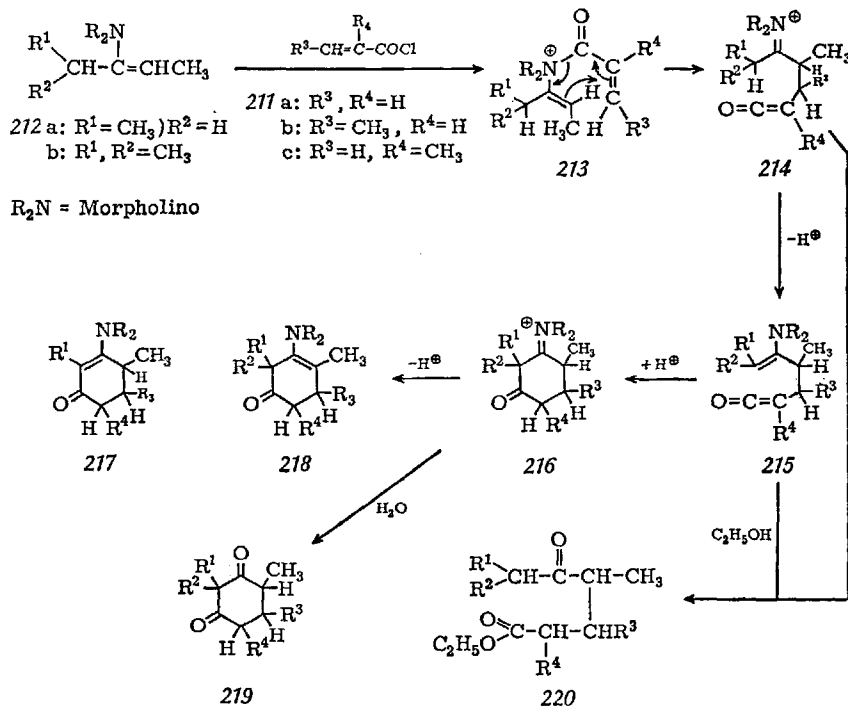


Reaktionsschema I

2.6.2. Acylierung von Ketonenaminen

Keton-Enamine, deren Doppelbindung in zwei isomeren Stellungen auftreten können, bieten eine neue Möglichkeit: Acylierung und Alkylierung durch das α,β -ungesättigte Carbonsäurechlorid können im gleichen Molekül stattfinden, wobei ein *neuer Sechsring* entsteht (Schema II). So rea-

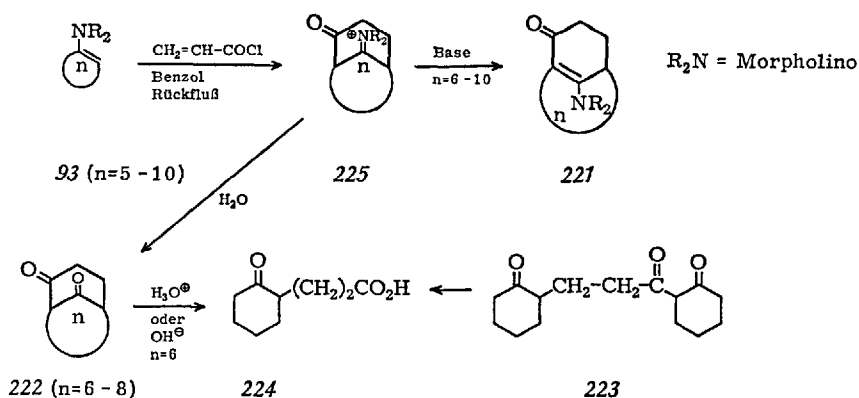
gieren die Säurechloride 211 *a, b, c* mit dem Enamin 212 *a* in Benzol, vermutlich über 213, 214 und 215 zu 216. Dieses ist zum Acylenamin 217 ($R^2 = H$) oder 218 deprotonierbar, oder zu den definiert substituierten Cyclohexandionen-1.3 219 hydrolysierbar. Auf jeden Fall findet die Alkylierung vor der Acylierung statt, da Äthanol aus einer salzartigen Zwischenstufe (214) den δ -Ketoester 220 erzeugt ¹⁰⁷⁾.



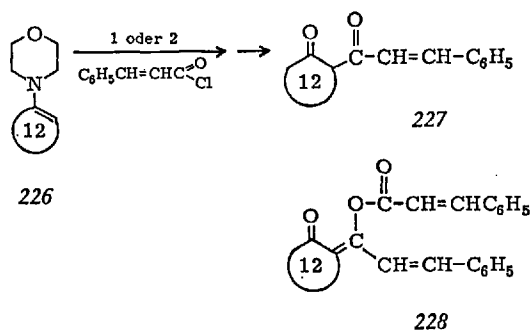
Schema II

Die Enamine cyclischer Ketone schließen sich in ihrem Verhalten an, wie die Reaktion von 93 mit Acrylsäurechlorid zeigt. Man isoliert das Enaminketon 221, dessen Hydrolyseempfindlichkeit stark von der Ringgröße abhängt (Bredt'sche Regel!), oder das Diketon 222. Im Falle von 93 $n=6$ wurde bei der Hydrolyse auch das 2:1 Addukt 223 gefunden.

Acylierung von Enaminen

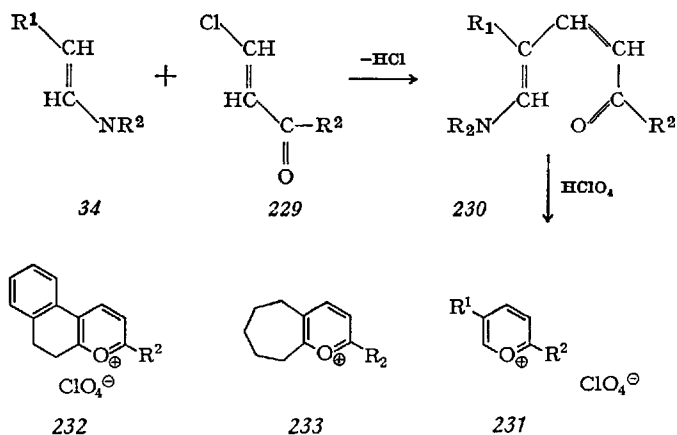


224 tritt nur als Sekundärprodukt durch Spaltung von 223 oder 222 auf. Damit ist nochmals die Acylierung als Primärschritt sichergestellt. Selbst mit Zimtsäurechlorid läßt sich in siedendem Benzol eine Reaktion zu phenyl-substituierten Produkten der Formel 222 und 223 erzwingen ¹⁰⁹⁾. Dagegen setzt sich das Enamin 226 in Äther zu den „normalen“ Acylierungsprodukten 227 oder 228 um ¹⁹⁾.



2.7. Acylierung mit vinylogenen Carbonsäurechloriden

Durch formalen Austausch von Chlor und β -Substituent entstehen aus α,β -ungesättigten Carbonsäurechloriden die Chlorvinylketone 229, die sich ähnlich wie Säurechloride verhalten. Ihre Reaktionen seien daher hier besprochen, obwohl es sich um Alkylierungen handelt. Die Enamine 34 reagieren relativ glatt zu den erwarteten Produkten 230, welche infolge ihres Merocyanin-Charakters gelbe bis rote Farbe zeigen ^{110a)}.

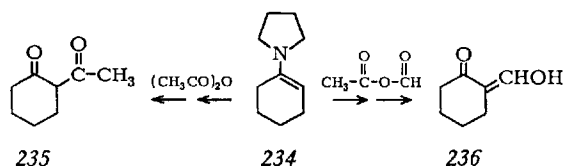


$\text{R}^1 = \text{CH}_3, \text{C}_2\text{H}_5, \text{C}_6\text{H}_5$
 $\text{R}^2 = \text{Aryl (Alkyl)}$
 $\text{R}_2\text{N} = \text{Pyrrolidino, Piperidino, Morpholino.}$

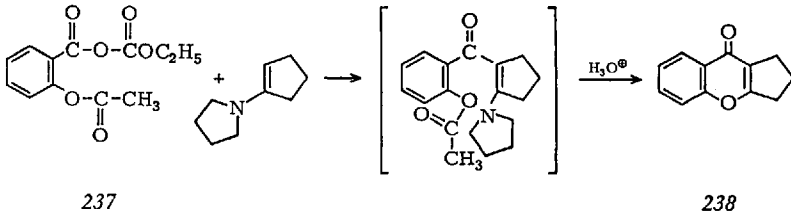
Der Wert dieser Reaktion besteht darin, daß 230 mit Perchlorsäure — häufig quantitativ — in die sonst schwer zugänglichen 2.5-disubstituierten Pyryliumsalze 237 übergeht ^{110b}). Mit geeigneten Ausgangsenaminen sind auf diese Weise z. B. auch 232 und 233 zugänglich.

2.8. Acylierung mit Carbonsäureanhydriden

Dieser Methode kommt wenig Bedeutung zu. Zwar läßt sich 1-Pyrrolidinocyclohexan-1 (234) mit Acetanhydrid mit 42% Ausbeute in 2-Acetylcyclohexanon (235) verwandeln ³⁸), doch wirkt Acetylchlorid effektiver ¹¹¹). Wichtiger ist die Bildung von 236 mit Ameisensäure-essigsäureanhydrid ³⁸), doch ist die Vilsmeier-Variante vorzuziehen. Dagegen

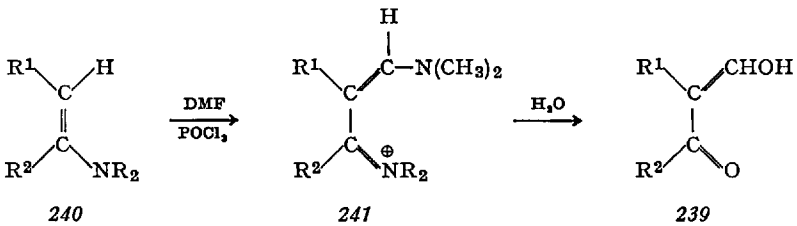


erlaubt das gemischte Anhydrid 237 aus Acetyl-salicylsäure die Darstellung von Chromonen (238) unter Umgehung der für die Synthese von γ -Pyronen hier nicht möglichen Diketene ¹¹²) (vgl. S. 264).

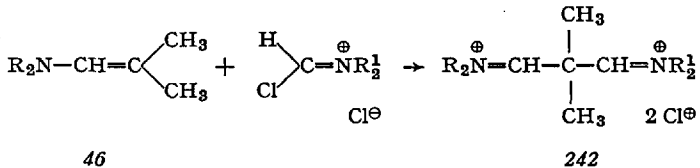


2.9. Acylierung mit Vilsmeier-Reagentien

An Stelle der Claisen-Kondensation von Ketonen mit Ameisensäureestern oder der direkten Vilsmeier-Formylierung lohnt sich zur Gewinnung von α -Hydroxymethylen-ketonen **239** der Umweg über die Enamine **240**. Die

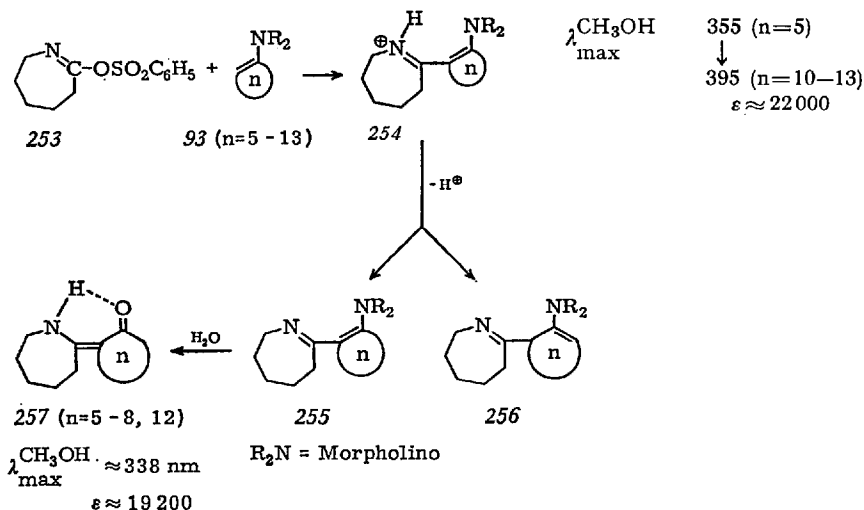


cyaninartige Zwischenstufe **241** ^{112a)} wird meist nicht isoliert ^{113,114)}. In analoger Weise sind aus **46** die Bis-Immonium-Salze **242** in hohen Ausbeuten darstellbar ¹¹⁵⁾.



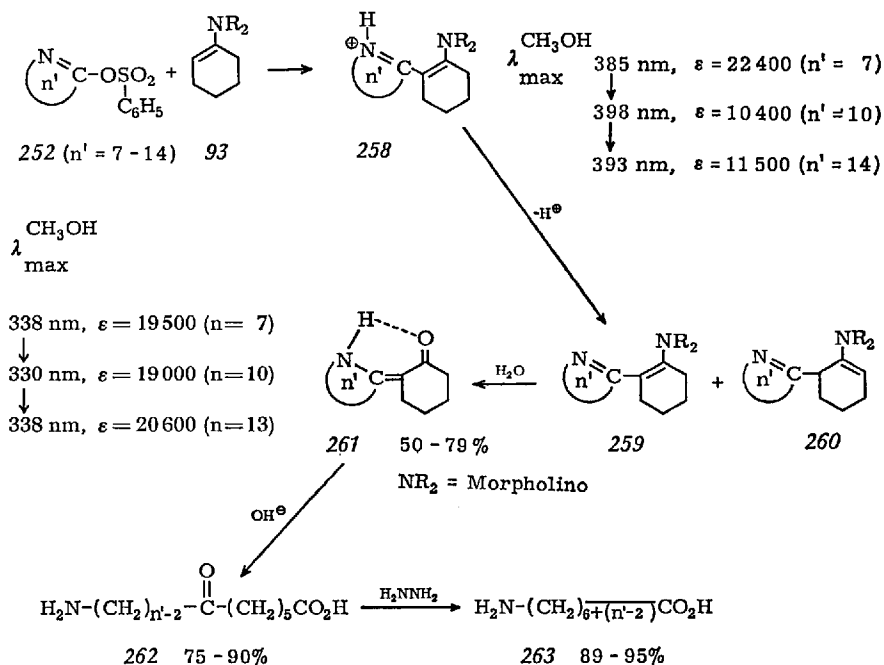
Auch der Befund, daß die Dialkylamide der höheren Carbonsäuren **243** bei der Überführung in Vilsmeier-Reagentien **244** häufig „Dimerisation“ zu **245** bzw. **246** erleiden, ist als Acylierung des Enamins **247** durch **244** zu verstehen ¹¹⁶⁾.

Acylierung von Enaminen



Milde Hydrolyse überführt 255 in 257, das auf Grund von spektroskopischen Daten als H-verbrücktes Enaminoketon zu formulieren ist.

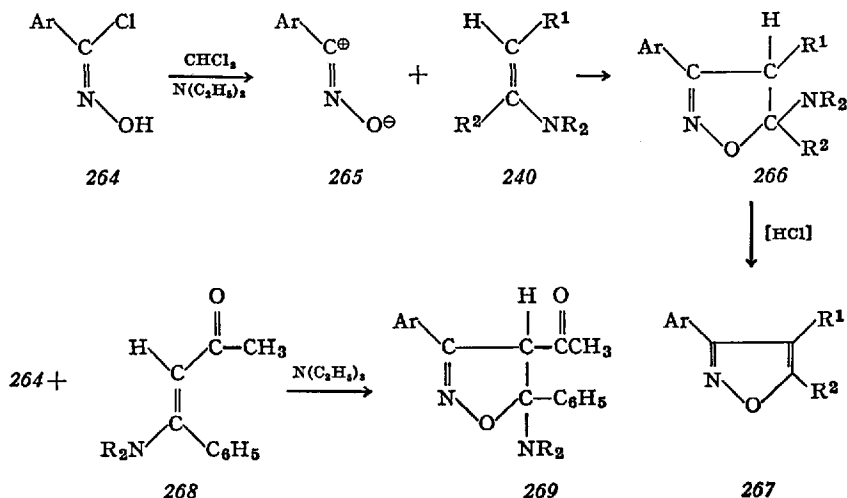
Eine ganz analoge Reaktionsfolge läßt sich durch Variation der Ringgröße des Lactimesters 252 verwirklichen ¹²¹).



Kondensation mit 93 ($n=6$) führt zu 258 bei dem — umgekehrt wie bei 254 (S. 275) — die Lage von λ_{\max} nur wenig, die Intensität der Bande aber stark von n abhängt. Das beim Deprotonieren erhaltene Gemisch von 259 und 260 besteht für $n'=7$ fast ganz aus 260¹²¹⁾. Die hydrolytisch erzeugten Enamino-ketone 261 ändern ihre spektralen Eigenschaften — genau wie 257 (S. 275) — nur unbedeutend mit der Ringgröße. Die alkalische Hydrolyse von 261 erfolgt praktisch quantitativ am Cyclohexanonring zu den ω -Amino-ketosäuren 262, die sich glatt zu den ω -Aminosäuren 263 reduzieren lassen. Damit liegt ein bequemes Verfahren vor, um letztlich aus Cyclanononen mit $n=6-13$ ($\rightarrow 252$) und Cyclohexanon ($\rightarrow 93$, $n=6$) langkettige ω -Aminosäuren aufzubauen¹²²⁾.

2.11. Acylierung mit Hydroxamsäurechloriden¹²³⁾

Bei dieser Reaktion, die in Gegenwart von Triäthylamin durchgeführt wird, handelt es sich nicht um eine direkte Acylierung. Vielmehr geht das Hydroxamsäurechlorid 264 zunächst in ein Nitriloxid 265 über, das sich als 1.3-Dipol an das Enamin 240 addiert. Das in vielen Fällen



$\text{R}^1 = \text{H}, \text{Alkyl}$

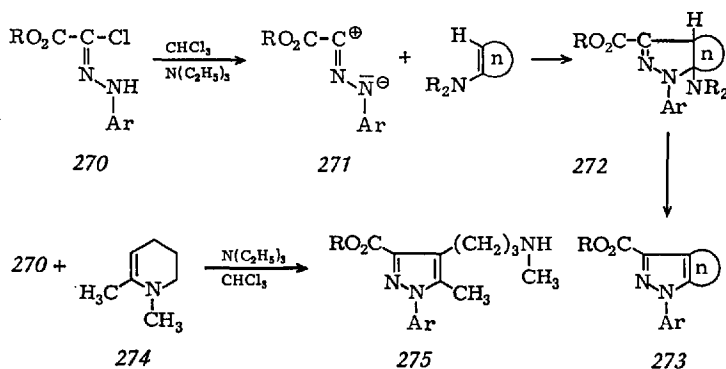
$\text{R}^2 = \text{H}, \text{Alkyl}$
Aryl

$\text{NR}_2 = \text{Piperidino}$
Morpholino
Methylanilino

isolierbare Addukt 266 ist glatt in das Isoxazol 267 überführbar. In Substanz eingesetzte Nitriloxide verhalten sich ebenso. Diese Cycloaddition macht verständlich, daß auch Acylenamine, wie z. B. 268, mit Hydroxamsäurechloriden zu Addukten (269) reagieren, die sich ebenfalls zu Isoxazolen stabilisieren.

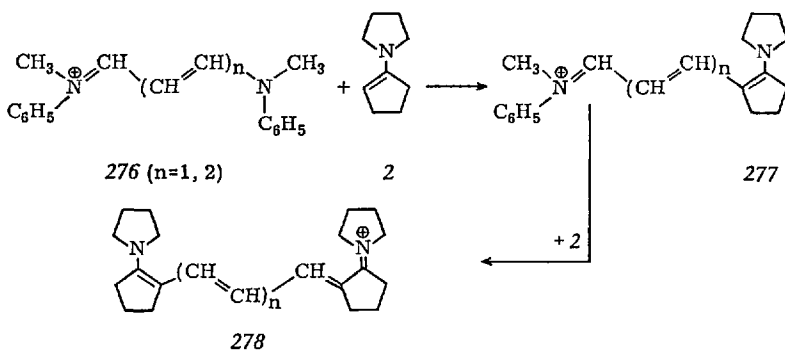
2.12. Acylierung mit Hydrazidchloriden ¹²⁴⁾

Auch diese Reaktion ist als 1.3-dipolare Addition der aus z. B. 270 erzeugten Nitrilimine 271 an Enamine (z. B. 93) zu verstehen. Die Addukte 272 gehen für $n=6$ unmittelbar in 273 über, während sie mit $n=5$ zu fassen sind. Setzt man heterocyclische Enamine, wie z. B. 274 ein, so entstehen Pyrazole mit einer ω -Aminoalkylgruppe in 4-Stellung (275). Weitere 1.3-dipolare Additionen an Enamine vgl. ¹²⁵⁾.



2.13. Acylierung mit vinylogen Amidinium-Salzen

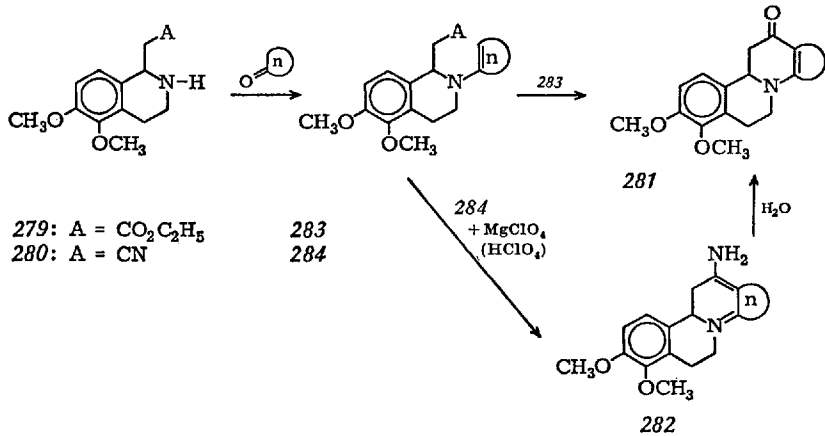
Das vinyloge Amidiniumion 276 vermag das Enamin 2 zu 277 und 278 zu acylieren. 277 und 278 sind mono- bzw. di-cis-fixierte Cyanine ¹²⁶⁾.



2.14. Gekoppelte Enaminbildung und Acylierung

Mit dieser originellen Methode ist es möglich, sogar die Carbonester- und Nitrilfunktion zur Acylierung des Enamins einzusetzen.

Aus 279 bzw. 280 und Cycloanonen entstehen die Chinolizinderivate 281 und 282^{127,127a}.

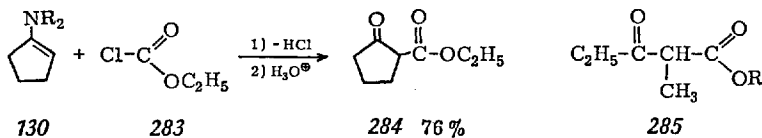


3. Acylierung mit Kohlensäurederivaten

Die Reaktionen von Kohlensäurederivaten mit Enaminen weisen einige Besonderheiten auf. Aber auch hier beobachtet man „normale“ Acylierung, bei der Carbonsäurederivate entstehen, sowie Cycloadditionen.

3.1. Acylierung mit Kohlensäureesterchloriden

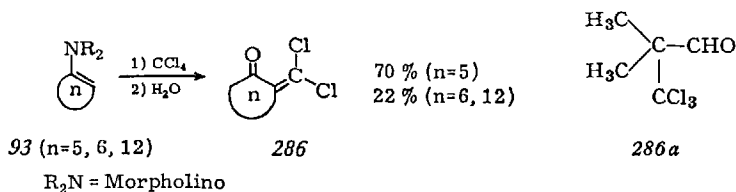
Diese Acylierung gehört mit zu den am längsten bekannten Enaminreaktionen³⁸). Sie bietet einen bequemen Weg zu β -Ketoestern, wie das Beispiel 130 \rightarrow 284 zeigt. Der Ketoester 285 ist auf analoge Weise zugänglich³⁸).



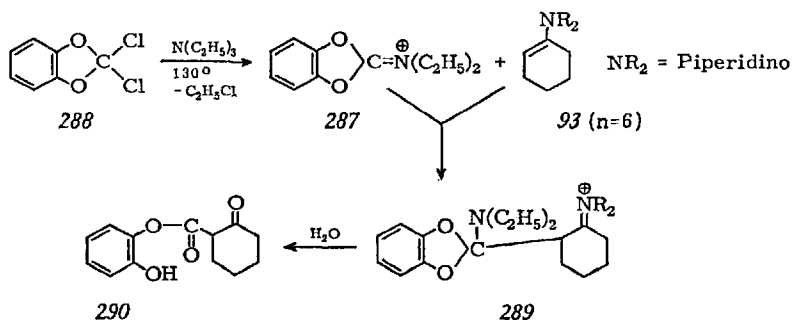
Triäthylamin ist hier als Hilfsbase unbrauchbar ³⁸⁾, da das mit dem Esterchlorid 283 rasch entstehende Quartärsalz zu reaktionsträge ist ¹²⁸⁾. Man muß also entweder ein zweites Mol Enamin ³⁸⁾ oder das sperrige Äthyl-diisopropylamin als Hilfsbase benutzen ¹²⁹⁾.

3.2. Acylierung mit Orthokohlensäurederivaten

Erstaunlicherweise wirkt selbst *Tetrachlorkohlenstoff* bei längerer Reaktionszeit als Acylierungsmittel ¹³⁰⁾. Nach hydrolytischer Aufarbeitung fallen die Dichlor-methylketone 286 an während aus Dimethylaminoisobuten der β -Trichlormethylaldehyd 286a (70%) entsteht ^{130a)}.



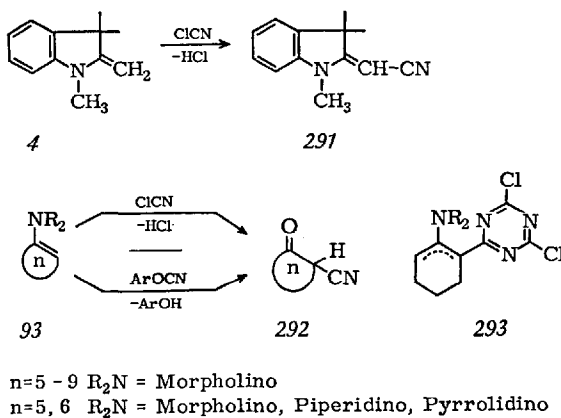
Mit Hilfe des Immoniumsalzes 287, dargestellt aus dem Ortho-kohlensäure-dichlorid 288 und Triäthylamin, sind ebenfalls β -Ketosäurederivate zugänglich, wie die Reaktion $287 + 93 \text{ (n=6)} \rightarrow 290$ zeigt ¹³¹⁾.



3.3. Acylierung mit Cyansäurederivaten

Für die Reaktion des Chlorids der Cyansäure mit einem Enamin ^{73a)} kann wieder die Fischer-Base 4 als Musterfall dienen ¹³²⁾. Ketonenamine 93 führen zu 2-Cyan-cyclanonon 292 ¹³³⁾.

Nachdem Arylcyanate bequem zugänglich geworden sind, dürften sich diese als Acylierungsmittel empfehlen ^{134,135}). Im Brom- und Jodcyan ist die Polarität vertauscht: Das Halogen tritt in die 2-Stellung des Enamins ein ¹³⁶). Cyanurchlorid acyliert erwartungsgemäß zu 293 ¹³⁷).



3.4. Acylierung mit Isocyanaten und Isothiocyanaten ^{45a)}

Diese Reaktion ähnelt in vieler Hinsicht derjenigen mit Ketenen, doch wird auch auf prinzipielle Unterschiede hinzuweisen sein. Die Elektrophilie der Isocyanate steigt in der Reihenfolge der Substituenten

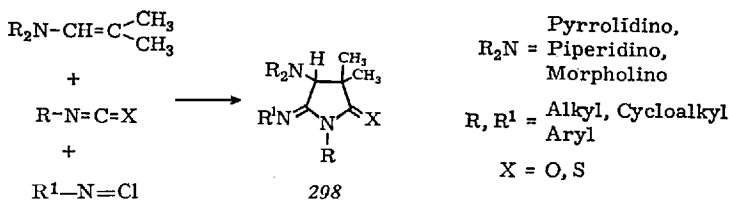
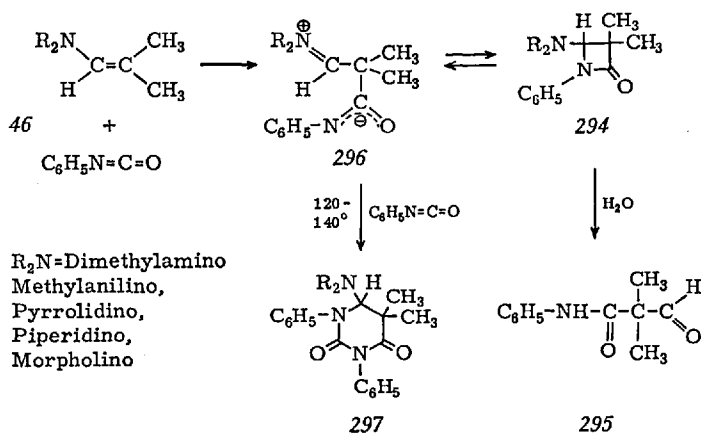
Alkyl < Aryl < Aroyl < Arylsulfonyl ¹³⁸) < Chlorsulfonyl ¹³⁹);

für die grundsätzlich schwächer elektrophilen Isothiocyanate gilt das Gleiche ¹⁴⁰).

3.4.1. Acylierung von β -substituierten Aldehydenaminen

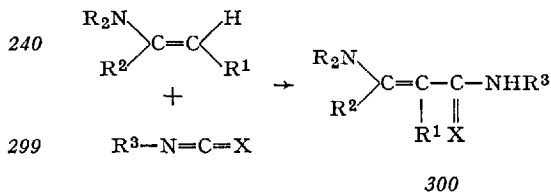
Aldehydenamine wie **46**, in denen die β -Stellung voll substituiert ist, verbinden sich mit Phenylisocyanat fast quantitativ zum Cycloaddukt **294**, das sich zum β -Formyl-anilid **295** hydrolysieren läßt ^{141,143}). Daß der Ringschluß des Zwitterions **296** reversibel ist, wird durch die Reaktion mit überschüssigem Phenylisocyanat bei höherer Temperatur zum 2:1 Addukt **297** wahrscheinlich gemacht ¹⁴³). Die Zwischenstufe **296** ist außerdem bei der Dreikomponentenreaktion mit Isonitril zu **298** zu fordern ¹⁴⁴). Hier lassen sich sogar Isothiocyanate einsetzen ¹⁴⁴), von denen bisher noch keine 1:1 Cycloaddukte bekannt sind.

Acylierung von Enaminen



3.4.2. Acylierung von Aldehyd- und Ketonenaminen mit β -ständigem H-Atom

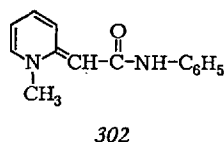
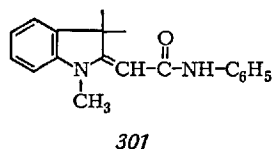
Sobald das Enamin über β -ständigen Wasserstoff verfügt (z. B. 240), sind trotz starker Variation der Enamin- und Iso-(isothio)cyanat-Komponente 299 nur lineare Addukte 300 zu fassen ^{145,146}. Das gilt in gleicher Weise für die Addukte 301 und 302 aus heterocyclischen Methylbasen ^{147,148}.



$\text{R}_2\text{N} = \text{Pyrrolidino, Morpholino, Acetyl-methylamino,}$

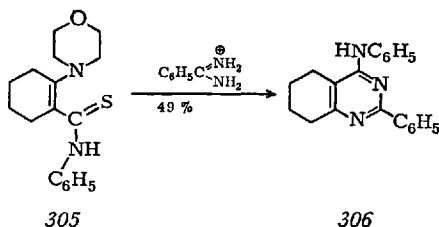
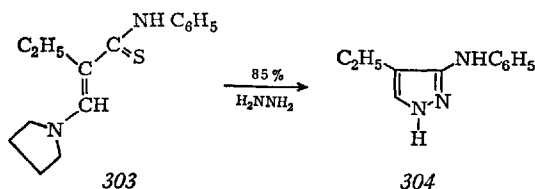
$\text{R}^1 = \text{H, Alkyl, C}_6\text{H}_5$
 $\text{R}^2 = \text{H, Alkyl}$
 $\text{R}^1 + \text{R}^2 = (\text{CH}_2)_n \quad (n = 3,4,5)$

$\text{R}^3 = \text{Alkyl, C}_6\text{H}_5, \text{ClSO}_2$
 $\text{X} = \text{O, S}$

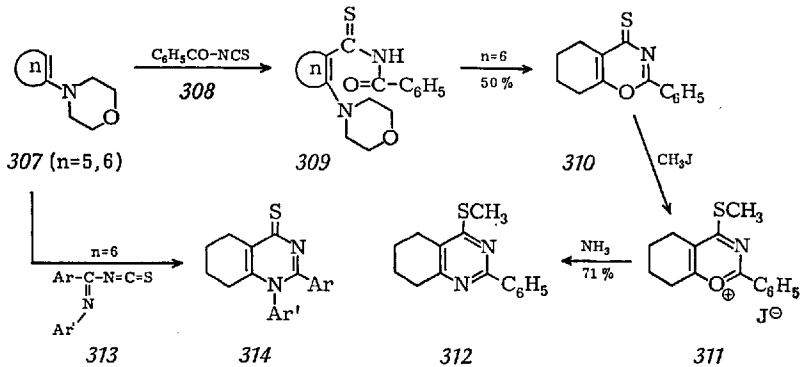


Der Versuch, bei der Reaktion von 1-Morpholino-cyclododecen-1 mit *Phenylisocyanat* in Heptan bei 0 °C ein Cycloaddukt vom Typ 294 (S. 281) als Zwischenstufe nachzuweisen, verlief negativ, die charakteristische Bande bei 1730–1750 cm^{-1} ^{141,142)} trat nicht auf.

Die hohe Nucleophilie der C=S-Bindung im Thioamid macht die Thioisocyanat-Addukte 300 zu wertvollen Ausgangsmaterialien für Heterocyclen-Synthesen, z. B. 303 → 304 und 305 → 306 ¹⁴⁹⁾.



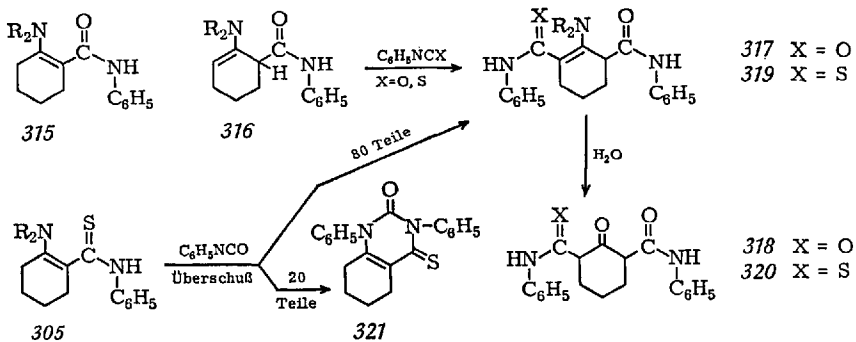
Eine Sonderstellung nehmen *Acyliothiocyanate* als Acylierungsmittel ein, da die Aminogruppe des Enamins unter Ringschluß verdrängt werden kann. So entsteht zwar aus 307 ($n=5$) und 308 das erwartete Addukt 309, mit 307 ($n=6$) und 308 wird jedoch unmittelbar 310 erhalten, ein Derivat des Aza- γ -thiopyrons, das sich über 311 glatt in das Pyrimidinderivat 312 verwandeln läßt ¹⁴⁹⁾. Das Pyrimidin-System kann auch direkt aus 307 mit dem amidinartigen 313 aufgebaut werden, wie Beispiel 314 zeigt ^{150,151)}.



3.4.3. Zweifache Acylierungen isomerisierbarer Enamine

Wie gezeigt, überwiegen bei den Acylierungsprodukten aus Ketonen-aminen und Säurechloriden oder Ketenen häufig die Isomeren mit nicht-konjugierter Doppelbindung (s. Kap. 2.3.1.). Ganz entsprechend läßt sich aus dem Adduktgemisch $315 + 316$ (in 93% Ausb. aus 307 ($n=6$) und Phenylisocyanat erhalten) durch Umkristallisieren aus Acetonitril das Isomere 316 mit 60% Ausbeute abtrennen, das sich durch Vinyl-H (NMR) und Fehlen einer langwelligen Bande bei ≈ 300 nm verrät ^{146a, 152}). Ein zweites Molekül Isocyanat wird daher zu 317 aufgenommen, dessen Struktur durch unabhängige Synthese seines Hydrolyseproduktes 318 gesichert ist ^{146a, 152, 138a}). Mit Phenylisothiocyanat entsteht erwartungsgemäß 319 , das sich zu 320 hydrolysiert und schließlich durch Entschwefeln mit H_2O_2 in 318 überführen läßt ¹⁵²).

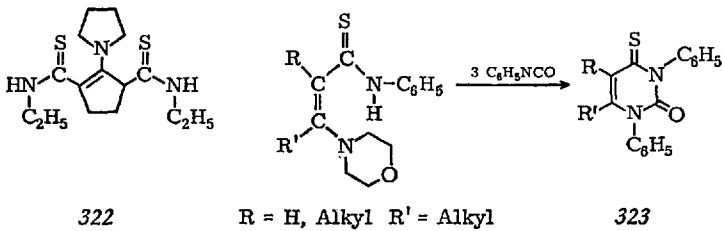
Die Addition an die CO- oder NH-Funktion ¹⁵³) der Amidgruppe unterbleibt in beiden Fällen. Im Isothiocyanat-Addukt an das gleiche



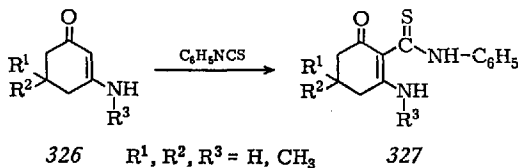
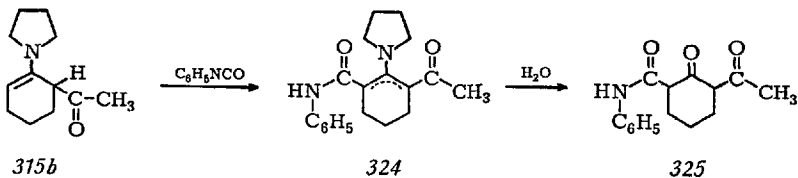
R_2N = Morpholino

Enamin scheint das konjugierte 305 vorzuherrschen, wie bereits seine gelbe Farbe zeigt ^{138a}). Dementsprechend addiert sich Phenylisocyanat nicht zu 319. Vielmehr verdrängt es unter verschärften Bedingungen den Isothiocyanat-Rest, so daß 317 entsteht. Daneben greift es noch an der NH-Funktion der Thioamidgruppe an, denn man isoliert zusätzlich das Thiouracil 321 ^{152,145b}).

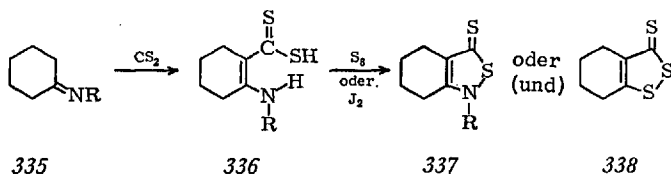
Die beschriebenen Reaktionen sind auch am 1-Morpholino-cyclopenten-1 beobachtet worden ^{138a,152,145b}). Aus 1-Pyrrolidino-cyclopenten-1 und Aethylisocyanat ist sogar das Bis-addukt 322 erhältlich, das mit überschüssigem Phenylisocyanat *beide* Seitenketten austauscht ¹⁵²).



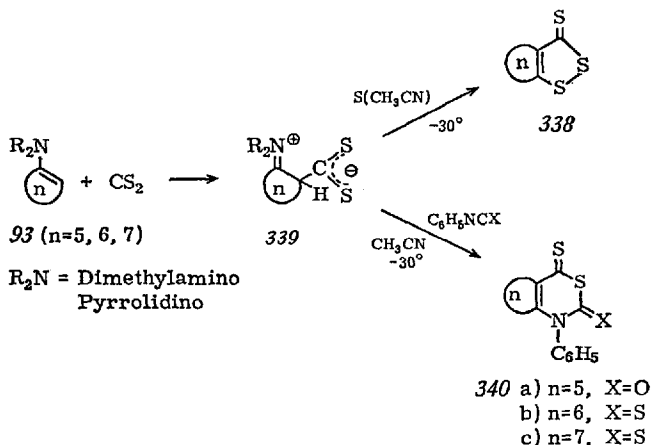
Die Thiouracil-Bildung 323 ist an zahlreichen Beispielen beobachtet worden ^{145b}). Auf Grund der beschriebenen Reaktionen entspricht es den Erwartungen, daß auch das Acetylierungsprodukt des 1-Pyrrolidino-cyclohexens in seiner nichtkonjugierten Form (115b mit Phenylisocyanat zu 324 reagiert, das sich zu 325 hydrolysieren läßt ⁶⁸). Dagegen war die glatte C-Acylierung der konjugierten Acylenamine 326 durch Arylisothiocyanate zu 327 nicht ohne weiteres vorherzusehen ¹⁵⁴).



Von Ketonen abgeleitete Schiffsche Basen, z.B. 335, die mit der Enaminform im Gleichgewicht stehen, addieren Schwefelkohlenstoff zu isolierbaren Dithiosäuren 336.



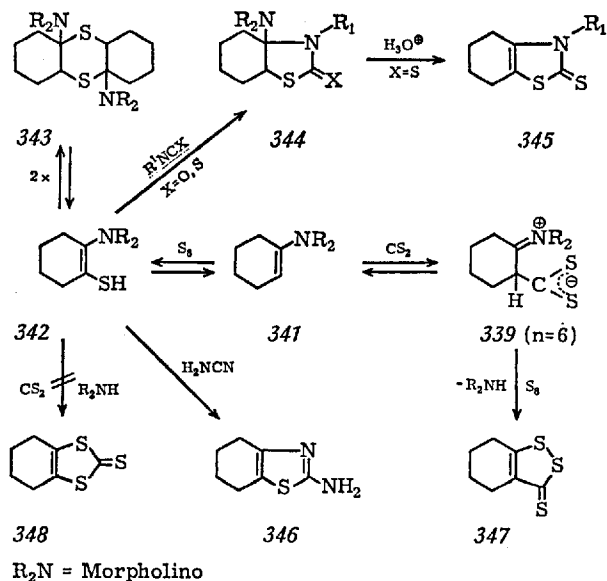
Diese schließen oxidativ den Ring zu Isothiazolderivaten 337. Verwendet man Schwefel, so entstehen unter S-Thiolierung und Aminabspaltung auch 1,2-Dithiol-thione-3 338, in DMF bei höherer Temperatur häufig als Hauptprodukt ¹⁵⁶⁾. Mit „normalen“ Ketonenaminen wie z. B. 93 sind bei -30°C in Acetonitril/Äther instabile Zwitterionen 339 nachzuweisen, die bei der Umsetzung mit Schwefel in Acetonitril bei -30°C Verbindung 338, bei der Umsetzung mit Phenyliso- und -thiocyanat 340 a–c ergeben ¹⁵⁷⁾.



3.6. Acylierung in Gegenwart von Schwefel

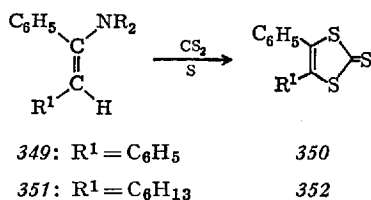
Mit diesem Reaktionstyp wird das bisher eingehaltene Thema überschritten, da in allen Fällen primär der Schwefel das Enamin elektrophil, d. h. oxidierend in β -Stellung angreift, und die nachfolgende Acylierung nunmehr am Schwefel einsetzt ¹⁵⁸⁾.

Wegen der strukturellen Verwandtschaft der entstehenden Produkte mit den besprochenen, wird dieser Reaktionstyp hier mit aufgenommen. Die komplizierten Verhältnisse seien am Beispiel des 1-Morpholino-cyclohexen-1 (347) erläutert ¹⁵⁶⁾.

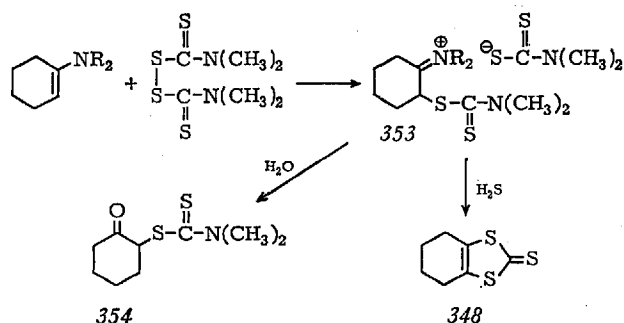


Die Reaktion mit Schwefel in einem polaren Lösungsmittel führt zunächst zum Thiol 342, das sich unter veränderten Bedingungen als Dimeres 343 fassen läßt. Die Existenz von 342 geht zusätzlich aus dem glatten Ringschluß mit Isocyanaten¹⁵⁹⁾ und Isothiocyanaten zu 344 hervor. 344 (X = S) wird von Säuren in Thiazolderivate 345 übergeführt. Schließlich reagiert Cyanamid mit 342 nur dann zum Aminothiazol 346, wenn *gleichzeitig* Schwefel anwesend ist. Die Reaktion zu 342 muß rückläufig sein, denn auf Zusatz von Schwefelkohlenstoff entsteht nur das 1.2-Dithiol-3-thion 347 und — genau wie mit anderen alkylsubstituierten Enaminen — nicht das 1.3-Dithiol-thion-2 348. Der Ringschluß zu 347 ist aber nicht über 342 sondern über 339 ($n = 6$) möglich.

Verfügt das Enamin über Arylgruppen, so tritt auch der Heterocyclus 348 im Gemisch mit auf, im Falle von 349 bis 50%, im Falle von 351 entsteht ausschließlich 352¹⁵⁶⁾.



1,3-Dithiol-thione-2 mit aliphatischen Substituenten sind jedoch ebenfalls aus Enaminen zugänglich, wenn die oxidative Einführung des Schwefels mittels Thiuramdisulfids geschieht ¹⁶⁰. Die postulierte Zwischenstufe 353, deren Struktur durch die Hydrolyse zum bekannten 354 gestützt wird, setzt sich mit Schwefelwasserstoff zu 348 um.



Die Ausbeuten liegen hier und in ähnlichen Fällen zwischen 50–70%.

4. Literatur

- 1) Coenen, M.: *Angew. Chem.* 61, 11 (1949).
- 2) Stork, G., R. Terrell, and J. Szmuszkovicz: *J. Am. Chem. Soc.* 76, 2029 (1954).
- 3) —, and H. K. Landesman: *J. Am. Chem. Soc.* 78, 5128 (1956).
- 4) vgl. die Zusammenfassungen:
 - a) Szmuszkovicz, J.: *Advances in Organic Chemistry*, Vol. 4, pp. 1–113. New York: Interscience Publishers 1963;
 - b) Bldha, K., and O. Červinka: *Advan. Heterocyclic Chem.*, Vol. 16, p. 147. New York–London: Academic Press 1966;
 - c) de Poorter, H.: *Mededelingen van de Vlaamse, S. 100. Chemische Vereniging* 1966;
 - d) Hochrainer, A.: *Oesterr. Chemiker-Ztg.* 66, 355 (1965);
 - e) Cook, A. G.: *Enamines: Synthesis, Structure and Reactions*. New York–London: M. Dekker 1969.
- 5) vgl. Zusammenfassung Opitz, G.: *Angew. Chem.* 79, 161 (1967).
- 6) Borrmann, D.: *Methoden der organ. Chemie (Houben-Weyl)*, 4. Aufl., Bd. VII/4, S. 53. Stuttgart: Georg Thieme 1968.
- 7) Mannich, C., u. H. Davidsen: *Ber. Deut. Chem. Ges.* 69, 2106 (1936).
- 8) Heyl, F. W., and M. E. Herr: *J. Am. Chem. Soc.* 75, 1918 (1953).
- 9) Hoch, J.: *Compt. Rend.* 200, 938 (1935).
- 10) Nelson, P., and A. Fetter: *J. Chem. Soc.* 1965, 5142.
- 11) v. Hirsch, H.: *Chem. Ber.* 100, 1289 (1967).
- 12) a) White, W. A., and H. Weingarten: *J. Org. Chem.* 32, 213 (1967);
 b) Hauthal, H. G., u. D. Scheid: *Z. Chem.* 9, 62 (1969).

- 13) Leonard, N. J., A. S. Hay, R. W. Fulmer, and V. W. Gash: J. Am. Chem. Soc. 77, 439 (1955) und l. c. 4^a).
- 14) Stamhuis, E. J., W. Maas, and H. Wynberg: J. Org. Chem. 30, 2160 (1965). Vgl. E. J. Stamhuis sowie G. H. Alt in Lit. 4^e).
- 15) Opitz, G.: Liebigs Ann. Chem. 650, 122 (1961). — Brannock, K. C., and R. D. Burpitt: J. Org. Chem. 26, 3576 (1961). — Opitz, G., u. H. Mildenberger: Liebigs Ann. Chem. 649, 26 (1961). — Opitz, G., H. Mildenberger u. H. Suhr: Liebigs Ann. Chem. 649, 47 (1961) s. auch Lit. 2, 3, 106, 107).
- 16) Otto, P., L. A. Feiler u. R. Huisgen: Angew. Chem. 80, 759 (1968).
- 17) Huisgen, R., L. A. Feiler, and P. Otto: Tetrahedron Letters 1968, 4486.
- 18) Stamhuis, E. J., and W. Maas: J. Org. Chem. 30, 2156 (1965). Vgl. E. J. Stamhuis sowie G. H. Alt in Lit. 4^e).
- 19) Hoch, H.: Dissertation Universität Würzburg 1968, Chem. Ber. in Vorbereitung. Weitere Enamine vgl. S. K. Malhotra in Lit. 4^e) sowie K. Nagarajan und S. Rajappa, Tetrahedron Letters 1969, 2293.
- 20) a) Gurowitz, W. D., and M. A. Joseph: J. Org. Chem. 32, 3289 (1967);
b) — — Tetrahedron Letters 1965, 4433;
c) Nagarajan, K., and S. Rajappa: Tetrahedron Letters 1969, 2293.
- 21) Opitz, G., u. A. Griesinger: Liebigs Ann. Chem. 665, 101 (1963). — Opitz, G., A. Griesinger u. H. W. Schubert: Liebigs Ann. Chem. 665, 91 (1963).
- 22) —, H. Hellmann u. H. W. Schubert: Liebigs Ann. Chem. 623, 117 (1959). Vgl. S. K. Malhotra sowie J. V. Paukstelis in Lit. 4^e).
- 23) a) Castille, A., et E. Ruppel: Bull. Soc. Chim. Biol. 10, 623 (1928). — Truce, W. E., and J. A. Simms: J. Org. Chem. 22, 762 (1957);
b) s. l. c. 1^a).
- 24) a) Leonard, N. J., and V. W. Gash: J. Am. Chem. Soc. 76, 2781 (1954); s. auch l. c. 2²) und dort unter l. c. 1¹) angegebene Literaturzitate;
b) Prelog, V., u. O. Häfliger: Helv. Chim. Acta 32, 1851 (1949).
- 25) Tschesche, R., u. G. Snatzke: Chem. Ber. 90, 579 (1957).
- 26) Grob, C. A., A. Kaiser u. E. Renk: Helv. Chim. Acta 40, 2170 (1957).
- 27) Cook, A. G.: J. Am. Chem. Soc. 85, 648 (1963).
- 28) Leonard, N. J., and A. G. Cook: J. Am. Chem. Soc. 81, 5627 (1959).
- 29) —, and W. K. Musher: J. Am. Chem. Soc. 81, 5631 (1959).
- 30) Hünig, S., E. Benzing u. E. Lücke: Chem. Ber. 90, 2833 (1957).
- 31) Schultes, H.: Angew. Chem. 47, 258 (1934); s. auch Lit. 3⁰).
- 32) Sauer, J., and H. Prahl: Tetrahedron Letters 1966, 2863; Chem. Ber. 102, 1917 (1969).
- 33) Leonard, N. J., R. W. Fulmer, and A. S. Hay: J. Am. Chem. Soc. 78, 3457 (1956).
- 34) a) Fusco, R., G. Bianchetti e S. Rossi, Gazz. Chim. Ital. 91, 825 (1961);
b) Bianchetti, G., D. Pocar, P. Dalla Croce u. A. Vigevani: Chem. Ber. 98, 2715 (1965);
c) —, P. Ferruti e D. Pocar: Gazz. Chim. Ital. 97, 579 (1967);
d) Pocar, D., G. Bianchetti e P. Ferruti: Gazz. Chim. Ital. 97, 597 (1967);
e) Jaquier, R., C. Petrus et F. Petrus: Bull. Soc. Chim. France 1966, 2845;
f) Pocar, D., R. Stradi e B. Gioia: Gazz. Chim. Ital. 98, 958 (1968).
- 35) Hünig, S., K. Hübner u. E. Benzing: Chem. Ber. 95, 926 (1963).
- 36) Berchtold, G. A.: J. Org. Chem. 26, 3043 (1961).
- 37) Mannich, C., u. E. Kniss: Ber. Deut. Chem. Ges. 74, 1629, 1637 (1941).
- 38) Stork, G., A. Brizzolara, H. Landesman, J. Szmuszko, and R. Terrell: J. Am. Chem. Soc. 85, 207 (1963).
- 39) Bianchetti, G., P. Dalla Croce e D. Pocar: Rend. Ist. Lomb. 99, 259 (1966).

- 40) s. auch *Hellmann, H.*, u. *G. Opitz*: α -Aminoalkylierung, S. 188. Weinheim/Bergstr.: Verlag Chemie 1966.
- 41) *Leonard, N. J.*, and *F. P. Hauck jr.*: *J. Am. Chem. Soc.* **79**, 5279 (1957).
- 42) *Schöpf, C.*, *R. Klug* u. *R. Rausch*: *Liebigs Ann. Chem.* **616**, 151 (1958).
- 43) *Larive, H.*, u. *R. Dennilauer*: *Chimia* **15**, 115 (1961) und spätere Arbeiten von *Metzger, J.*, *H. Larivé, J. Vincent* et *R. Dennilauer*: *J. Chim. Phys.* **60**, 467 (1963);
a) Nur bei langsamer Zugabe des 2,3-Dimethylbenzthiazoliumsalses zu überschüssiger Natronlauge ist das monomere Enamin isolierbar. *J. R. Owen* THL **1969**, 2709.
- 44) *Kröhnke, F.*, *H. Dichhäuser* u. *I. Vogt*: *Liebigs Ann. Chem.* **644**, 93 (1961).
- 45) DRP 154448/20.9.1903 Farbwerke Hoechst AG.
a) Vgl. *A. G. Cook* sowie *M. E. Kuehne* in Lit. 4e).
- 46) *Hasek, R. H.*, and *J. C. Martin*: *J. Org. Chem.* **28**, 1468 (1963).
- 47) *Martin, J. C.*, *P. G. Gott*, and *H. U. Hostettler*: *J. Org. Chem.* **32**, 1654 (1967).
- 48) *Otto, P.*, *L. A. Feiler* u. *R. Huisgen*: *Angew. Chem.* **80**, 759 (1968).
- 49) *Huisgen, R.*, and *P. Otto*: *J. Am. Chem. Soc.* **91**, 5922 (1969).
- 50) *Gleiter, R.*, u. *R. Hoffmann*: *Angew. Chem.* **81**, 225 (1969).
- 51) *Gompper, R.*: *Angew. Chem.* **81**, 348 (1969).
- 52) *Wagner, H. U.*, u. *R. Gompper*: unveröffentlichte Ergebnisse.
- 53) *Kuehne, M. E.*, and *P. J. Sheeran*: *J. Org. Chem.* **33**, 4406 (1969).
- 54) s. Zusammenfassung in *Ulrich, H.*: *Cycloaddition Reactions of Heterocumulenes*, Vol. 9 der Serie *Organic Chemistry*, S. 38ff u. l. c. 48). New York-London: Academic Press 1967.
- 55) a) *Hasek, R. H.*, *P. G. Gott*, and *J. C. Martin*: *J. Org. Chem.* **31**, 1931 (1966) sowie Zusammenfassung in l. c. 54);
b) unveröffentlichte Versuche von *H. Hoch*, Universität Würzburg 1968–1969.
- 56) *Opitz, G.*, *H. Adolph*, *M. Kleemann* u. *F. Zimmermann*: *Angew. Chem.* **73**, 654 (1961).
- 57) —, u. *M. Kleemann*: *Liebigs Ann. Chem.* **665**, 114 (1963).
- 58) *Berchtold, G. A.*: *J. Org. Chem.* **26**, 4776 (1961) und l. c. 55).
- 59) *Hoch, H.*: *Chem. Ber.*, in Vorbereitung.
- 60) *Hünig, S.*, and *H. Hoch*: *Tetrahedron Letters* **1966**, 5215. — *Kirrmann, A.*, et *C. Wakselman*: *Bull. Soc. Chim. France* **1967**, 3766.
- 61) —, *H. J. Buysch*, *H. Hoch* u. *W. Lendle*: *Chem. Ber.* **100**, 3996 (1967).
- 62) *Opitz, G.*, u. *F. Zimmermann*: *Liebigs Ann. Chem.* **662**, 178 (1963).
- 63) *Criegee, R.*, *G. Bolz* u. *R. Askani*: *Chem. Ber.* **102**, 275 (1969).
- 64) *Reichardt, Chr.*, u. *K. Dimroth*: *Fortschr. Chem. Forsch.* **11**, 1 (1968).
- 65) *Grob, C. A.*, u. *H. J. Wilkens*: *Helv. Chim. Acta* **50**, 725 (1967);
a) *Kashima, Ch.*, *M. Yamamoto*, and *N. Sugiyama*: *J. Chem. Soc. (C)* **1970**, 111;
b) *Leonard, N. J.*, and *J. A. Adamcik*: *J. Am. Chem. Soc.* **81**, 596 (1959).
- 66) *Dabrowsky, J.*, u. *U. Dabrowska*: *Chem. Ber.* **101**, 3392 (1968). — *Kaminska-Frela, K.*: *Spektrochim. Acta* **1966**, 211;
a) *Meyers, A. J.*, *A. H. Reine, J. C. Sircar, K. B. Rao, S. Singh, H. Weidmann*, and *M. Fitzpatrick*: *J. Heterocyclic Chem.* **5**, 151 (1968).
- 67) *Jacquier, R.*, et *G. Maury*: *Bull. Soc. Chim. France* **1967**, 320.
- 68) *Opitz, G.*, u. *E. Tempel*: *Liebigs Ann. Chem.* **699**, 74 (1966).
- 69) *Berchtold, G. A.*, *R. R. Harvey*, and *G. E. Wilson jr.*: *J. Org. Chem.* **30**, 2642 (1965).
- 70) *Staudinger, H.*, u. *R. Endle*: *Liebigs Ann. Chem.* **401**, 263 (1913).
- 71) *Hopff, H.*, and *W. Rapp*: *U. S. A. Pat.* **2,265,165**; *C. A.* **36**, 1614 (1942).
- 72) Nur eine weitere C-Acylierung ist bekannt vgl. Abschn. 2.5 (197).

- 73) Hünig, S., u. E. Lücke: Chem. Ber. 92, 652 (1959).
 a) Vgl. M. E. Kuehne in Lit. 4e).
- 74) Eistert, B., u. R. Wessendorf: Chem. Ber. 94, 2590 (1961).
- 75) Hünig, S., u. W. Lendle: Chem. Ber. 93, 909, 913 (1960).
- 76) s. zusammenfassender Artikel über Erzeugung und Reaktionen von Sulfen in l. c. 5) und dort zitierte Literatur.
- 77) Gandini, A., P. Schenone u. B. Bignardi: Monatsh. Chem. 98, 1518 (1967).
- 78) Lücke, E.: Dissertation, Universität Marburg 1958 und l. c. 30).
- 79) Hünig, S., E. Lücke u. E. Benzing: Chem. Ber. 91, 129 (1958).
- 80) —, u. M. Salzwedel: Chem. Ber. 99, 823 (1966).
- 81) —, u. W. Eckardt: Chem. Ber. 95, 2493 (1962).
- 82) Hamrick jr., P. J., C. F. Hauser, and C. R. Hauser: J. org. Chem. 24, 583 (1959); dort weitere Literaturhinweise.
- 83) Hünig, S., u. M. Salzwedel: Angew. Chem. 71, 339 (1959).
- 84) —, E. Lücke, and W. Brenninger: Organic Synthesis, Vol. 43, S. 34. New York: John Wiley & Sons 1963.
- 85) Lendle, W.: Dissertation, Universität Marburg 1959.
- 86) Hünig, S., u. H. J. Buysch: Chem. Ber. 100, 4010 (1967).
- 87) — — Chem. Ber. 100, 4017 (1967).
- 88) Borrmann, D.: Methoden der organ. Chemie (Houben-Weyl), 4. Aufl., Bd. VII/4, S. 226. Stuttgart: Georg Thieme Verlag 1968.
- 89) Martin, J. C., R. D. Burpitt, and H. U. Hostettler: J. Org. Chem. 32, 210 (1967).
- 90) Hünig, S., E. Benzing u. K. Hübner: Chem. Ber. 94, 486 (1961); s. auch Millward, B. B.: J. Chem. Soc. 1960, 26 und l. c. 60).
- 91) Rao, C. N. R.: Chemical Applications of Infrared Spectroscopy, p. 233. New York-London: Academic Press 1963.
- 92) Scott, A. I.: Interpretation of the UV-Spectra of natural products, p. 140. Pergamon Press 1964.
- 93) Hanford, W. E., and J. C. Sauer: Org. Reactions Vol. III, Chap. 3, p. 108. New York: John Wiley & Sons 1946.
- 94) Alt, G. H.: J. Org. Chem. 31, 2384 (1966).
- 95) für $n=6$: Helmers, R.: Diplomarbeit, Universität Marburg 1961.
- 96) für $n=5$: Campbell, R. D., and W. L. Harmer: J. Org. Chem. 28, 379 (1963).
- 97) Helmers, R.: Acta Chem. Scand. 19, 2139 (1965).
- 98) — Tetrahedron Letters 1966, 1905.
- 99) Campbell, R. D., and J. A. Jung: J. Org. Chem. 30, 3711 (1965).
- 100) Walborshy, H. M.: J. Am. Chem. Soc. 74, 4962 (1952); s. auch Erickson, J. L. E., F. E. Collins jr., and B. L. Owen: J. Org. Chem. 31, 480 (1966).
- 101) Mühlstaedt, M., u. J. Reimer: Z. Chem. 4, 70 (1964).
- 102) Alt, G. H., and A. J. Speziale: J. Org. Chem. 29, 798 (1964).
- 103) — — J. Org. Chem. 30, 1407 (1965).
- 104) Inukai, T., and R. Yoshizawa: J. Org. Chem. 32, 404 (1967).
- 105) s. l. c. 39) und Fleming, I., and J. Harley-Mason: J. Chem. Soc. 1964, 2165. — Westman, T. L., R. Paredes, and W. S. Brey jr.: J. Org. Chem. 28, 3512 (1963). — Westman, T. L., and A. E. Kober: J. Org. Chem. 29, 2448 (1964). — Augustine, R. L., and H. V. Cortez: Chem. Ind. 490 (1963). — House, H. O., M. B. Trost, R. W. Magin, R. G. Carlson, R. W. Franck, and G. H. Rasmusson: J. Org. Chem. 30, 2513 (1965).
- 106) Hickmott, P. W., and B. J. Hopkins: J. Chem. Soc. 1968, 2918.
- 107) Hargreaves, J. R., P. W. Hickmott, and B. J. Hopkins: J. Chem. Soc. 1968, 2599.
- 108) — — — J. Chem. Soc. 1969, 592.

- 109) *Hickmott, P. W.*, and *J. R. Hargreaves*: *Tetrahedron* 23, 3151 (1967).
- 110) a) *Fischer, G. W.*, u. *W. Schroth*: *Chem. Ber.* 102, 590 (1969);
 b) — — *Chem. Ber.* 102, 575 (1969).
- 111) vgl. zu dieser Gegenüberstellung l. c. ³⁰⁾ und *Jacquier, R.*, et *G. Maury*: *Bull. Soc. Chim. France* 1967, 316.
- 112) *Boyd, G. V.*, and *D. Hewson*: *Chem. Commun.* 1965, 536. — *Boyd, G. V.*, *D. Hewson*, and *R. A. Newberry*: *J. Chem. Soc.* 1965, 935.
 a) Zur Konfiguration solcher Cyanine vgl. *K. Feldmann, E. Daltrozzo* und *G. Scheibe, Z. Naturforsch.* 22b, 722 (1967).
- 113) *Risaliti, A.*: *Boll. Sci. Fac. Chim. Ind. Bologna* 19, 173 (1961) (*C. A.* 58, 4390f (1963)).
- 114) *Ziegenbein, W.*: *Angew. Chem.* 77, 380 (1965).
- 115) *Ito, Y.*, *S. Katsuragawa, M. Okano*, and *R. Oda*: *Tetrahedron* 23, 2159 (1967).
- 116) vgl. z. B. *Eilingsfeld, H.*, *M. Seefelder* u. *H. Weidinger*: *Chem. Ber.* 96, 2899 (1963).
- 117) *Oxley, F.*, and *W. F. Short*: *J. Chem. Soc.* 1948, 1514.
- 118) *Meuer, V.*: Dissertation, Universität Würzburg 1962.
- 119) *Brunings, K. J.*, and *A. H. Corwin*: *J. Am. Chem. Soc.* 64, 593 (1942).
- 120) *Brooker, L. G. S.*, *F. L. White, R. H. Sprague, S. G. Dent jr.*, and *G. van Zandt*: *Chem. Rev.* 41, 325 (1947).
- 121) *Hünig, S.*, *W. Gräßmann, V. Meuer* u. *E. Lücke*: *Chem. Ber.* 100, 3024 (1967).
- 122) — — — — *u. W. Brenninger*: *Chem. Ber.* 100, 3039 (1967).
- 123) *Bianchetti, G.*, *D. Pocar* e *P. Dalla Croce*: *Gazz. Chim. Ital.* 93, 174 (1963).
- 124) *Fusco, R.*, *G. Bianchetti* e *D. Pocar*: *Gazz. Chim. Ital.* 91, 1233 (1961). — *Pocar, D.*, *S. Maiorana* e *P. Dalla Croce*: *Gazz. Chim. Ital.* 98, 949 (1968).
- 125) *Munk, M. E.*, and *Yung Ki Kim*: *J. Am. Chem. Soc.* 86, 2213 (1964). — *Huisgen, R.*, *M. Seidel, G. Wallbillich*, and *H. Knupfer*: *Tetrahedron* 17, 3 (1962).
- 126) *Nikolajewski, H. E.*, *S. Dähne, D. Leupold*, and *B. Hirsch*: *Tetrahedron* 24, 6685 (1968).
- 127) *Sobotka, W.*, *W. N. Beverung, G. G. Munoz, J. C. Sircar*, and *A. I. Meyers*: *J. Org. Chem.* 30, 3667 (1965). — *Meyers, A. I.*, and *J. C. Sircar*: *J. Org. Chem.* 32, 1250 (1967). — *Meyers, A. I.*, *A. H. Reine*, and *R. Gault*: *J. Org. Chem.* 34, 698 (1969).
- 127) a) vgl. auch *Bohlmann, F.*, u. *O. Schmidt*: *Chem. Ber.* 97, 1354 (1964).
- 128) *Möller, F.*: *Methoden der organ. Chemie* (Houben-Weyl), 4. Aufl., Bd. XI/1, S. 985. Stuttgart: Georg Thieme Verlag 1957.
- 129) *Hünig, S.*, u. *M. Kiessel*: *J. Prakt. Chem.* 224 (1958).
- 130) *Wolinsky, J.*, and *D. Chan*: *Chem. Commun.* 1966, 567;
 a) *Elkik, E.*, et *P. Vandesca*: *Compt. Rend.* 1967, 1779.
- 131) *Groß, H.*, u. *J. Rusche*: *Angew. Chem.* 76, 534 (1964).
- 132) Dtsch. Bundes-Pat. 27.5.57 Farbenfabriken Bayer AG, Leverkusen.
- 133) *Kuehne, M. E.*: *J. Am. Chem. Soc.* 81, 5400 (1959).
- 134) *Grigat, E.*, *R. Pütter* u. *E. Mühlbauer*: *Chem. Ber.* 98, 3777 (1965).
- 135) *Martin, D.*, u. *S. Rackow*: *Chem. Ber.* 98, 3662 (1965).
- 136) *Fusco, R.*, *S. Rossi* e *G. Bianchetti*: *Gazz. Chim. Ital.* 91, 481 (1961).
- 137) *Chrétien-Bessière, Y.*, et *H. Sesne*: *Compt. Rend.* 266, 635 (1968).
- 138) a) *Hünig, S.*, *K. Hübner* u. *E. Benzing*: *Chem. Ber.* 95, 926 (1962);
 b) *Petersen, S.*: *Methoden der org. Chemie* (Houben-Weyl), 4. Aufl., Bd. VIII, S. 129. Stuttgart: Georg Thieme 1952;
 c) *Naegeli, C.*, *A. Tyabji* u. *L. Conrad*: *Helv. Chim. Acta* 21, 1127 (1938).
- 139) *Bestian, H.*: *Angew. Chem.* 80, 304 (1968). — *Graf, R.*: *Liebigs Ann. Chem.* 661, 111 (1963).

- 140) *Browne, D. W.*, and *G. N. Dyson*: *J. Chem. Soc.* 1931, 3285; s. auch l.c. 138a).
- 141) *Perelman, M.*, and *S. A. Mizsak*: *J. Am. Chem. Soc.* 84, 4988 (1962).
- 142) *Opitz, G.*, and *J. Koch*: *Angew. Chem. Intern. Ed. Engl.* 2, 152 (1963).
- 143) *Bose, A. K.*, and *G. Mina*: *J. Org. Chem.* 30, 812 (1965).
- 144) *Ley, K.*, *U. Eholzer*, and *R. Nast*: *Angew. Chem. Intern. Ed. Engl.* 4, 519 (1965).
- 145) a) s.l.c. 138a) und l.c. 19);
 b) *Bianchetti, G.*, *P. Dalla Croce* e *D. Pocar*: *Gazz. Chim. Ital.* 94, 606 (1964);
 c) *Fusco, R.*, *G. Bianchetti* e *S. Rossi*: *Gazz. Chim. Ital.* 91, 825 (1961);
 d) *Ried, W.*, und *W. Käppeler*: *Liebigs Ann. Chem.* 673, 132 (1964);
 e) *Clemens, D. H.*, and *W. D. Emmons*: *J. Org. Chem.* 26, 767 (1961).
- 146) a) *Berchtold, G. A.*: *J. Org. Chem.* 26, 3043 (1961);
 b) *Matterstock, U.*, u. *H. Jensen*: *Ger. Pat.* 1168896 (1964).
- 147) *Schneider, W.*, *K. Gaertner* u. *A. Jordan*: *Ber. Deut. Chem. Ges.* 57, 523 (1924).
 — *Schneider, W.*: *Liebigs Ann. Chem.* 438, 132 (1924).
- 148) *Mumm, O.*, *H. Hinz* u. *J. Diederichsen*: *Ber. Deut. Chem. Ges.* 72, 2107 (1939).
 — *Clifford, A. F.*, and *C. S. Kobayashi*: *J. Inorg. Chem.* 4, 571 (1965).
- 149) *Hünig, S.*, u. *K. Hübner*: *Chem. Ber.* 95, 937 (1962).
- 150) *Blatter, H. M.*, and *H. Lukaszewski*: *J. Org. Chem.* 31, 722 (1966).
- 151) vgl. auch *de Stevens, G.*, *B. Smolinsky, J. Wojtkunski* u. *R. W. J. Carney*:
Angew. Chem. 76, 194 (1964). — *de Stevens, G.*, *B. Smolinsky* and *L. Dorfman*:
J. Org. Chemistry 29, 1115 (1964).
- 152) *Bianchetti, G.*, *D. Pocar* e *S. Rossi*: *Gazz. Chim. Ital.* 93, 255 (1963).
- 153) s. auch l.c. 145e).
- 154) *Goerdeler, J.*, u. *U. Keuser*: *Chem. Ber.* 97, 2209 (1964).
- 155) s. auch l.c. 148).
- 156) s. Review-Artikel *Mayer, R.*, u. *K. Gewald*: *Angew. Chem.* 79, 298 (1967) und dort zitierte Literatur.
- 157) *Gompper, R.*, *B. Witzel*, and *W. Elser*: *Tetrahedron Letters* 1968, 5519.
- 158) vgl. den oxidativen Angriff mit Benzolperoxyd (*R. L. Augustine*): *J. Org. Chem.* 28, 581 (1963);
 mit Thalliumtriazetat (*M. E. Kuehne* und *T. J. Giacobbe*): *J. Org. Chem.* 33, 3359 (1968);
 mit Diarylsulfiden (*M. E. Kuehne*): *J. Org. Chem.* 28, 2124 (1963).
- 159) *Ley, K.*, u. *R. Nast*: *Angew. Chem.* 77, 544 (1965).
- 160) *Fanghänel, E.*: *Z. Chem.* 74, 70 (1964).

Eingegangen am 1. August 1969

Nitrogen Ylids

W. K. Musker

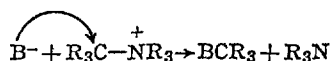
Associate Professor of Chemistry, University of California, Davis, CA 95616

Contents

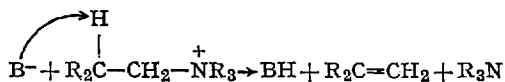
I.	Introduction	296
II.	Reactions of the Tetramethylammonium Ion with Organolithium Reagents. — "The Ylid"	298
	A. Preparation and Structure	298
	B. Decomposition Reactions	302
	C. Condensation and Displacement Reactions	309
	D. Adduct Formation and Transmetalation Reactions	311
	1. Boron Containing Adducts	311
	2. Aluminum Containing Adducts	314
	3. Mercury and Zinc Containing Adducts	315
	E. Dimetalation Reactions	316
III.	Reactions of the Tetramethylammonium Ion with Other Strong Bases	318
	A. Hydroxide and Alkoxides	318
	B. Amides	321
	C. Alkali Metals in Dioxane	322
	D. Alkali Metals in Liquid Ammonia	324
IV.	Reactions of the Tetramethylammonium Ion with Weak Bases	326
V.	Ylids from Phenyl Substituted Quaternary Ammonium Salts	328
VI.	Ylids from Benzyl and Benzhydryl Substituted Quaternary Ammonium Salts	330
	A. Benzyl Substitution	330
	B. Dibenzyl Substitution	336
	C. Benzyl Substituted Anilines	339
	D. Ion-Pair Formation from Ylids	340
	E. Benzhydryl Substitution	343
VII.	Ylids from Tetraalkylammonium Salts	345
VIII.	Ylids from Cyclic Quaternary Ammonium Salts	349
IX.	Other Synthetic Approaches to Nitrogen Ylids	352
X.	Other Nitrogen Ylids	355
XI.	Summary and Conclusions	357
XII.	References	362

I. Introduction

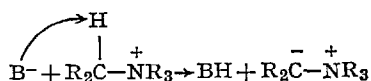
In general, quaternary ammonium ions may be expected to react with base at three different positions ^{5b}): a) at an α -carbon to affect a nucleophilic displacement reaction which yields the free amine and alkylated base;



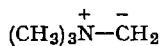
b) at a β -hydrogen to affect a *Hofmann* or β -elimination reaction which yields alkene, amine, and the conjugate acid of the attacking base;



c) at an α -hydrogen which yields the conjugate acid of the attacking base and a dipolar carbanionic species or nitrogen ylid.



The name "ylid" originated in *Wittig's* writings ¹⁶¹⁻¹⁶²) when he called the species prepared by attack of strong base on the tetramethylammonium ion, trimethylammoniummethylide **1**. This species, or its alkali metal derivative, will be referred to as "the ylid" in this discussion.



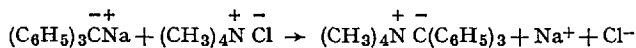
"the ylid"

1

In this review the conditions under which α -proton abstraction occurs are examined and the properties and reactions of the resulting nitrogen ylid are described. The subject of nitrogen ylids was reviewed by *Johnson* ⁷⁸) in 1966 in a chapter in the book entitled "Ylid Chemistry". In

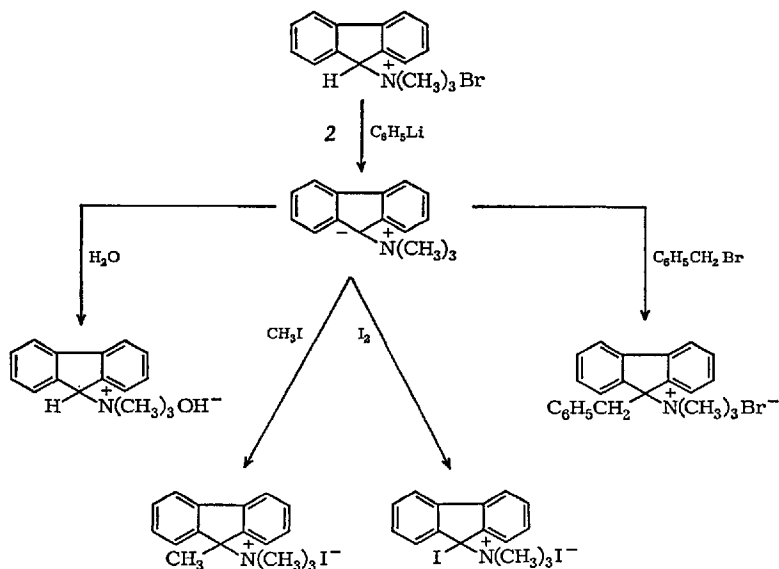
Johnson's discussion ⁷⁸⁾ a major emphasis is placed on those nitrogen ylids in which either the positive or negative charge can be delocalized by interaction with an unsaturated system. In this review the main emphasis is placed on *nitrogen ylids where no delocalization is possible*: the ylid resulting from the deprotonation of the tetramethylammonium cation will receive major attention although the reactions of cations containing an N^+-CH_3 group will also be discussed. A brief summary of the reactions of the tetramethylammonium ion was published in 1968 ¹⁰⁸⁾.

Historically, the development of the chemistry of nitrogen ylids began with early attempts to prepare organic derivatives containing pentavalent nitrogen. To this purpose, *Schlenk* and *Holtz* ¹²⁶⁾ treated tetramethylammonium chloride with sodium triphenylmethide and with benzylsodium, isolating tetramethylammonium triphenylmethide and tetramethylammonium benzylide, respectively. These compounds were thought at the time to be pentavalent nitrogen compounds.



Later *Hager* and *Marvel* ⁵⁶⁾ attempted to prepare analogous compounds in which all five groups around nitrogen were more equivalent. These workers found that the reaction of triethylbenzylammonium bromide with ethyllithium did not produce tetraethylammonium benzylide, ruling out the existence of any intermediate in which the five groups bound to nitrogen approached equivalency. From this observation *Hager* and *Marvel* concluded that the materials prepared by *Schlenk* and *Holtz* were tetraalkylammonium salts of the relatively stable triphenylmethyl and benzyl carbanions rather than derivatives of pentavalent nitrogen. Since no toluene or triphenylmethane was found, the benzyl and triphenylmethyl carbanions apparently are not strong enough bases to effect proton abstraction from the tetramethylammonium ion under the conditions of this reaction. In addition, no products resulting from displacement reactions were reported ¹²⁶⁾.

In 1944 *Wittig* and *Felletschin* ¹⁶¹⁾ began a reinvestigation of the pentavalent nitrogen problem and succeeded in isolating a red powder from the treatment of a 9-fluorenyltrimethylammonium bromide, 2, with phenyllithium in ether. However, since benzene was isolated from the reaction mixture, the compound could not be a pentavalent nitrogen derivative and was assigned an ylid structure on the basis of its reactions with water, methyl iodide, iodine, and benzyl bromide.



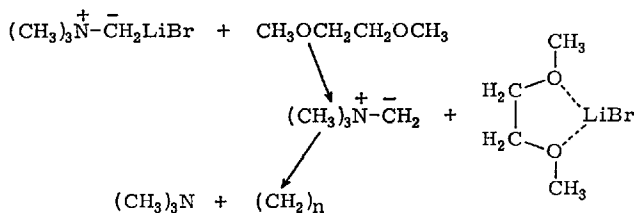
Following this initial preparation of a stable material having an ylid structure, a variety of phosphorus, arsenic, and sulfur ylids have been prepared and characterized and their chemistry has been thoroughly reviewed ⁷⁸⁾. The chemistry of trimethylamine imine ²⁾ and trimethylamine oxide, compounds which are isoelectronic with the ylid, have been reviewed ^{30,78)} and will not be described here.

From this beginning, the chemistry of numerous nitrogen ylids has been studied, but the ylid, the simplest member of this series, has been studied most extensively and will be discussed first.

II. Reactions of the Tetramethylammonium Ion with Organolithium Reagents. — “The Ylid”

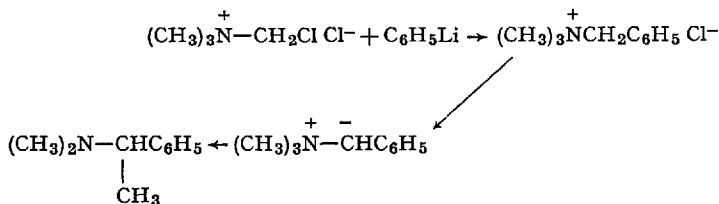
A. Preparation and Structure

In 1947 *Wittig* and *Wetterling* ¹⁶²⁾ examined the reaction between tetramethylammonium bromide and phenyllithium in ether in an effort to prepare tetramethylammonium phenyl. None of the desired product was obtained, but benzene was formed along with an insoluble material which was characterized as the lithium bromide complex of the ylid on the basis of its reactions with water, iodine, methyl iodide, and benzophenone.



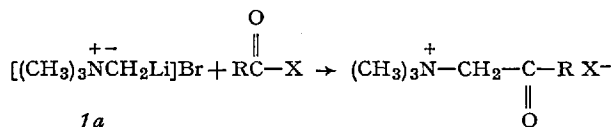
It might be expected that the stability of the sodium bromide complex of the ylid would be much lower than the lithium bromide complex. Thus, when the ylid is prepared using a mixture of phenylsodium and phenyllithium, decomposition also occurs, but in this case the predominant product is dimethylethylamine ¹⁷⁰).

Wittig reasoned that if formula *1a* more clearly represents the structure of the ylid, it would be expected that the halide ion would exert little influence on the reactivity of the ylid. It was found, however, that the product prepared by treatment of iodomethyltrimethylammonium iodide with phenyllithium in ether *did not react* with benzophenone, but the product from the reaction of bromomethyltrimethylammonium bromide with phenyllithium gave the same addition compound with benzophenone as the ylid prepared from tetramethylammonium bromide and phenyllithium ¹⁷⁰). Also, the reactivity of the ylid prepared from bromomethyltrimethylammonium bromide in ether was reduced when lithium iodide was added to the reaction mixture. This reduction in the reactivity of the ylid caused by the iodide ion was interpreted as good evidence that the halide ion is not free as indicated by structure *1a* but is closely associated with lithium as in structure *1* ¹⁷⁰). When chloromethyltrimethylammonium chloride is treated with phenyllithium, coupling occurs to give trimethylbenzylammonium chloride rather than the ylid ¹⁷⁹). The trimethylbenzylammonium salt subsequently undergoes a *Stevens* rearrangement to give dimethyl- α -methylbenzylamine in 22% yield (see Sect. VIA)

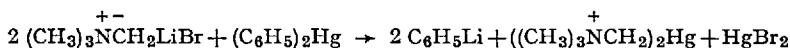


Subsequently, *Weygand, Daniel and Schroll* ¹⁵⁸) reinvestigated the structure of the ylid and interpreted their results as indicating that

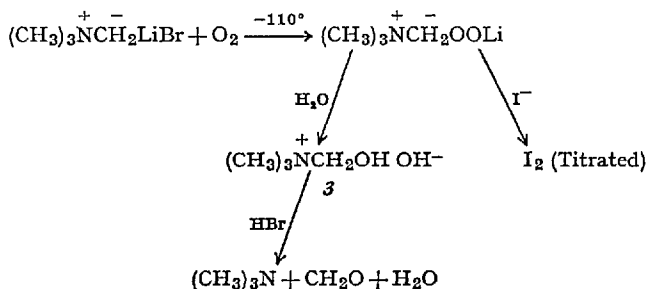
structure *1a* is a more appropriate representation of the structure of the ylid. In their investigation, a variety of acylations of the ylid with carbon dioxide, benzonitrile, ethylbenzoate, acetyl chloride, and benzoyl chloride were carried out and the products obtained from these reactions were analogous to those obtained from similar acylations of lithium alkyls.



In further efforts to show the similarities to lithium alkyls, the ylid was treated with diphenylmercury yielding phenyllithium by an exchange reaction ³⁹⁾.



Such exchange reactions between mercurials and lithium alkyls and between mercurials and Grignard reagents had previously been demonstrated by *Gilman and Jones* ⁴⁹⁾ as well as by *Salinger and Dessy* ¹⁰⁵⁾. In addition, *Daniel and Paetsch* ³⁹⁾ carried out a low temperature oxidation of the ylid with molecular oxygen in tetrahydrofuran, producing a soluble peroxide whose presence was detected both by iodometric titration with sodium thiosulfate and by the isolation of formaldehyde from the reaction mixture after hydrolysis of the formocholine intermediate *3* with acid.



The formation of peroxides by lithium alkyls and Grignard reagents, when treated with oxygen at low temperature, had been previously demonstrated by *Hock and Ernst* ⁶⁸⁾. Finally, it was noted that lithium alkyls react with ethylene bromide to give off ethylene. Similarly, solu-

tions of the ylid in tetrahydrofuran were found to react vigorously with ethylene bromide, giving off ethylene ³⁹).

Although *Wittig* ¹⁷⁰) noted that the reactivity of the ylid in ether was reduced when lithium iodide was added, *Daniel* and *Paetsch* ³⁹) observed that the reactivity of the ylid was not reduced when lithium iodide was added to a THF solution of the ylid. In addition, they observed C—Li bond stretching vibrations in the infrared spectrum of a THF solution of the ylid ⁴⁰). The absorptions at 385, 425, 475, 500 and 580 cm^{-1} , which were attributed to the ylid, disappear on treatment with oxygen. The new band which appears at 450 cm^{-1} is attributable to an Li—O stretching frequency ⁴⁰).

On the basis of their results, *Daniel* and *Paetsch* ^{39,40}) concluded that the correct formulation of the ylid is $[(\text{CH}_3)_3\text{N}-\text{CH}_2\text{Li}]^+\text{Br}^-$ since it behaves in a manner which is similar to known organolithium reagents. Indeed this formulation accurately describes the behavior of the ylid and perhaps is useful, but it also requires an ionic species in etherial solvents. However, it is known that lithium halides are highly associated in ethers ⁵⁰) and it would be most surprising if this particular salt was not associated. Organolithium reagents are also highly associated in ethers ¹⁸) and appear to interact strongly with lithium halides ^{50,146}).

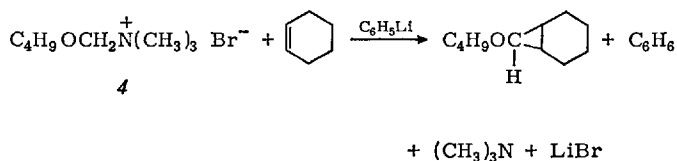
It seems that the interpretation of an ionic ylid is akin to saying that the *Grignard reagent* might be formulated as $[\text{RMg}]^+\text{Br}^-$ in etherial solvents. The Grignard reagent undergoes the same reactions as the lithium bromide complex of the ylid (exchange with mercurials, reaction with carbonyl compounds, etc.) even though the bromide is intimately associated with magnesium in THF ^{123,151}). Although the experimental observations on the lithium halide adducts of the ylid indicate that it reacts as an organolithium reagent, this may not preclude the presence of a bromide ion intimately associated with lithium in a manner which may be similar to the structure of the Grignard reagent. Using this formulation, the behavior of the lithium bromide complex can be compared with other *Lewis* acid complexes of the ylid. It would be interesting to examine the behavior of the tetrafluoroborate and tetraphenylborate salts of the ylid since interaction of this anion with the cation would be expected to be weak. However, this might not completely solve the dilemma since lithium perchlorate is highly associated in ethers ¹³).

B. Decomposition Reactions

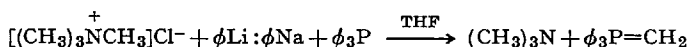
If the free ylid, $(\text{CH}_3)_3\text{N}^+-\text{CH}_2^-$, is not stabilized by a *Lewis* acid, it decomposes. Even on standing in ether, the lithium bromide complex slowly decomposes to give trimethylamine and polymethylene ⁴⁰). The

electronic structure of the free ylid has been discussed by *Cram*³⁵⁾. If the electrons occupy an sp^3 orbital in the free ylid, the charges would be slightly closer together than they would be if the electron pair occupied a pure p -orbital. If the electron pair was in an s -orbital the charges would be even closer together. Thus the electron pair in the free ylid may be in an orbital richer in s -character than sp^3 . However, in stabilized ylids, the *Lewis* acid would be expected to be coordinated to an sp^3 hybridized carbon atom.

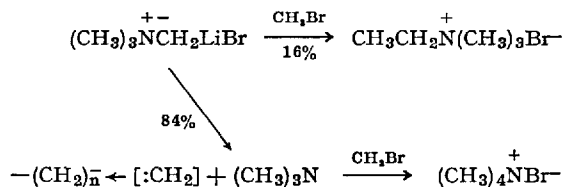
Investigations by *Wittig*⁴⁷⁾ and by *Weygand*¹⁵⁸⁾ indicate that ylids may give carbenes on decomposition. An initial report by *Franzen* and *Wittig*⁴⁷⁾ claimed that a solution of the ylid prepared by a mixture of phenylsodium and phenyllithium in the presence of cyclohexene gave small yields of norcarane. Although *Wittig* and *Krauss*¹⁷⁹⁾ were unable to repeat this work, (only 0.4% norcarane was isolated) they were able to isolate norcarane derivatives by using substituted quaternary ammonium salts. For instance, treatment of *n*-butoxymethyltrimethylammonium bromide **4** with phenyllithium in the presence of cyclohexene produced 7-(*n*-butoxy)norcarane.



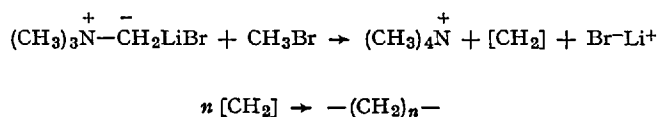
Similarly, 7-phenoxy norcarane was isolated from the reaction of phenoxy methyltrimethylammonium bromide with phenyllithium in the presence of cyclohexene. The isolation of these norcarane derivatives suggests the intermediate presence of a carbene or carbenoid precursor, presumably arising from decomposition of the initially formed ylid. It is worth noting that the reaction of alkylchloromethyl ethers with butyllithium also gives an alkoxy carbenoid derivative which inserts into olefins to give cyclopropanes¹³⁰⁾. *Franzen* and *Wittig*⁴⁷⁾ also observed that treatment of tetramethylammonium chloride with phenyllithium: phenylsodium in THF in the presence of triphenylphosphine gave methylenetriphenylphosphorane. They concluded that this observation suggests the intermediate formation of a *carbene*.



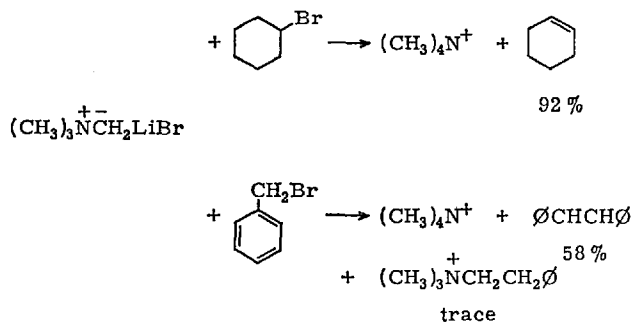
to give trimethylamine and polymethylene before it can be alkylated by methyl bromide.



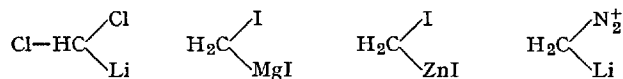
An alternative decomposition route leading to polymethylene can also be envisioned where the ylid acts as a proton abstracting agent to induce an α -elimination.



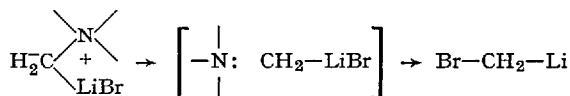
This would account for the observation that the polymethylene contains less carbon-14 than expected if only the preceding mechanism was operating. In reactions of the ylid with other alkyl bromides, proton abstraction occurs in preference to substitution. Reaction with cyclohexylbromide gives a 92% yield of cyclohexene by a β -elimination. Reaction with benzyl bromide gives a 58% yield of stilbene, probably by α -elimination, with only a small amount of 2-phenylethyltrimethylammonium bromide by substitution ¹⁵⁸.



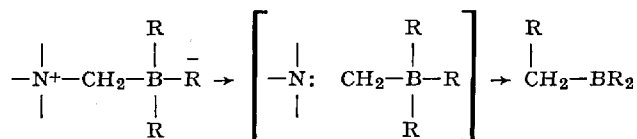
In extensive studies of α -elimination reactions, *Wittig* ^{176,180}, *Simmons and Smith* ¹³⁶), *Köbrich* ⁸⁵), and *Closs* ⁵¹), have observed carbenoid behavior in reactions of various α -haloorganometallics.



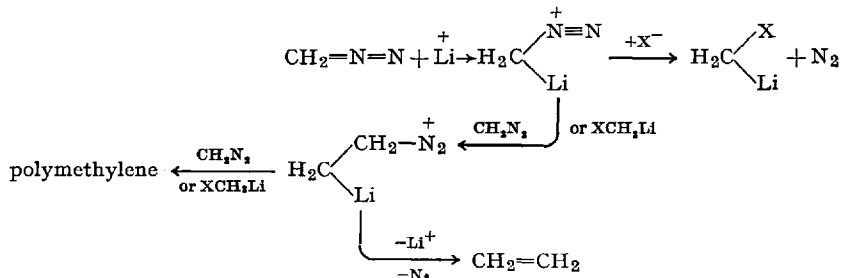
Although these carbenoids are usually discussed in relation to insertion reactions, some of them undergo polymerization and other reactions which are similar to those of the ylid. Thus, in ylid chemistry the $(\text{CH}_3)_3\text{N}^+$ group *may be considered as a pseudo-halogen*. Although it has not been shown that the ylid reacts by an insertion reaction, it is possible that the conditions under which insertion can occur have not been realized. If the ylid is considered as a carbenoid, its polymerization reactions may proceed *via* a lithium halide complex. Alternatively, the complex may rearrange to the bromomethyl lithium which may be the reactive intermediate.



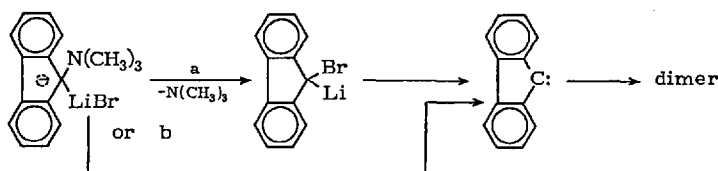
Compare this rearrangement with a possible rearrangement path of organoborane complexes. (See Sect. II. D. 1.)



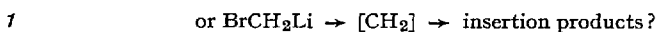
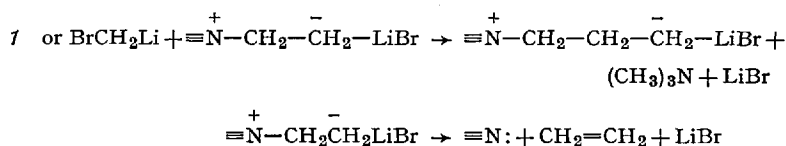
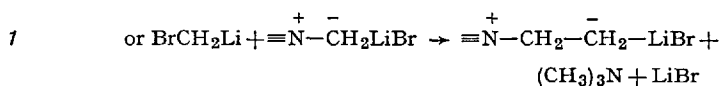
The closest analogy is the mechanism proposed for the lithium halide catalyzed decomposition of diazomethane in ether to give ethylene and polymethylene ¹⁸⁰).



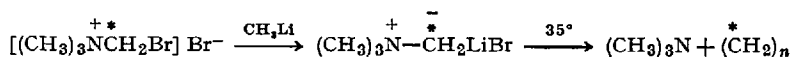
This path can also be visualized in the fluorenylide system ¹⁶¹⁾



If this rearrangement occurs, polymerization and dimerization reactions of the ylid or the bromoalkyllithium reagent can be considered in the following way.

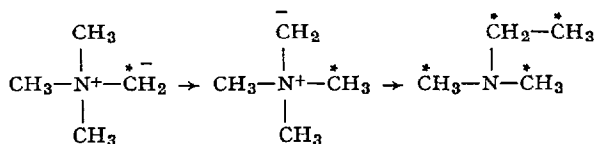


Daniel and Paetsch ⁴⁰⁾ carried out a series of labeling experiments designed to determine whether the methylene carbon atom of the ylid retains its integrity during decomposition. The ylid was labeled in several positions with ¹⁴C and ³H, but the specific ylid prepared from bromomethyltrimethylammonium bromide and methyllithium with the methylene group labeled with ¹⁴C will be discussed here.



If the ylid prepared in this manner is allowed to decompose in ether at 35 °C, no ¹⁴C is observed in the trimethylamine. Therefore, the carbon atoms in the ylid do not equilibrate under these conditions. However, if the ylid is prepared by treatment of the labeled bromomethyltrimethyl-

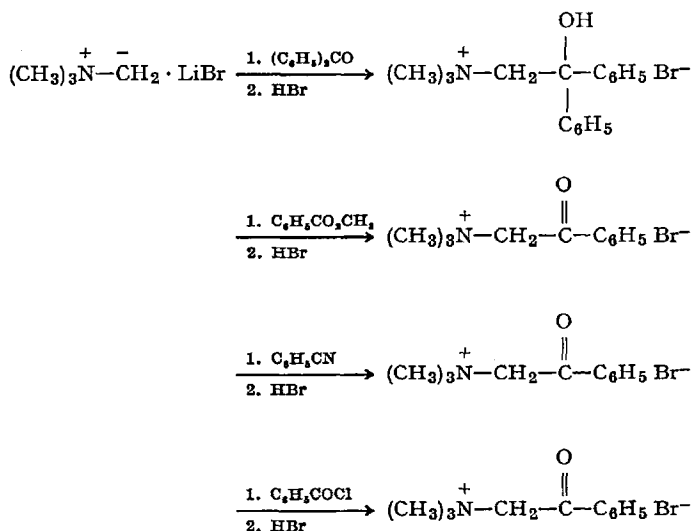
45,109) in the ylid prior to rearrangement by any of the possible mechanisms would also lead to scrambling in the dimethylethylamine and account for the experimental observations. Further discussion of intramolecular



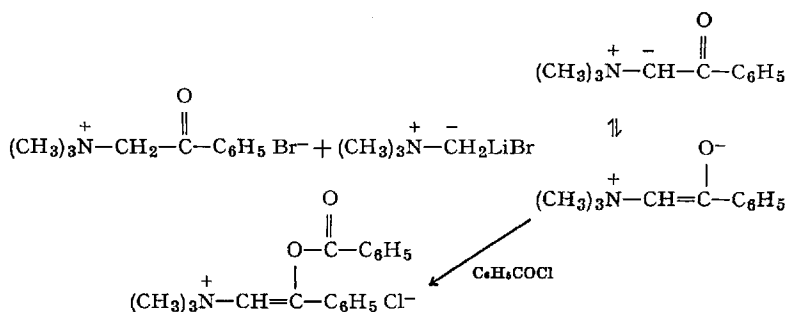
exchange reactions in the ylid is presented in Sect. III A.

C. Condensation and Displacement Reactions

The ylid can be considered as an organolithium reagent in many of its reactions. The reactions with benzophenone and other compounds containing an electrophilic carbon illustrate this behavior ¹⁵⁸).

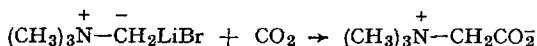


Although these reactions occur initially, secondary reactions are often observed. During the reaction of the ylid with benzoyl chloride, the following series of reactions takes place ¹³⁵).

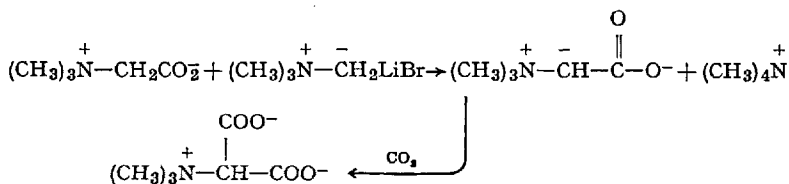


No acylation at the methylene carbon is observed.

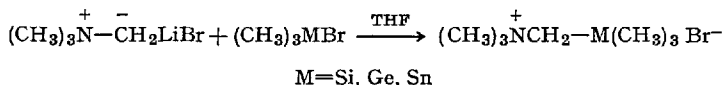
A similar sequence of reactions occurs with carbon dioxide. The first product, betaine, is the primary product if the ylid is added to CO_2 , but,



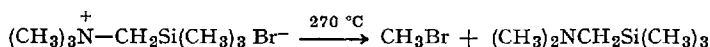
if the carbon dioxide is added to a solution of ylid in THF, the betaine reacts further to give trimethylammoniomalonate ¹⁵⁵).



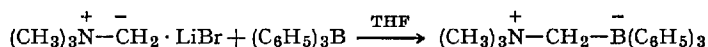
Although proton abstraction reactions often occur with alkyl halides, displacement reactions are observed when the ylid is treated with organometallics, e.g., trimethylbromosilane, trimethylbromogermane, and trimethylbromostannane ¹¹⁰).



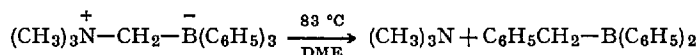
When the silicon and germanium salts are heated, N-demethylation occurs and the products are methyl bromide and dimethylaminomethyltrimethylsilane.



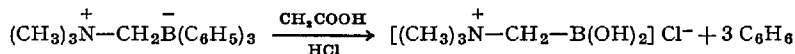
hexylborane was used as the *Lewis* acid, a 60% yield of 2,3-dimethyl-1-butanol and a 6% yield of heptanol was obtained. These results show that secondary alkyl groups migrate more readily than primary alkyl groups. The phenyl group also migrated from boron to carbon (46% yield of benzyl alcohol from triphenylborane), but no hydrogen migration was ever observed (0% methanol from either *bis*(3-methyl-2-butyl) borane or diborane) ^{106,110}). Although a simple 1-2 migration satisfactorily accounts for the observed results, a carbene mechanism is a possible alternative ¹⁰⁶. *Tufariello* and *Lee* ¹⁴⁹) have shown that similar results are obtained when the sulfur ylid, dimethylsulfoxoniummethylide, is treated with organoboranes. Although organoborane adducts of methylenetriphenylphosphorane are more stable than those of the nitrogen ylid, *Köster* and *Rickborn* ⁸⁸) reported that the migration of a phenyl group in triphenylphosphinemethylene triphenylborane can be realized if the adduct is heated in decalin. One organoborane adduct of the nitrogen ylid has recently been obtained in pure form ¹⁵). The crystalline triphenylborane adduct of **7** can be isolated if the lithium bromide adduct is treated with triphenylborane in THF at room temperature. However, if the adduct is heated in 1,2-dimethoxyethane (DME) at



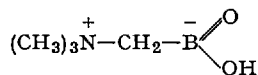
83 °C, phenyl migration can be caused to occur. One of the interesting



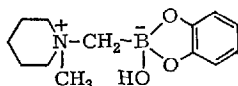
reactions of this adduct, as reported by *Bickelhaupt* and *Barnick* ¹⁵), is the reaction with acetic acid containing a small amount of hydrochloric acid. The boronic acid which forms is extremely acidic (pK = 5.6) when



compared with common boronic acids (pK = 10 ~ 11) and ionizes to give a species which is isoelectronic with betaine.



A related compound, piperidinomethaneboronic acid, has been prepared and then was converted to its catecholate ester and methylated with methyl iodide to give the betaine shown below ¹⁰⁴.

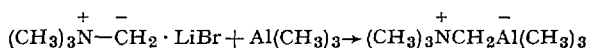


The dimethylaminomethaneboronic acid was prepared as its catecholate ester but was not methylated ¹⁰⁴.

Since hydrogen migration was not observed with borane adducts, an attempt was made to prepare the BH_3 adduct of the ylid ¹¹⁰. Although no trimethylamine was evolved from the reaction mixture, no adduct could be isolated.

2. Aluminum Containing Adducts

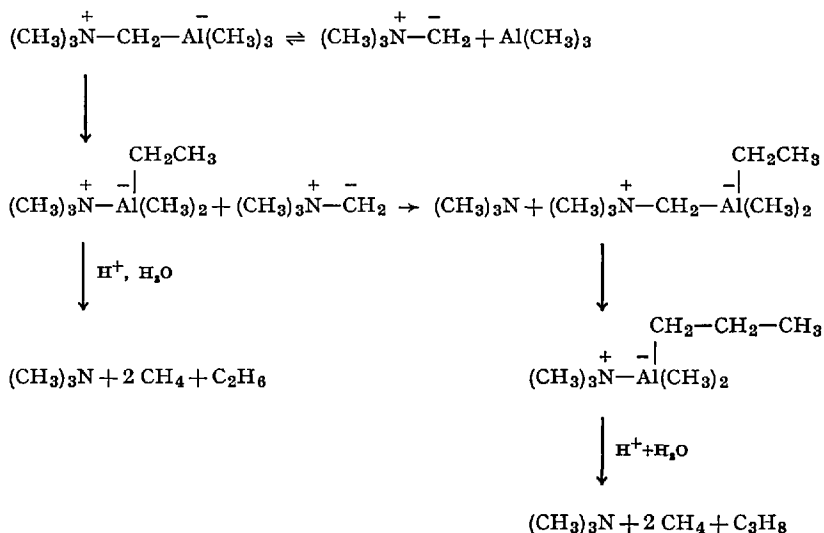
Like trialkylboranes, trialkylaluminum compounds are good *Lewis* acids which combine readily with such donors as amines, phosphines, ethers, and thioethers to give tetrahedral, four coordinated complexes that are more stable to dissociation than the corresponding trialkylborane complexes. Thus, the simplest trialkylaluminum compound, trimethylaluminum, forms a stable complex with the ylid ¹¹⁰. Since the trialkylborane adducts of trimethylammoniummethylide, methylenetriphenyl-



phosphorane and dimethylsulfoxoniummethylide apparently undergo rearrangement by alkyl group migration on heating, the migration aptitude of the alkyl groups on the trialkylaluminum adduct of trimethylammoniummethylide was studied. When the adduct is heated to 160 °C for 12 hours and hydrolyzed with concentrated HCl, a mixture of hydrocarbon gases consisting of 78% methane, 19% ethane, and 2.9% propane is obtained, indicating that methyl group migration had occurred. From this data it can be calculated that about 60% rearrangement took place. This is approximately the same yield of rearrangement products that is observed in the reactions of organoboranes.

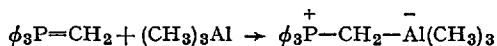
The formation of propane may be accounted for by the establishment of an equilibrium between the ylid and trimethylaluminum in the melted solid. This would allow interaction of the initially formed dimethylethyl-

aluminium with the free ylid, effecting a second alkyl group migration to give dimethylpropylaluminum, which on hydrolysis gives propane 110).



Here again a carbenoid mechanism may be invoked. An attempt to form a trihexylaluminum adduct of the ylid was unsuccessful presumably due to the increased steric requirement of the hexyl group. Similar polymerization reactions have been observed by *Tufariello* and *Lee* ¹⁴⁹) using organoborane adducts of dimethyloxosulfonium methylyde.

It is worth noting that *Schmidbauer* and *Tronich* ¹²⁷) recently prepared a trimethylaluminum adduct of methylenetriphenylphosphorane but its decomposition



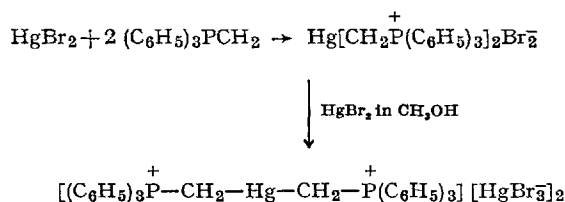
was not reported.

3. Mercury and Zinc Containing Adducts

Daniel and *Paetsch* carried out a reaction of the lithium bromide complex of trimethylammoniummethylyde with diphenylmercury to clarify the structure of the ylid in solution. Previously *Gilman* and *Jones* ⁴⁹) as well

as *Salinger* and *Dessy* ¹²²⁾ have demonstrated, that in a solution containing both lithium and mercury alkyls, an equilibrium is established in which the organic carbanions of the two alkyls are exchanged. Thus, *Daniel* and *Paetsch* ³⁹⁾, demonstrated that phenyllithium is formed (65% yield) in a reaction between the ylid and diphenylmercury and suggested that the ylid in solution reacts simply as a lithium alkyl; no attempt was made to isolate the mercurial.

When methylenetriphenylphosphorane is treated with mercuric bromide, a compound containing a carbon-mercury bond is obtained ¹³²⁾.



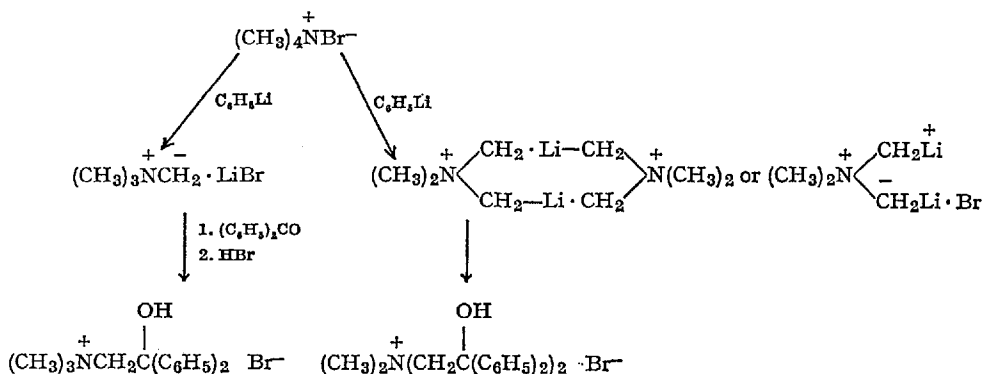
Wittig and *Schwarzenbach* ¹⁷⁶⁾ prepared the *bis*-ylid adduct of mercury by two different paths: 1) by reaction of *bis*-chloromethyl mercury with trimethylamine and 2) by reaction of the ylid with mercuric chloride.

In an attempt to isolate a similar compound by reaction of the ylid with diphenylmercury an amorphous solid was obtained whose infrared spectrum and pyrolysis products were consistent with the expected *bis*-ylid but which did not give a satisfactory analysis. The zinc adduct was also prepared ¹⁷⁶⁾ from *bis*-chloromethylzinc and trimethylamine and from the ylid and zinc chloride, but zinc derivatives were not isolated from the reaction of the ylid with dipentyl zinc ¹¹⁰⁾.

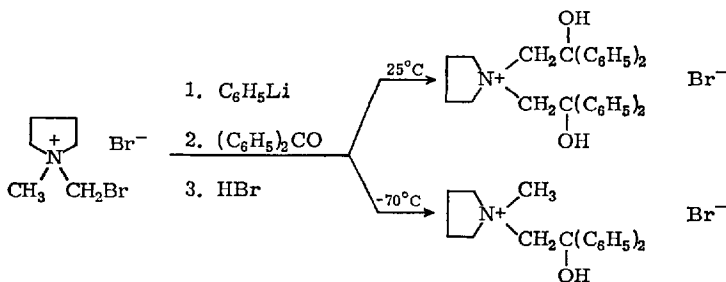
E. Dimetalation Reactions

A complicating factor arises in the preparation of the ylid from tetramethylammonium bromide and phenyllithium if the lithium reagent is used in a large excess, or if a small excess is allowed to remain in contact with the ammonium salt for extended periods of time. *Wittig* and *Reiber* ¹⁶⁵⁾ found that treatment of tetramethylammonium bromide with two equivalents of phenyllithium in ether produced a product mixture which

reacted with benzophenone in tetrahydrofuran to yield a monoaddition compound as well as a *bis*-addition compound after hydrolysis with hydrobromic acid.



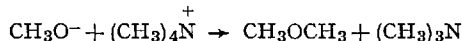
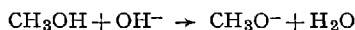
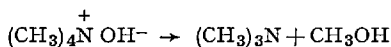
Further investigation showed that the species thought to be a *bis*-ylid is quite soluble in ether whereas the mono-ylid is ether-insoluble. Increasing the time of contact of equivalent amounts of phenyllithium and the ammonium salt before addition of benzophenone led to a decrease in the amount of monoaddition compound formed. This appears to indicate a gradual conversion of the mono-ylid into the *bis*-ylid. More recently, *Wittig* and *Tochtermann*¹⁷⁵⁾ demonstrated that *bis*-ylid formation is a general process by isolating the *bis*-adduct of benzophenone with the ylid prepared from *N*-methyl-*N*-bromomethylpyrrolidinium bromide with excess butyllithium at room temperature. If the ylid is prepared and reacted at -70°C , only the mono-adduct of benzophenone is formed. *Bis*-ylids have also been proposed in reactions of benzyl substituted quaternary ammonium salts. (See Sect. VIA)



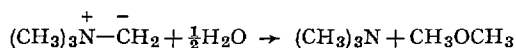
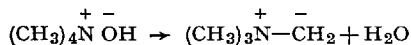
III. Reactions of the Tetramethylammonium Ion with Other Strong Bases

A. Hydroxide and Alkoxides

In 1881, *Hofmann* ⁶⁹⁾ reported that the thermal decomposition of tetramethylammonium hydroxide gives trimethylamine and methanol. In 1964, a study by *Musker* ¹⁰⁵⁾ showed that the products resulting from the "dry" decomposition of tetramethylammonium hydroxide at 135–140 °C were trimethylamine and dimethylether. Only a trace of methanol was observed. Trace amounts of dimethyl ether was reported as a product of the pyrolysis of cyclohexylmethyl- β -d-trimethylammonium hydroxide and its formation was explained by a three step mechanism involving a sequence of S_N2 reactions ³¹⁾. An analogous mechanism for the decomposition of tetramethylammonium hydroxide, which would account for the observed products, was proposed by *Tanaka, Dunning, and Carter* ¹⁴²⁾.

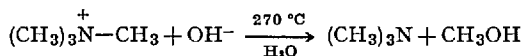


Although this mechanism adequately accounts for the products, it is somewhat surprising that more methanol is not observed. Since strong bases have been shown to cause proton abstraction from the tetramethylammonium ion, and other quaternary ammonium ions undergo hydrogen exchange with hydroxide in concentrated solution, an alternative ylid mechanism can be considered. Decomposition of the resulting ylid in the presence of a minimum amount of water could give the observed products.



Perhaps the best rationalization for the formation of dimethylether rather than methanol is that the ether is the first product formed which could be evolved from a highly basic polar medium. Both water (hydroxide) or methanol (methoxide) would be expected to be retained in

the solid (or semi-solid) mass. Methanol is the exclusive product, if the decomposition is carried out in the presence of excess water in a sealed tube at 270 °C ¹⁴²).



In a study of the hydrogen exchange between the tetramethylammonium, tetramethylphosphonium and trimethylsulfonium ions and D₂O at 100 °C in the presence of dilute base (0.3 M), *Doering and Hoffman* ⁴³) observed that exchange in the phosphonium and sulfonium salts readily occurs whereas negligible exchange (1.5 atm % in 358 hrs) occurs in the ammonium salt. They attributed the facile exchange in the phosphonium and sulfonium salts to stabilization of the ylid (anion) by the *d*-orbitals of the central element thus making the protons more acidic. Since the nitrogen atom does not have *d*-orbitals available, the ylid is not stabilized and the protons are much less acidic. The small amount of exchange was attributed either to ylid formation and reprotonation or to a concerted reaction with no free ylid formed.

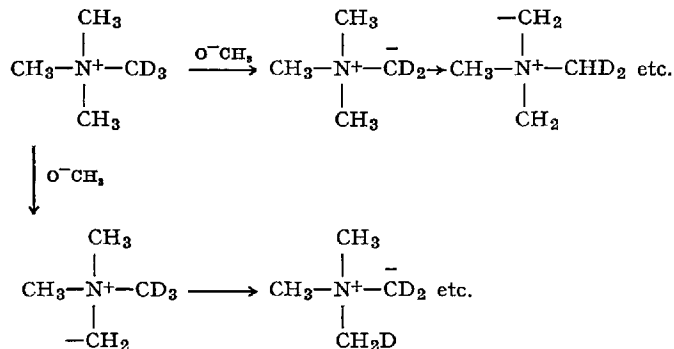
Tanaka, Dunning, and Carter ¹⁴²) also studied this reaction and found that even at elevated temperatures in a sealed tube, the methyl hydrogen atoms of the tetramethylammonium ion did not exchange with solvent in dilute solution (0.6 M). Under these conditions the tetramethylammonium ion decomposes to give trimethylamine and methanol but no deuterium is incorporated into either the starting material or the products. Thus, the hydroxide ion in dilute solution does not behave as a proton abstracting agent. Although the tetramethylammonium ion will not undergo proton exchange with D₂O in dilute base, *Leitsch* ¹³⁹) observed that exchange does occur if the reaction is carried out using a more concentrated solution (3 M) in a sealed tube at 130 °C and suggested that a repetitive exchange is useful for preparing the completely deuterated tetramethylammonium ion. Although some of the material decomposes to trimethylamine during the exchange, the other products were not identified.

Evidence concerning the acidity of the carbon atoms of the tetramethylammonium ion has been discussed by *Doering and Hoffman* ⁴³) and by *Cram* ³⁵). Deuterium exchange in the tetramethylammonium ion in deuterated water at 83 °C proceeds with a rate constant of $9.4 \times 10^{-10} \text{ sec}^{-1}$. In *t*-butyl alcohol-O-d at 50 °C, the rate constant is about 10^{-7} sec^{-1} . Thus the exchange rate is about 10^{-2} slower than the exchange rate in 3-phenyl-1-butene, which indicates that the acidity of the methyl protons in the quaternary salt is comparable to triphenylmethane

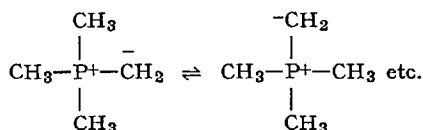
($pK_a = 33$) on the MSAD scale ³⁵). This value, which is slightly lower than the value for toluene ($pK_a = 35$), seems to be in conflict with the observation that benzylium does not cause deprotonation. However, it is suggested ³⁵) that the lack of reaction with benzyl sodium may reflect an extremely slow proton transfer rather than an unfavorable free energy for the reaction.

In order to examine the last step proposed in the S_N2 mechanism for the decomposition of tetramethylammonium hydroxide, the decomposition of several tetramethylammonium alkoxides — in particular tetramethylammonium methoxide — were investigated ¹⁰⁹). The decomposition of mixtures of solid tetramethylammonium bromide with potassium methoxide, *t*-butoxide and triethyl carbinolate were carried out at 200 °C, in the absence of solvent. In all cases the predominant product was the ether, but a 20–25% yield of the corresponding alcohol was observed, indicating that some proton abstraction must have occurred. The steric requirement of the base did not affect the overall yield and the relative amount of ether and alcohol that was obtained.

Further insight into the course of the reaction was sought by a detailed examination of the decomposition of tetramethyl-1,1,1- d_3 -ammonium methoxide in the absence of solvent ¹⁰⁹). If ylid formation occurs, deuterium scrambling will be observed and the resulting ether will be composed of CH_3OCH_3 , CH_3OCDH_2 , CH_3OCD_2H , and CH_3OCD_3 . When the decomposition was carried out at several temperatures between 80 °C and 200 °C, deuterium scrambling in the ether was always observed and both methanol and methanol-*d* were obtained. The extent of scrambling was greater at low temperature than at high temperature suggesting that ylid formation is important at low temperature and that an S_N2 reaction may become important as the temperature is increased. It is also possible that proton abstraction occurs at high temperature but the ylid decomposes before intramolecular hydrogen scrambling can occur.



Analogous intramolecular hydrogen migration has been reported in methylenetriethylphosphorane at 100 °C by *Schmidbaur* and *Tronich* ^{127,128,129} using nmr spectroscopy. A similar migration is also reported for trimethylsulfonium methyllide. Since the methylenetriphenylphos-



phorane is stabilized by resonance, the nitrogen ylid might be expected to undergo exchange at a much lower temperature.

An alternative explanation for the scrambling of hydrogen involves an intermolecular exchange. Although this possibility cannot be eliminated, the decomposition of tetramethyl-1,1,1-*d*₃-ammonium methoxide in methanol solution led to a mixture of deuterated ethers which was similar to that observed in the dry salt. If an intermolecular exchange was occurring, more of the deuterium should have been incorporated into the solvent rather than equilibrating between ammonium ions.

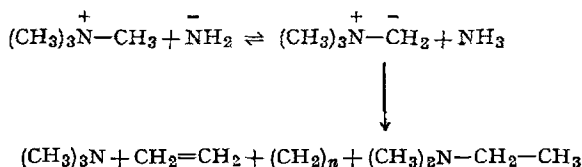
Although some ylid formation undoubtedly occurs in these decompositions, it is not known whether the ether is formed by a carbenoid insertion into the O-H bond of the alcohol ^{14,82}) or by reprotonation of the ylid followed by nucleophilic attack of methoxide. Although other ylid decomposition products were sought, no evidence for their existence was observed ¹⁰⁹). Several other reactions between alkoxides and the tetramethylammonium ion have been reported. The β -naphthoxide gives an 80% yield of the methylether on decomposition at 110 °C whereas the triphenylcarbinolate gives a 37% yield of the methylether and a 37% yield of the carbinol in boiling dioxane at 102 °C ¹⁶²).

B. Amides

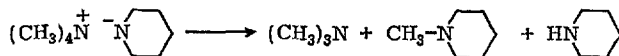
Amide ions have been used for many years to induce proton abstraction reactions and therefore might be expected to react with the tetramethylammonium ion in a similar way. In 1935, the decomposition of tetramethylammonium amide in liquid ammonia was initially reported by *Franklin* ⁴⁴) to give trimethylamine and methylamine but no experimental details were given. Later, *Hazlehurst*, *Holliday*, and *Pass* ⁶³) repeated *Franklin's* experiment ⁴⁴) and noted that a trace of ethylene was evolved. During later attempts to prepare solid tetramethylammonium amide, a

violent explosion sometimes occurred as the last trace of ammonia was removed from the solid ^{107,112}).

In a study of the decomposition of tetramethylammonium amide, *Musker* ¹⁰⁷) found that the decomposition could be controlled and several products were detected when the ammonia solvent was removed at low temperature. The products isolated are those expected if the reaction proceeds *via* a nitrogen ylid, *e.g.*, trimethylamine, ethylene, polymethylene, and dimethylethylamine.



Wittig, Heintzeler, and Wetterling ¹⁶²) reported that the decomposition of tetramethylammonium piperidide gave 30% piperidine and 45% N-methylpiperidine. Thus, it appears that some proton abstraction occurs,

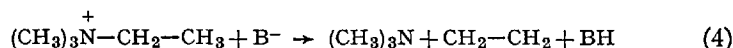
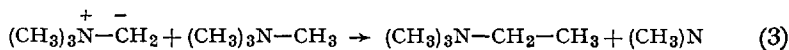
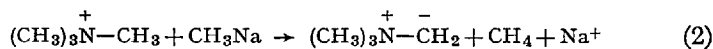
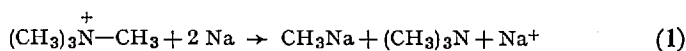


since piperidine is formed, but no ethylene, polymethylene or dimethylethylamine were observed.

C. Alkali Metals in Dioxane ⁵²⁾

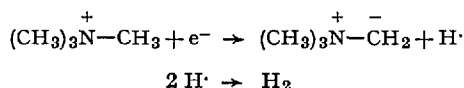
The reductive cleavage of quaternary ammonium salts to give a tertiary amine and a hydrocarbon by reaction with sodium amalgam in hydroxylic solvents is called the *Emde* degradation. However, saturated hydrocarbons are not cleaved under these conditions. *Grovenstein* suggested that the reason for this unreactivity is due to the fact that the sodium reacts with the alcohol much faster than with the ammonium salts. However, by operating in dioxane or dioxane-alcohol mixtures, the dealkylation reaction could be accomplished. The products of the decomposition of either tetramethylammonium chloride or bromide are methane, ethylene, trimethylamine, and dimethylethylamine.

The mechanism proposed for this reaction was written as follows:

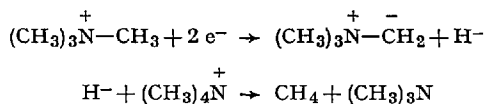


The route to dimethylethylamine was not discussed, but probably involves a *Stevens* rearrangement of the ylid or methyl group displacement subsequent to step (3). Alkylation of the ylid by the tetramethylammonium ion followed by a β elimination of ethyltrimethylammonium ion (Step 4) was suggested by *Wittig* and *Krauss*¹⁷⁹⁾ to account for the formation of ethylene¹⁷¹⁾.

In the course of this reaction no hydrogen gas was observed, although under the experimental conditions it could not have been detected. If hydrogen gas is also evolved along with methane, then ylid formation may have occurred by the reaction of an electron with the tetramethylammonium ion.



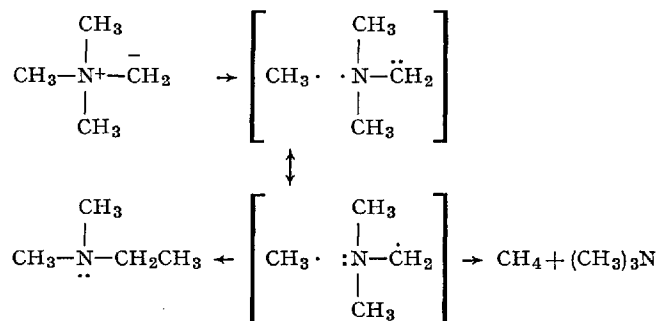
Actually a two electron reduction leading to the hydride ion can also be postulated even if hydrogen gas is not observed, since the hydride ion probably would react with the tetramethylammonium ion



to give methane under the conditions of the reaction. For example, lithium aluminium hydride demethylates quaternary ammonium salts in ether to give methane³³⁾.

Substituents larger than the methyl group were also examined in this study⁵²⁾ and both olefin formation and reductive cleavage was observed. It is worth noting that the distribution of products was quite dependent on the anion.

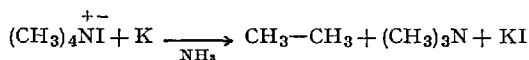
Radical intermediates in this reaction were not proposed; however, in light of recent studies of radical intermediates ⁹⁸⁾ in various ylid decomposition processes, this possibility should be examined. (Sect. VI. C.)



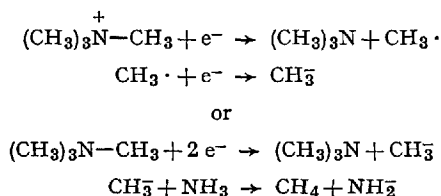
D. Alkali Metals in Liquid Ammonia

The reaction of metallic sodium and potassium in liquid ammonia with tetraalkylammonium salts was initially studied by *Thompson and Cundall* ¹⁴³⁾ and extended by *Grovenstein* and coworkers ^{53,54,55)} and by *Hazlehurst, Holliday, and Pass* ⁶³⁾.

During an attempt to prepare the tetramethylammonium radical, *Thompson and Cundall* ¹⁴³⁾ reported that the reaction of tetramethylammonium iodide with potassium in liquid ammonia gave trimethylamine, ethane, and potassium iodide, but no methane.



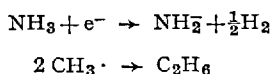
Grovenstein and Stevenson ⁵³⁾ reported that the reaction of the bromide salt with sodium in liquid ammonia at -33°C gives only trimethylamine and methane with a trace of ethylene. No hydrogen gas or dimethylethylamine were reported but they might have escaped detection under the experimental conditions employed. Based on product analysis, the following mechanisms were suggested in which either methyl radicals or methyl carbanions are formed.



In the reactions of sodium in liquid ammonia with quaternary ammonium salts with different alkyl groups the methyl group is always cleaved first (except for the *t*-butyl group). This behavior is similar to LAH reductions ³³⁾ and to thermal decompositions of halide salts ⁹²⁾.

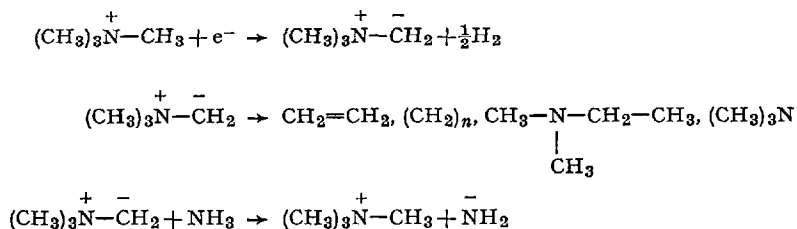
Hazelhurst, Holliday, and Pass ⁶³⁾ also studied this reaction, but their conditions were slightly different — potassium in liquid ammonia at -78°C on a vacuum line. The main difference between their results and those reported by *Grovenstein* is that hydrogen gas is observed along with traces of ethane and ethylene but no dimethylethylamine. The other products were the same.

The reactions proposed by these workers are similar to those proposed by *Grovenstein* ⁵³⁾, except that they attribute some of the hydrogen gas to ammonia decomposition and the ethane to a recombination of methyl radicals formed in the reaction.



It is worth noting that the yield of hydrogen is greater when the bromide and iodide salts are used rather than the chloride. To explain the formation of ethylene, an ylid was postulated which was formed by attack of an electron on the tetramethylammonium ion. It was assumed ⁶³⁾ that the ylid was stable and did not decompose to give ethylene nor rearrange to give dimethylamine — an assumption which was later shown to be incorrect ¹⁷⁹⁾.

Therefore an ylid mechanism satisfactorily accounts for the ethylene, hydrogen, and amide ion which is produced.



It is unfortunate that no polyethylene or dimethylethylamine was observed since this would have helped to substantiate the presence of the ylid.

The formation of methane was explained ⁵³⁾ by the generation of a methyl carbanion which reacts with solvent. The reaction of the methyl carbanion with the tetramethylammonium ion could account for the

traces of ethane observed *Hazlehurst, Holliday, and Pass* ⁶³⁾. Alternatively recombination of methyl radicals or reductive cleavage of the trimethyl-ethylammonium ion (formed by alkylation of the ylid by the tetramethylammonium ion) could also account for the ethane.

Several alkyltrimethylammonium salts were also examined in this study ⁵³⁾. The predominant reaction is reductive cleavage to give the alkane and tertiary amine. In the discussion of the mechanism of the reaction, it was suggested ⁵³⁾ that methyl and other primary alkyl groups cleave from nitrogen as carbanions while secondary and tertiary alkyl groups cleave as free radicals (see Sect. VI. C. for further discussion of radical cleavage reactions).

IV. Reactions of the Tetramethylammonium Ion with Weak Bases

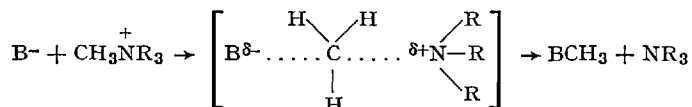
The thermal decomposition of a variety of tetramethylammonium salts of weak bases has been studied and the major product is generally the methylated anion ⁹²⁾. The temperature required to decompose the bromide and chloride salts to trimethylamine and the methyl halide is near 360 °C and the products recombine on cooling. The fluoride salt decomposes at a much lower temperature (180 °C) and the products do not recombine ⁹²⁾. Decomposition of the borohydride salt at 225 °C gives trimethylamine borane and methane ¹¹⁾.



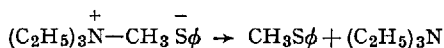
Robb and Westbrook ¹¹⁹⁾ heated a variety of carboxylate salts (180–250 °C) to give the methyl esters in high yield. The decomposition of the salts of other weak bases (NO_3^- , SO_4^{2-} , $\text{C}_2\text{O}_4^{2-}$, citrate, malonate, etc.) was also studied but complex mixtures of products were obtained which were not fully characterized.

Recently *Wilson and Joule* ¹⁵⁸⁾ studied the demethylation of a variety of quaternary ammonium acetates in aprotic solvents. Earlier *Lawson and Collie* ⁹²⁾ showed that the decomposition of solid tetramethylammonium acetate at 180–200 °C gives the methyl ester in good yield. However, the use of an aprotic solvent significantly lowers the temperature (60–140 °C) required for decomposition. This reaction is most useful for the demethylation of aromatic quaternary ammonium salts that are soluble in benzene or benzene-chloroform mixtures. Its application to aliphatic quaternary ammonium salts requires a longer time, although *N,N*-dimethylpiperidinium acetate was demethylated at 100 °C in xylene-

acetonitrile solvent to give an 88% yield of N-methylpiperidine. The addition of 1% methanol resulted in no reaction. The reaction is faster in solvents with low dielectric constant. An explanation for the superiority of non-polar solvents is attributed to their poor solvation of the starting materials relative to the less ionic transition state for demethylation.

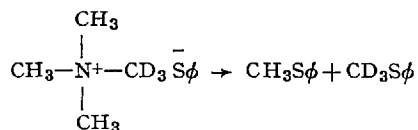


The reaction of *thiophenoxide* with simple quaternary ammonium salts was reported by *Shamma, Deno, and Remar* ¹³⁴⁾ in 1966. They reported that the dealkylation of triethylmethylammonium thiophenoxide could be achieved in ~95% yield by heating the salt to 80 °C for 19 hours in solvents such as 2-butanone or acetonitrile or by heating the dry salt for 2 hours. Demethylation was far more prevalent than deethylation by a factor of 3 and no ethylene was produced.



However, *McKenna* and coworkers ¹⁰³⁾ have reported that in heterocyclic N-ethyl-N-methyl quaternary ammonium salts, the extent of demethyl and deethylation with thiophenoxide in triethyleneglycol depends on the orientation of the group and not necessarily on its size. Since no ethylene is produced, the reaction probably proceeds by a pure S_N2 reaction without hydrogen scrambling and therefore without ylid formation.

To test this conclusion, the decomposition of tetramethyl-1,1,1-*d*₃-ammonium thiophenoxide was studied ¹¹¹⁾. The decomposition of the dry salt was carried out on a vacuum line giving a 3 to 1 mixture of pure methylphenyl sulfide and trideuteromethylphenylsulfide without any proton scrambling.

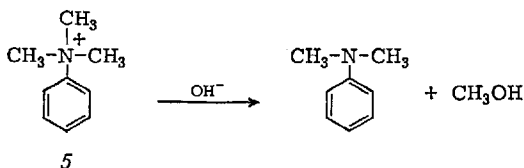


Since thiophenoxide apparently reacts by a pure S_N2 process, the reaction of other good nucleophiles with the tetramethylammonium ion probably proceeds in a similar way.

Several other reagents have been used to affect demethylation, such as lithium iodide ⁷⁰⁾, ethanolamine ⁷⁴⁾, and morpholine ¹²⁾. With these reagents, simple displacement reactions are observed.

V. Ylids from Phenyl Substituted Quaternary Ammonium Salts

Under conditions of the *Hofmann* degradation (heating an aqueous solution of the hydroxide until the water is evaporated and decomposition occurs), trimethylphenylammonium hydroxide (*5*) demethylates exclusively to give *N,N*-dimethylaniline and methanol ²⁷⁾.

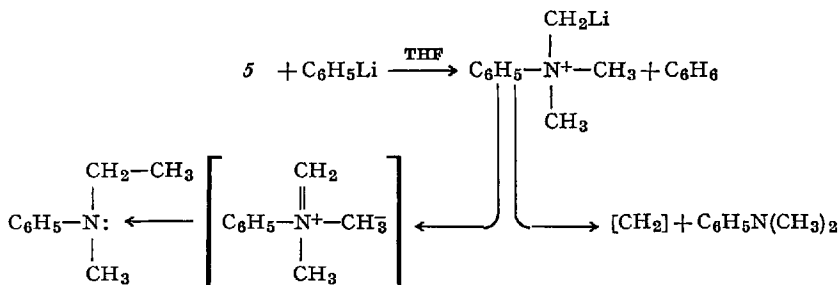


When *5* is treated with amide ion in liquid ammonia, *N,N*-dimethylaniline, methylamine, trimethylamine, and aniline are formed ¹²⁰⁾. No evidence for proton abstraction from the methyl group was noted, but

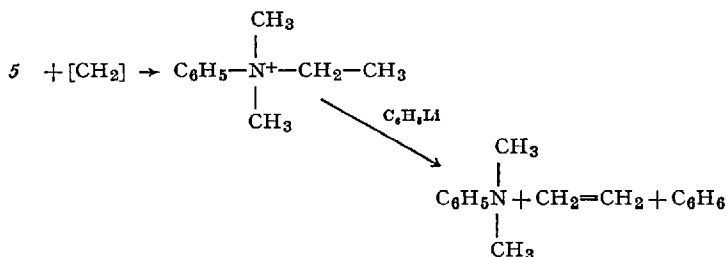


proton abstraction from the ring to give benzyne was observed ¹²⁰⁾. When *5* is treated with phenyllithium in THF, reaction occurs rapidly with the formation of benzene, trimethylamine, *N,N*-dimethylaniline, and *N*-methyl-*N*-ethylaniline ¹⁵⁷⁾. Biphenyl and small amounts of ethylene and acetaldehyde were also observed.

The formation of *N*-methyl-*N*-ethylaniline and benzene can be explained by a proton abstraction followed by a *Stevens* rearrangement of the methylene ylid ¹⁵⁷⁾. An immonium ion pair

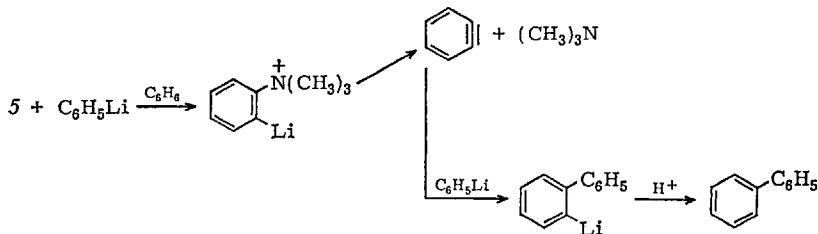


was suggested as the intermediate leading to N-methyl-N-ethylaniline. Since no toluene was observed, the N,N-dimethylaniline could not have resulted from a displacement reaction and must be formed by decomposition of the ylid. Dimerization of the carbene to give ethylene is unlikely, but if the carbene inserts into the C-N bond of **5**, ethylene could result from an α' - β elimination (Sect. VII) of the dimethylethylphenylammonium ion by phenyllithium ¹⁵⁷.



Alternatively, the N-methyl-N-ethylaniline could also be accounted for by carbene insertion into the C-H bonds of dimethylaniline ⁴⁵. However, carbon-14 labeling experiments have shown that the ethylene arises from the methyl group and also from the cleavage of the THF by phenyllithium ¹⁵⁷.

Since considerable trimethylamine was observed, the fate of the phenyl group was examined. It was determined by carbon-14 labeling, that biphenyl results from the reaction of phenyllithium with **5**. However, it is most unlikely that the phenyl group can be displaced by phenyllithium in an $\text{S}_{\text{N}}2$ reaction. Therefore, it was suggested ¹⁵⁷ that proton abstraction occurs at the *ortho* carbon of the benzene ring to give *benzyne* which subsequently reacts with phenyllithium to give biphenyl.



To test for the presence of a benzyne intermediate, the reaction was carried out in the presence of lithium thiophenoxide. The reaction pro-

ceeded much slower and diphenylsulfide was found as one of the products of the reaction. The thiophenoxide salt must have reacted with benzyne to form this product for it does not react with **5** in the absence of phenyllithium.

Recently methyltriphenylammonium tetrafluoroborate was prepared from triphenylamine and trimethyloxonium fluoroborate. Demethylation was affected by butyllithium in hexane or methylene chloride and with phenyllithium in benzene or ether. No evidence for biphenyl or diphenylmethylamine was noted and only triphenylamine was characterized. In demethylation reactions with potassium methoxide in methanol-O-d, no exchange of methyl hydrogen for deuterium was observed. Thus, no proton abstraction processes occurred in these decompositions ¹¹⁴.

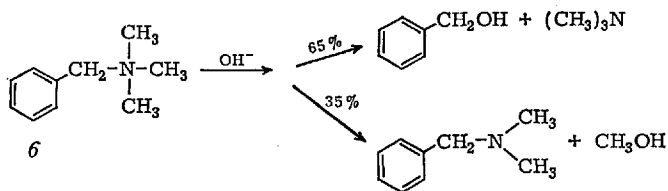
VI. Ylids from Benzyl and Benzhydryl Substituted Quaternary Ammonium Salts

In recent years the reactions of basic reagents with quaternary ammonium salts containing the benzyl and benzhydryl groupings have received extensive study. It is useful to examine these reactions for the existence of ylids and to note the variety of ways in which they react.

This section will not include a complete discussion of benzyl substituted quaternary ammonium salts since several reviews of these compounds are currently available ^{10,30,183}.

A. Benzyl Substitution

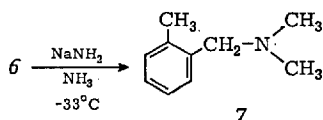
Historically, *Hughes* and *Ingold* ⁷¹ reported in 1933, that the *Hofmann* degradation of benzyltrimethylammonium ion **6** gives mainly displacement products.



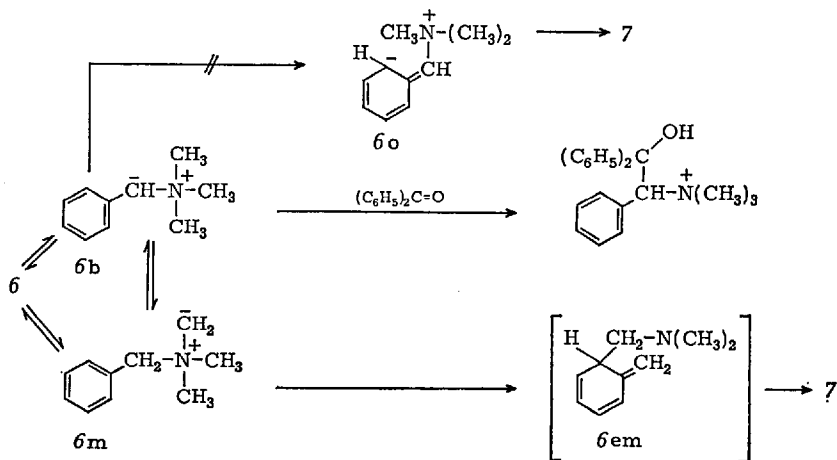
The methanol was determined qualitatively and trace amounts of benzaldehyde and dibenzylether were also detected. No evidence for any rearrangement products was found. From these observations the

reaction seems to be similar to the decomposition of tetramethylammonium alkoxides and hydroxide, but since no proton scrambling experiments have been performed, it is difficult to ascertain whether proton abstraction occurs in this reaction. It is worth noting also that no dimethyl ether was reported, although this product could have escaped detection under the conditions of the reaction.

On treatment with sodium amide in liquid ammonia, **6** undergoes a *Sommelet* rearrangement ^{13b)} (*ortho*-rearrangement) ⁸¹⁾ to give **7** in 80–90% yield. *Kantor* and *Hauser* ⁸¹⁾ initially postulated an ylid mechanism



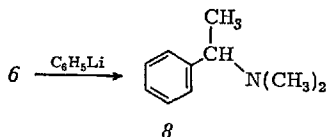
to explain the formation of the product. Subsequently, carbon-14 experiments ^{79,80)} proved that the *ortho*-methyl group in **7** was indeed the benzyl carbon atom of **6** and it was suggested that the methylene ylid δ_m undergoes a nucleophilic attack at the *ortho*-carbon of the benzene ring (δ_{em}),



rather than isomerizing to **6o** which undergoes a nucleophilic attack at the N^+-CH_3 group. Later *Puterbaugh* and *Hauser* ¹¹⁸⁾ attempted to trap the intermediate methylene ylid δ_m by condensation with benzophenone at $-80^\circ C$, but they only succeeded in isolating the adduct of the more stable benzyl ylid **6b**. Since the benzyl ylid **6b** is known to give **7** on warming to $-33^\circ C$, an inter- or intramolecular ylid equilibrium was

proposed to give *6m* which then reacts rapidly to give 7. Using deuterium labeling, *Pine* ¹¹⁶⁾ observed the equilibration of protons between the benzyl and methyl groups in this reaction.

The reaction of *6* with phenyllithium was reported ¹⁶⁴⁾ to give the *Stevens* rearrangement product *8* as the only rearrangement product along with a small amount of 1,1,2-triphenylethane. It was suggested that *8* is formed *via* the benzyl ylid intermediate *6b*. In a later study,



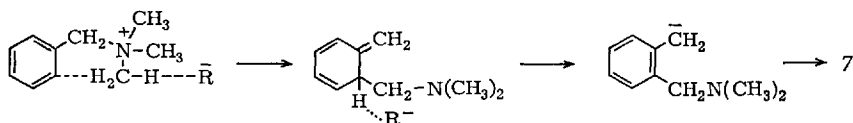
in which the effects of various organolithium reagents were studied, *Lepley* and *Becker* ⁹⁵⁾ observed that both 7 and 8 were formed in the reaction of *6* with phenyllithium and that 8 was formed in the greater amount.

However, when *n*-butyllithium was used, twice as much 7 as 8 was observed. With *sec*-butyllithium a similar ratio of products was noted, but the overall yield of rearranged amines was lower. It was noted ⁹⁵⁾ that the anion may influence this reaction just as it does in the reaction of tetraalkylammonium salts. For example, the iodide of *6* was much less reactive than the chloride when treated with *n*-butyllithium in pentane, but differences in solubility may account for these observations.

In general it was found ⁹⁵⁾ that the overall yield of rearrangement products increases with increasing basicity of the organolithium reagent with the exception of *sec*-butyllithium where steric effects may be important. However, the ratio of 7/8 using the various organolithium reagents decreases in the series *n*-butyl > *sec*-butyl > methyl > phenyl. This order is not in line with differences in basicity and other factors must be operating to account for the observed trend.

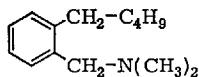
Therefore it was suggested ⁹⁵⁾ that rearrangement must be faster than ylid equilibration and that the initial proton abstraction step is the rate determining step which controls the product distribution.

In this situation of a slow methyl ylid formation and fast rearrangement, the ylid mechanism is not distinct from a concerted mechanism and perhaps is less favorable. The following mechanism, which does not involve a free ylid, was then proposed for the formation of 7 ⁹⁵⁾.

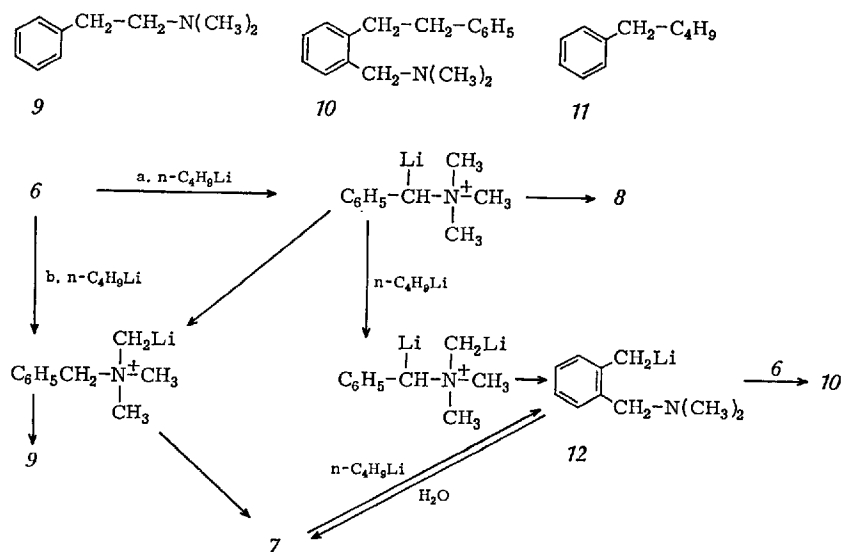


However, it was suggested that **8** was formed from the benzyl ylid since its presence had been demonstrated by the trapping procedure ⁹⁵).

The presence of an exomethylene cyclohexadiene (*6em*) in the reaction of **6** with butyllithium in hexane at 25 °C was substantiated by *Pine and Sanchez* ¹¹⁷), who isolated the following compound, presumably formed by the attack of butyllithium on the exomethylene group.

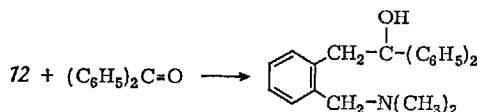


In a similar study, *Klein, Van Eenam, and Hauser* ⁸³) reported the reaction of **6** with butyllithium in ether-hexane at 0–5 °C. Under these conditions, several products, **9–11**, which were not detected in previous work, were obtained in small amounts. The following sequence of reactions was proposed to account for the products.



This mechanism differs from the preceding mechanism primarily in that the lithium ion is used to stabilize the ylid and a dilithium reagent is thought to be the intermediate leading to **7** and **10**. The existence of dilithium reagents has been noted in the reactions of the tetramethylammonium ion with excess phenyllithium in ether ¹⁷⁰) and it is quite possible that they can be formed here.

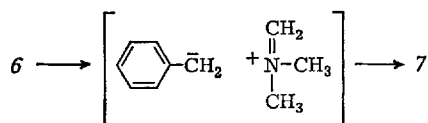
The existence of a dilithium reagent was suggested partly because *12* could be trapped with benzophenone.



However the isolation of this compound cannot be used as definite evidence for *12*, since *7* can also be metallated by butyllithium to give *13* under the reaction conditions. However, when *12* is used as the base in the reaction, the major product is *8* rather than *7* ⁸³⁾. This would be expected since *12* is a much weaker base than butyllithium and would not be as capable of abstracting a proton from the N^+-CH_3 group to give the required dilithium reagent.

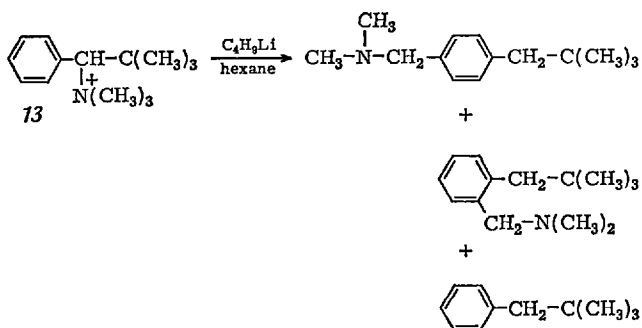
The existence of the methyl ylid under these experimental conditions receives support from the formation of *9* which was characterized by the g.c. peak enhancement technique ⁸³⁾. The precursor of *9* must have been *6m* which undergoes a *Stevens* rearrangement with benzyl migration to give *9*. The absence of *9* under *Lepley* and *Becker's* conditions ⁹⁵⁾ was one of the reasons that they ruled out the existence of the free ylid. It is unfortunate that neither the methyl ylid nor its lithio derivative could be trapped. It is also worth noting that in this formulation of the ylid, the anion is not included as it is throughout the discussion of trimethylammoniummethyllide.

Recently *Klein* and *Hauser* ⁸⁴⁾ used the *dimethylsulfinyl carbanion* to convert *6* to *7* in 81–85% yield. This method is far more convenient for the synthesis of *7* than the sodium amide method, for the yield is comparable and the reaction can be carried out at room temperature. *Lepley* and *Brodof* ⁹⁷⁾ reported another method of preparing *7* in good yield. Their technique consisted of treating the ether soluble *p*-(*tert*-butyl)phenoxide salt of *6* with butyllithium at low temperature (0–15 °C). An 88–92% yield of *7* was obtained under these conditions. At higher temperatures, however, the amount of *8* increases with decreasing *7*. In this later work it was suggested ⁹⁷⁾ that two different paths lead to *7* and *8*. The benzyl ylid is the precursor to the *Stevens* product *8* as suggested earlier. However, an ion pair intermediate is the precursor to *7*.



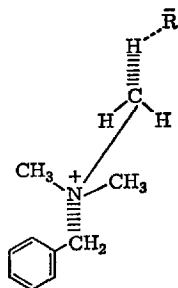
This suggestion receives support from the fact that the yield of 7 increases as the solvent polarity is changed from ethers to DMSO in keeping with a greater charge separation in the ion pair than in the ylid.

Pine ¹¹⁵⁾ reported the first example of a *para*-Sommelet-Hauser rearrangement by using α -phenylneopentylammonium salts. The yield of *para*-rearrangement product varies from 0 to 10%, depending on the anion and the solvent.



An internal ion pair mechanism was proposed to account for the *para*-rearrangement product ¹¹⁵⁾ but since the yield is rather small, the ion-pair could dissociate and then recombine in hexane solvent rather than recombine within the solvent cage.

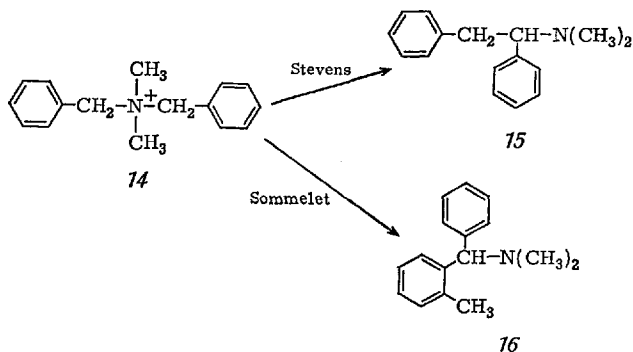
The transition state leading to an ion-pair intermediate may be the free ylid δ_m ; however, proton abstraction from a methyl group with concomitant cleavage of the $\text{N}^+-\text{CH}_2\text{C}_6\text{H}_5$ bond gives the same ion pair without the existence of a free ylid.



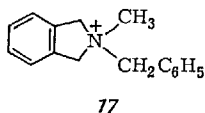
The difference between these two mechanisms lies in the relative amount of C-H and N-C bond breaking in the transition state ²⁴⁾. Further discussion on the formation of ion pairs will be presented later. (Sect. VI.D.)

B. Dibenzyl Substitution

In the reaction of dibenzyl dimethyl ammonium iodide **14** with a) sodium amide in liquid ammonia, b) phenyllithium in ether, and c) fused sodium amide at 145 °C ¹⁴⁵⁾, the relative amount of the Stevens product, **15**, ¹⁶⁰⁾ to *ortho*-substitution product, **16**, increases with increasing temperature ⁵⁹⁾.



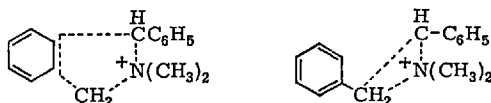
An extensive study of the temperature dependence on product distribution was carried out by Wittig and Streib ¹⁶⁹⁾ on a similar compound, **17**.



Variation in *ortho*-Substitution and Stevens Rearrangement Products from **17** ¹⁶⁹⁾

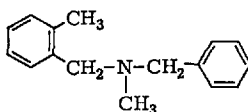
	Temp. [°C]	<i>ortho</i> - Substitution Product	Stevens Product
NaNH ₂ (NH ₃)	-33	87	—
φLi (Et ₂ O)	20-30	67	—
NaOEt (EtOH)	80	—	44
φLi (Bu ₂ O)	120	—	41
Hofmann dec.	180	—	33

By an analysis of the ratio of the rate constants for the two competing reactions of the dibenzyltrimethylammonium ion, *Zimmerman* ¹⁸³⁾ concludes that the entropy of activation for the *ortho* rearrangement must be more negative than for the *Stevens* rearrangement. Since a five-membered activated complex is required for the *ortho*-rearrangement, whereas only a three-membered activated complex is necessary for the *Stevens* rearrangement, this result is expected.



By invoking a quantum mechanical argument for the energy of the activated complex, *Zimmerman* ¹⁸³⁾ accounted for the fact that the enthalpy of activation of the *Stevens* rearrangement must be greater than the *ortho* rearrangement. In the model proposed by *Zimmerman*, the activated complex is described as the merging of a benzyl carbanion and an immonium cation. Using the LCAO coefficients for the non-bonding MO in the benzyl carbanion and the anti-bonding MO of the immonium cation, the energy of the transition state leading to the *Stevens* product was calculated to be greater than the transition state leading to the *ortho* rearrangement.

When *14* is treated with butyllithium in hexane ⁹⁶⁾ the rearrangement product *18* is found in appreciable yield in addition to *15* and *16*. This product results from an *ortho*-rearrangement involving the migration

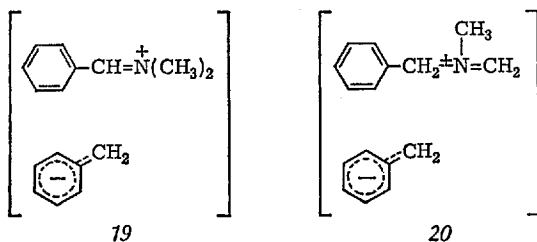
*18*

of a methyl ylid rather than a benzyl ylid. Although the rearrangement products are the most interesting compounds obtained, the major products are *N,N*-dimethylbenzylamine and *n*-pentylbenzene. These products are found in equivalent amounts and probably result from a displacement reaction at the benzylic carbon atom by butyllithium. Although displacement reactions by organolithium reagents are not generally observed in high yields, the isolation of 1,1,2-triphenylethylene in the decomposition

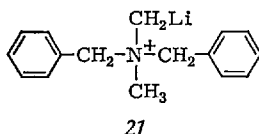
of benzyltrimethylammonium by phenyllithium is also attributed to an initial displacement at the benzyl carbon by the phenyl anion ¹⁶⁴).

Trans-stilbene is found as one of the minor products of the reaction ⁸³). Although a cleavage of the benzyl ylid to give phenyl carbene followed by dimerization could account for the stilbene, this reaction is considered to be less likely than a stepwise process which initially involves a displacement on 9 by the benzyl ylid followed by an α' - β elimination reaction ⁸³).

It was suggested by *Lepley* and *Guimanini* ⁹⁶) that the intimate immonium ion pairs 19 and 20 are the precursors to the rearrangement products rather than ylids or ylid anions because of the isolation of traces



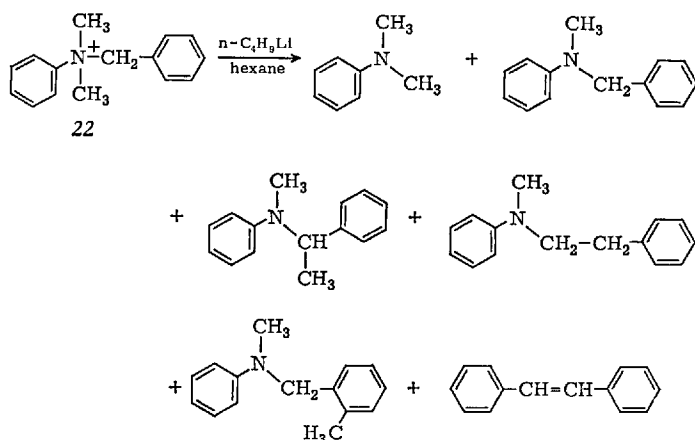
of toluene from the reaction mixture. 19 seems to be a reasonable suggestion, since it is formed from the benzyl ylid and both cationic and anionic partners have an independent stability; however, the presence of 20 as a precursor to 17 seems to be less likely since it would have to be formed by deprotonation at the methyl group. Perhaps, the ylid 21, stabilized by a lithium ion, would have less charge separation and would be the predominant species in this solvent although dilithium derivatives are also possible ⁸³).



The lithiated intermediates could then rearrange to products *via* ion pairs or concerted intramolecular displacement reactions. Perhaps the major objection to invoking ylid or lithiated ylid intermediates is that more products should have been detected than were actually observed.

C. Benzyl Substituted Anilines

An extensive study of the decomposition of the *N,N*-dimethylbenzyl-anilinium ion **22** was recently carried out by *Lepley* and coworkers ^{93,99)} As expected, displacement reactions occur exclusively with hydroxide and alkoxide, an *ortho*-rearrangement occurs with amide, and a variety of products are formed with various organolithium reagents. The products found when butyllithium was employed are listed below.



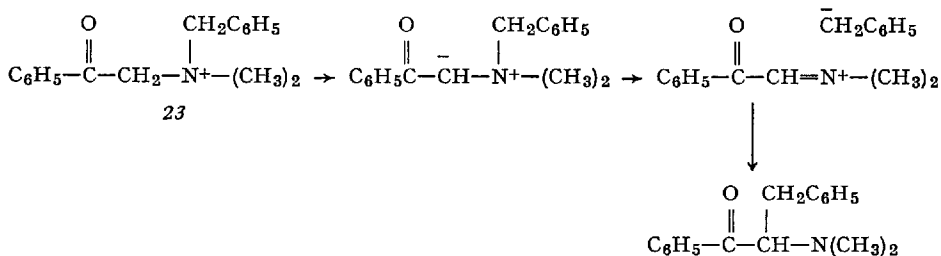
The yield and ratio of the two *Stevens* rearrangement products are dependent on both the base and the solvent; however, the *ortho*-rearrangement product was only detected when butyllithium was used in hexane. Variation of the halide ion had only a small effect on the ratio of rearrangement products. Several mechanisms were considered ⁹³⁾ as routes to the formation of the rearrangement products, 1) ion-pairs, 2) cationic rearrangement, 3) carbenoid, 4) dimetallated intermediates, 5) free-radical, 6) predissociation of the ammonium salt and, 7) sigmatropic shift.

The radical mechanism was considered as one of the best explanations for this rearrangement on the basis of a related study of the reaction of benzyne with *N,N*-dimethylbenzylamine in which a similar ylid is formed. (See Sect. IX.)

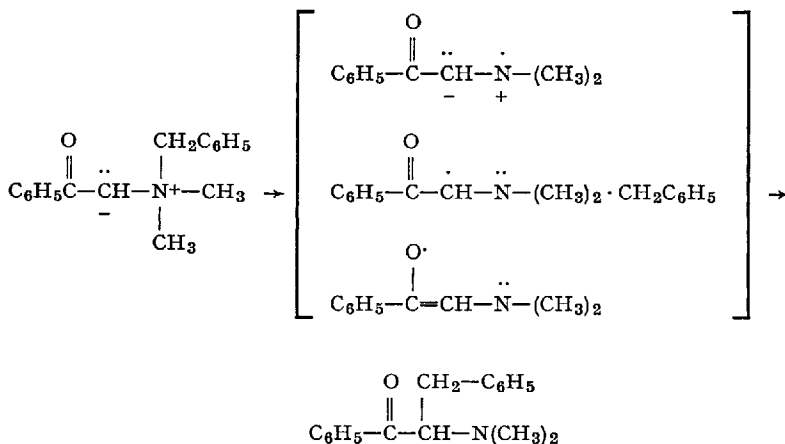
The cleavage products (*N,N*-dimethylaniline, *N*-methyl-*N*-benzylaniline and *n*-pentylbenzene) can be formed by simple displacement reactions on the starting material by the butyllithium. A free-radical cleavage was also considered as a possible, but less likely, alternative.

D. Ion-Pair Formation from Ylids

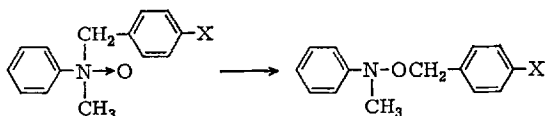
The suggestion of ylids decomposing to ion pair intermediates has been proposed in similar rearrangements ^{140,141,144}. *Thomson* and *Stevens* ¹⁴⁴ suggested an ion-pair intermediate in the rearrangement of phenacyl-benzylidimethylammonium bromide **23** with sodium in liquid ammonia.



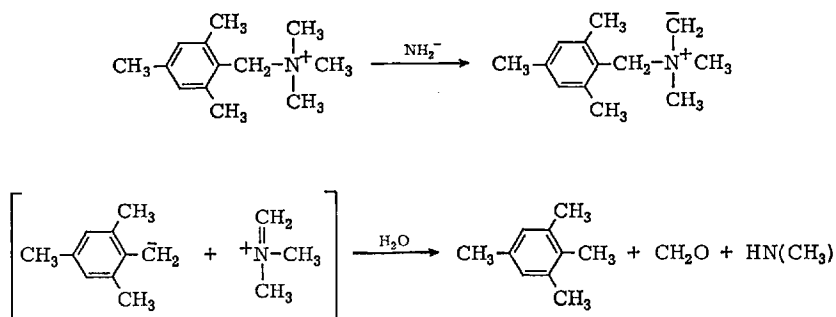
In this case the reaction is carried out in a polar solvent and both anion and cation partners are stabilized by resonance. Later it was shown ¹⁷) that the migrating group retains its configuration and therefore a tight ion-pair would have to be formed in order to prevent racemization. An ion-pair intermediate containing a benzyl carbanion was supported by the observation that electron accepting substituents in the benzene ring of the benzyl group accelerate the reaction whereas electron releasing groups retard the reaction. No appreciable effect on the reaction rate is noted when substituents are placed on the benzene ring of the phenacyl group ¹⁴⁴). Recently, however, *Schöllkopf* and *Ludwig* ¹³¹) have suggested that a radical pair intermediate rather than an ion-pair may be involved in this rearrangement.



This view was based on a kinetic analysis of the *Meisenheimer* rearrangement of the related amine oxide where a radical dissociation-recombination mechanism was proposed ¹³¹).



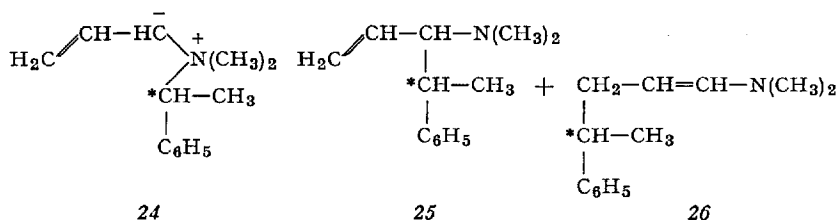
Evidence for the decomposition of a benzyl ylid to an ion pair was reported by *Kantor and Hauser* ⁵⁸) in the reaction of the 2,4,6-trimethylbenzyltrimethylammonium ion with sodium amide. In this reaction, where the quaternary ion cannot undergo an *ortho*-rearrangement, isodurene was formed in 63% yield along with much formaldehyde.



This observation also supports the suggestion that the *exo*-methylene cyclohexadiene is involved in the rearrangement of the benzyltrimethylammonium ion.

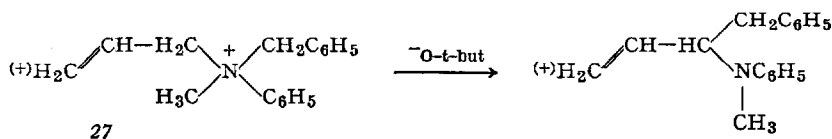
Bumgardner ²²) also suggested an immonium ion-pair as a possible intermediate in the rearrangement of allylbenzyltrimethylammonium-bromide with sodium amide in liquid ammonia. However, he notes that an ylid intermediate must be formed in the rate-determining step and the ylid rearranges directly or gives the intermediate ion-pair which rearranges.

Jenny and Druey ⁷⁷) presented a rather convincing argument for the existence of an ylid breaking down to an ion-pair intermediate in the decomposition of optically active allyl dimethyl(1-phenylethyl)ammonium bromide, *24*, with sodium amide in benzene at 80 °C or in liquid ammonia at -33 °C. They observed that the migrating group retains its configuration regardless of whether it migrates to the 2 (*25*) or to the 4

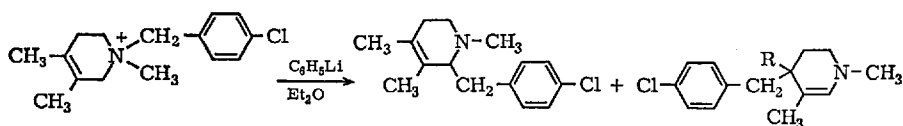


(26) position. They concluded that if only one mechanism leads to the two products, it cannot be an S_Ni mechanism, since this would cause the 1,4 rearrangement product, 26, to be inverted. Since the configuration of 26 is retained, the benzylic group must migrate to the 4-position with its pair of electrons and without inversion. Similar studies on allyl derivatives have been carried out by *Hellmann*⁶⁵⁾ and by *Saunders and Gold*¹²⁵⁾.

*Banthorpe*¹⁰⁾ has questioned the conclusions regarding ion pair intermediates in this reaction. He suggests a concerted 1,4 shift to explain the observations of *Jenny and Druey*⁷⁷⁾ since the C_1-N bond has no stabilization in the transition state. Models also indicate that a 1,4 shift with retention of configuration is not as unfavorable as claimed. According to *Banthorpe*¹⁰⁾ the S_Ni mechanism also seems to account satisfactorily for the reaction of 27 with *t*-butoxide in dimethylsulfoxide⁶⁷⁾. In this reaction, a compound with an optically active nitrogen is converted to a compound with an optically active carbon. An extremely tight ion-pair intermediate would have to be formed in order for this reaction to proceed with the observed stereospecificity.



An ion pair mechanism has also been invoked to account for the 1,2 and 1,4 rearrangements which are observed when tetrahydropyridinium salts are heated with phenyllithium in ether⁷⁶⁾.



In this case an S_Ni reaction at the 4-position is unlikely for steric reasons.

E. Benzhydryl Substitution

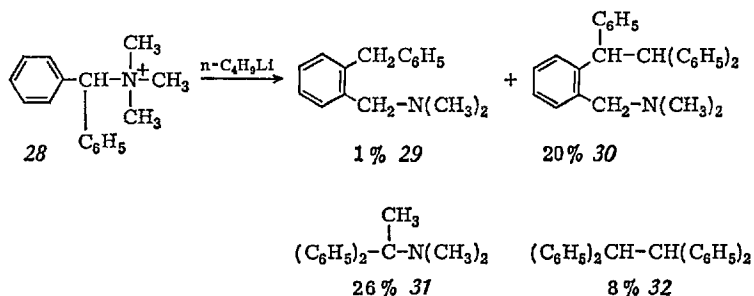
Although the *Sommelet* rearrangement ¹³⁸⁾ product 29 was initially reported in the decomposition of benzhydryltrimethylammonium hydroxide, 28, the major products result from displacement reactions ⁷¹⁾. *Hughes and Ingold* ⁷¹⁾ studied the decomposition of benzhydryltrimethylammonium hydroxide as a function of concentration.

Alcohol Distribution in the Decomposition of Benzhydryltrimethylammonium Hydroxide ⁷¹⁾

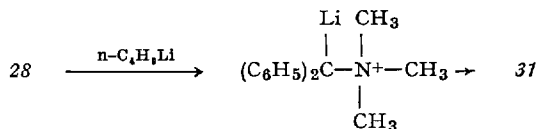
Concn. salt	Alc. Total Yield	% $\phi_2\text{CHOH}$	% MeOH
2.94N	73	52	49
2.4	93	62	38
1.2	100	85	15
0.7	100	89	11
0.56	100	91	9

In this reaction the formation of methanol was second order, whereas the formation of diphenylcarbinol was first order. This suggests that the ionization of the benzhydryl proton to give an ylid is the rate determining step in the cleavage of this molecule. The ylid must then decompose in a fast step to give product ⁷¹⁾.

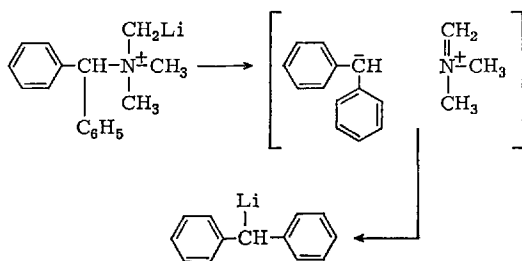
When 28 is treated with *n*-butyllithium in ether-hexane ⁸³⁾, with phenyllithium in ether, or with 1:5 phenyllithium: phenylsodium in ether ¹⁴⁸⁾, a variety of rearrangement products are formed.



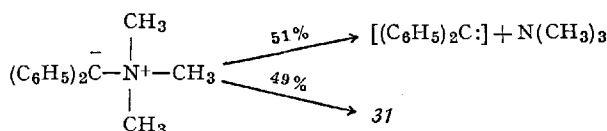
In the reaction of 28 with butyllithium or phenyllithium, the major product, 31, is reported to result from a *Stevens* rearrangement of the most stable ylid or its lithium derivative ¹⁴⁸.



The high yield of 30 is ascribed to the displacement of the benzhydryl group by the lithio derivative of 29. The tetraphenylethane, 32, is reported to result from a displacement on 28 by benzhydryllithium which may have resulted from the decomposition of the methyl ylid to an immonium ion-pair.



If phenylsodium is used in the reaction along with phenyllithium, the metallated ylid would be less stable, and the products would be those expected from the reaction or decomposition of the free ylid and not of its lithio derivative. When this reaction was carried out by *Tschesche* ¹⁴⁸ in the presence of an excess of cyclohexene, the benzhydryl ylid was rapidly formed as indicated by the red color of the solution. However, the color was quickly discharged to give 28% 32, 27% 31, 12% 29, 32% 30. To account for these results, it was assumed ¹⁴⁸ that the benzhydryl ylid is initially formed in 70% yield whereas the methyl ylid is formed in a 30% yield. Half of the benzhydryl ylid decomposes to give diphenylcarbene whereas the other half undergoes a *Stevens* rearrangement to give 31.



The stabilization of the benzhydryl ylid is expected to be quite high since the related fluorenylid (2) can be isolated as a salt free solid. The high yield of 32 was attributed to hydrogen atom abstraction from the cyclohexene by the diphenylcarbene and subsequent coupling of diphenylmethyl radicals ⁴⁶⁾.

It is interesting to note that the fluorenylid decomposes to difluorenylidene and trimethylamine on heating ¹⁶¹⁾. These products may result from the ylid decomposing to the carbene which couples rather than abstracts a hydrogen atom as in the case of benzhydryl carbene in the presence of cyclohexene.

Klein, Van Eenam, and Hauser ⁸³⁾ have generalized the reaction of butyllithium with 6, 14, and 28. The benzyl quaternary ion 6 mainly undergoes an *ortho*-rearrangement, the dibenzyl quaternary ion 14 a displacement reaction, and the benzhydryl quaternary ion 28, a *Stevens* rearrangement. The acidity of the benzhydryl proton is responsible for the *Stevens* rearrangement in 28. The reason for the displacement reaction in 14 is attributed to the fact that benzyldimethylamine is a better leaving group than trimethylamine. It is known ^{3,23)} that a phenyl substituted amine is a good leaving group under *Hofmann* conditions; however, the benzyl group has not been studied in these reactions.

Although each of these ions reacts differently toward butyllithium, treatment with phenyllithium always gives predominantly the *Stevens* rearrangement, and treatment with amide ion in liquid ammonia gives predominantly the *ortho*-rearrangement. Sulfonium and benzyl sulfides ⁵⁹⁾ on treatment with potassium amide undergo a similar *ortho*-rearrangement which proceeds *via* the sulfur ylid.

VII. Ylids from Tetraalkylammonium Salts

The existence of ylids in the decomposition of tetraalkylammonium salts has received some attention in recent years, but only in reactions with organometallic reagents has their presence been demonstrated ^{6,32,156)}.

The basic decomposition of tetraalkylammonium salts (the *Hofmann* degradation), has been reviewed extensively ^{30,135)} and will not be discussed here in detail. However, it should be noted that both displacement reactions and α -proton abstraction reactions may occur in addition to elimination reaction ³⁰⁾. *Ingold* and *Patel* ⁷⁵⁾ report that the amount of substitution relative to elimination varies depending upon both the substituent on nitrogen and the base.

In all cases the other products are the alcohol and the tertiary amine. It was not determined whether any ethers were produced in these reactions. Likewise proton scrambling experiments have not been carried out

Decomposition of Quaternary Alkylammonium Alkoxides
(% Elimination)

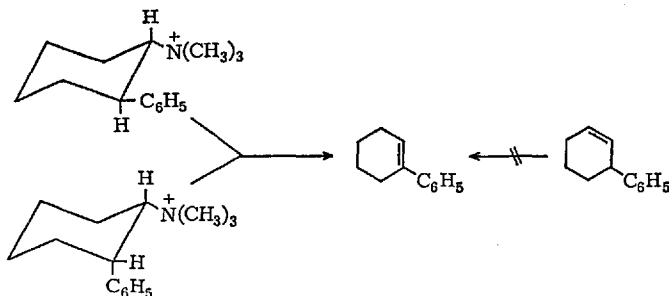
Quaternary ion	OH ⁻	OCH ₃ ⁻	OC ₂ H ₅ ⁻
C ₂ H ₅ -N ⁺ (CH ₃) ₃	94	90	88
n-C ₄ H ₉ -N ⁺ (CH ₃) ₃	77	—	—
iso-C ₄ H ₉ N ⁺ (CH ₃) ₃	63	57	55

on these molecules and it is not known whether any proton exchange or ylid formation occurs.

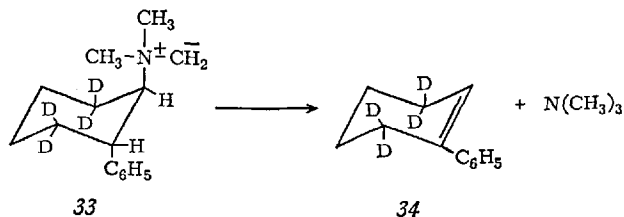
The decomposition of decyltrimethylammonium hydroxide at 200 °C as a function of salt concentration was studied by *Hughes and Ingold*⁷²⁾. The formation of the displacement product, N,N-dimethyldecylamine, is favored in the presence of solvent whereas the elimination product, decene, is favored when the dry salt is decomposed. Thus, β-proton abstraction processes are more favorable as the solvent is removed.

Another interesting comparison was reported by von *Braun*¹⁵⁰⁾ in which various quaternary ammonium hydroxides were decomposed under *Hofmann* conditions and in the presence of glycerol. These results also show that the displacement reaction is favored in the presence of a hydroxylic solvent. It was also noted by *Hanhart and Ingold*⁵⁷⁾ that displacement reactions are favored over elimination reactions in thermal decompositions of quaternary ammonium salts as the nucleophilicity of the anion is increased from chloride to acetate.

Although the normal course of the *Hofmann* elimination is *via* a concerted *trans* E-2 elimination, in certain cases a *cis* elimination is observed. For example, both *cis*- and *trans*-2-phenylcyclohexyltrimethylammonium hydroxides give 1-phenylcyclohexene on decomposition⁴⁾.

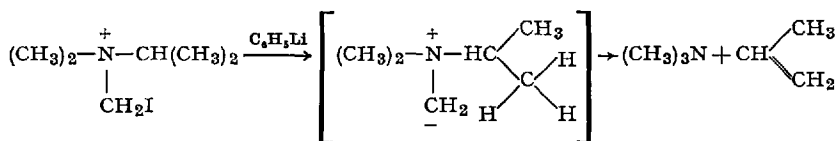


That 3-phenylcyclohexene had formed initially in a *trans* elimination and then isomerized to the product was ruled out, since this compound is stable under the conditions of the reaction ¹⁵²⁾. In addition, *trans*-3,3,6,6-tetra-deutero-2-phenyl-cyclohexyltrimethylammonium hydroxide, **33**, decomposed to the olefin **34** without loss of deuterium ²⁹⁾. A *cis*-elimination involving a methylene ylid could account for the observed reaction.



This type of reaction is termed an α' - β elimination and it is isoelectronically similar to the pyrolysis of amine oxides ³⁰⁾. However, the occurrence of an α' - β elimination was subsequently disproven in this particular reaction because the trimethylamine which forms in the decomposition of *trans*-2-phenyl-2-deuterocyclohexyltrimethylammonium hydroxide contains no deuterium ⁷⁾. Therefore, a *cis* E-2 mechanism was proposed to account for the experimental observations ³⁶⁾.

The α' - β elimination was initially proposed by *Wittig and Polster* ¹⁷¹⁾ to account for the formation of the trimethylamine, propylene and iodobenzene when isopropylidimethyliodomethylammonium iodide was treated with phenyllithium.



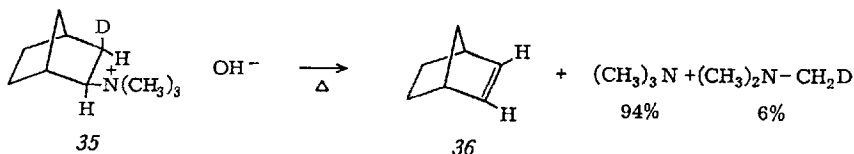
To determine whether the α' - β mechanism was operating in the *Hofmann* degradation, several labelling experiments were carried out by *Weygand, Daniel, and Simon* ¹⁵⁶⁾. They examined the decomposition of 2-tritioethyltrimethyl ammoniumhydroxide at 150 °C and the reaction of the bromide salt with phenyllithium at room temperature. Since only a small amount of tritium was found in the trimethylamine when the hydroxide was decomposed, they concluded that the α' - β path was not important. However, 54% of the original activity was present in the trimethylamine when the bromide salt was treated with phenyllithium,

suggesting that the α' - β path with an ylid intermediate was an important decomposition route in the presence of an organometallic reagent ¹⁵⁶⁾. Results of the pyrolysis of β - d_3 -ethyltrimethylammonium hydroxide also indicated that an ylid path was not important ³²⁾.

In a similar reaction, e.g., the decomposition of cyclohexylmethyl- β - d -trimethylammonium salts, analogous results were observed. The α' - β path was important when phenyllithium was used, but this route could not be detected in the *Hofmann* degradation of the hydroxide ³²⁾. However in the *Hofmann* degradation at 95 °C, only 45% of the reaction proceeds by elimination. The other 55% decomposes by demethylation. The elimination does not proceed by a α' - β process, since no deuterium was initially found in the trimethylamine. However, as the reaction proceeds, up to 20% deuterium is found in the trimethylamine. Thus, an exchange reaction between the solvent (H_2O and DOH formed during the abstraction reaction) and the methyl carbon atoms of the quaternary ammonium salt occurs simultaneously with the elimination and displacement reactions. This exchange reaction was postulated to account for the incorporation of deuterium into the trimethylamine as the reaction proceeds rather than the initiation of an α' - β elimination. Confirmation of the incorporation of deuterium in the trimethylamine by exchange with solvent in the quaternary ammonium salt was obtained by comparing the amount of deuterium in the *N,N*-dimethyl-cyclohexylmethyl- β - d amine formed in the displacement reaction with the amount of deuterium in the trimethylamine formed in the elimination reaction as the reaction proceeds ³²⁾. Since both of these products must come from the same starting material, with a statistical distribution of deuterium in the methyl groups, this technique constitutes a reliable check on an exchange mechanism occurring simultaneously with elimination. Such an exchange reaction proceeding along with elimination has been invoked a number of times to rule out an α' - β elimination in the *Hofmann* degradation even though some deuterium is found in the trimethylamine. It must be emphasized, however, that this conclusion is based on the assumption that the mechanism does not change as the "solvent" is removed during the course of reaction. If the exchange reaction proceeds *via* an ylid intermediate, reprotonation by the solvent will be reduced as the solvent is removed, and abstraction of the β -hydrogen may become favorable. Although this possibility always exists, an α' - β elimination has never been definitely characterized in hydroxylic solvents.

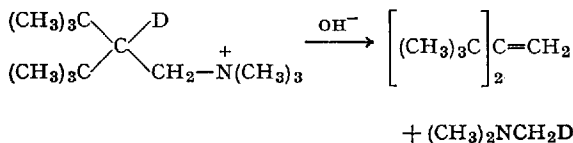
Recently it was reported ^{26,28)} that the existence of a *cis*- or *syn*-elimination can *never* be used to show that an α' - β mechanism is operating since a *cis* E-2 elimination with concerted but not a synchronous bond breaking is also possible and appears to be more favorable than the α' - β path. Decomposition of *N,N,N*-trimethyl-3-*exo-d*₁-bicyclo[2.2.1]heptyl-

2-exo ammonium hydroxide, 35, gives bicyclo[2.2.1]hept-2-ene, 36, containing no deuterium ²⁶).



Initially the trimethylamine contains 6% deuterium and it was concluded that a maximum of 6% of the reaction proceeds thru an ylid path ²⁶). However, when the reaction is carried to completion the trimethylamine contains 17% trimethylamine-d₁. In this reaction no substitution products (dimethylalkylamines) were obtained when the hydroxide was dried thoroughly, under high vacuum, but an exchange reaction which incorporates deuterium into the methyl groups must be operating and a concerted exchange would have to involve at least one mole of solvent. However, if ylid formation is proposed to account for the exchange reaction, an α' - β elimination reaction must not occur.

When steric factors prevent the attack of base at the β -hydrogen as shown the following reaction, the *Hofmann* degradation is found to proceed *via* an α' - β path ³¹).

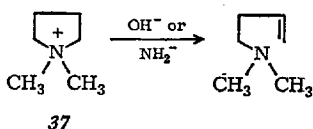


VIII. Ylids from Cyclic Quaternary Ammonium Salts

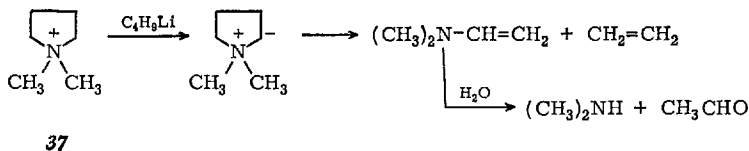
A series of bases was used to cause the elimination of trimethylamine from the cyclooctyltrimethylammonium ion ¹⁷⁴). The thermal decomposition of the hydroxide at 140 °C or reaction with sodium amide at -40 °C gives a mixture of *cis*- and *trans*-cyclooctenes with the *trans*-form predominating and suggesting a normal *trans* E-2 elimination. However, when phenyllithium is used as the base, the *cis*-cyclooctene predominates. The *cis*-cyclooctene also occurs predominantly when bromomethyldimethyl cyclooctylammonium bromide is treated with phenyllithium. Thus, the ylid path operates when organolithium reagents are used in nonpolar solvents and the normal *trans*-E-2 elimination occurs in hydroxylic solvents. If the α -hydrogens are made more acidic, as in the benzyl-

dimethylcyclooctylammonium ion, treatment with sodium amide in liquid ammonia gives *cis*-cyclooctene exclusively ²¹). Thus the conversion from a β -elimination to an α' - β elimination by a subtle change in the structure of the cation was apparently achieved ²¹). However, as discussed in Sect. 7, the presence of *cis*-cyclooctene cannot be taken as conclusive evidence that an α' - β elimination had occurred.

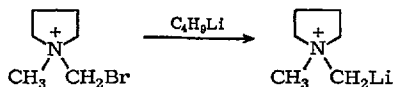
In other cyclic systems, it is found that the reaction of the *N,N*-dimethylpyrrolidinium cation with hydroxide or amide gives 4-dimethylaminobutene-1 in a normal *Hofmann* elimination ¹⁷⁴) However, a fragmentation reaction giving ethylene and dimethylvinyl amine occurs



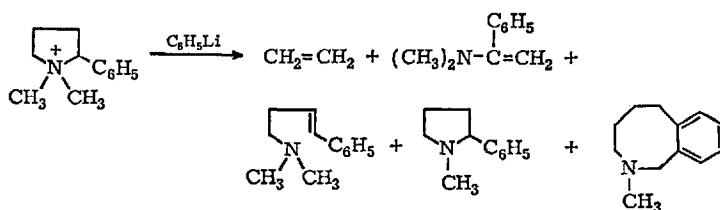
during the reaction of the dimethylpyrrolidinium ion with butyllithium or phenyllithium ^{38,154}) in ether. The dimethylvinylamine is not isolated, but decomposes to dimethylamine and acetaldehyde on hydrolysis.



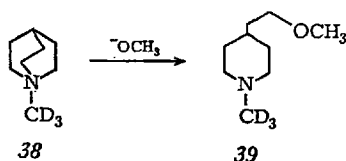
The reaction probably proceeds thru the ylid generated in the ring, since the methylene ylid, prepared from *N*-methyl-*N*-bromomethylpyrrolidinium bromide and butyllithium, does not undergo the α' - β elimi-



nation to give 4-dimethylaminobutene-1. The methylene ylid therefore decomposes to *N*-methylpyrrolidine and dimethylamine ¹⁷⁵). The dimethylamine must result from a rearrangement of the methylene ylid to the ring ylid which decomposes by the fragmentation reaction ¹⁷⁵). When *N,N*-dimethyl-2-phenylpyrrolidine is treated with phenyllithium, products resulting from substitution and *ortho*-rearrangement paths are observed, as well as fragmentation ³⁷).

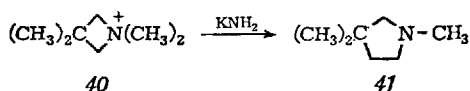


The decomposition of N-trideuteriomethylquinuclidinium methoxide (38) was studied in an attempt to induce a simple demethylation without hydrogen scrambling. However, when the pyrolysis was carried out, the major product (92%) was the ring opened piperidine (39), which appears

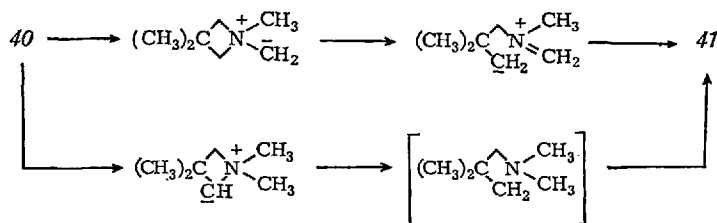


to be formed in a simple displacement reaction ¹¹¹). In the decomposition of N-methyl quinuclidinium hydroxide, three products are formed in low yield: quinuclidine, 4-vinyl-N-methyl piperidine, and 4-(2-hydroxyethyl)-N-methyl piperidine ¹⁰²).

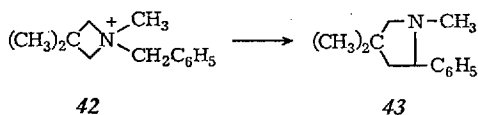
Anderson and Wills ¹) report ylid intermediates in the reaction of azetidines with potassium amide in liquid ammonia. The major product resulting from the reaction with 1,1,3,3-tetramethylazetidinium bromide, 40, is the ring enlarged product 41 in 70% yield. Both an ion pair mech-



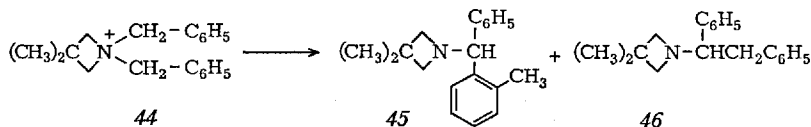
anism and a carbene mechanism were suggested to account for the high yield of the pyrrolidine, but the ion-pair mechanism was favored.



Alternative concerted processes do not appear to release much ring strain in the activated complex, and it would be expected that methyl migration rather than ring enlargement would have been observed ¹⁾. In 1-benzyl-1,3,3-trimethylazetidinium iodide, **42**, the major product is again the



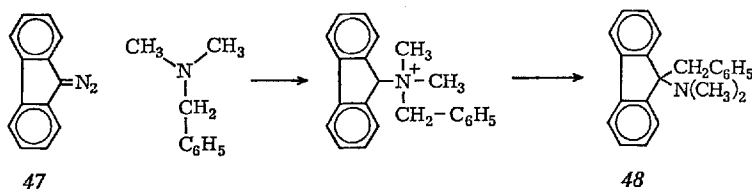
pyrrolidine. However, in the *N,N*-dibenzyl derivative, **44**, the major product is the *Sommelet* product, **45**, in 98% yield with only a small amount



(2%) of the *Stevens* rearrangement product, **46**. Apparently the ion-pair involving the benzyl carbanion is more stable than the ring opened carbanion and the reaction proceeds to give **45** rather than the pyrrolidine.

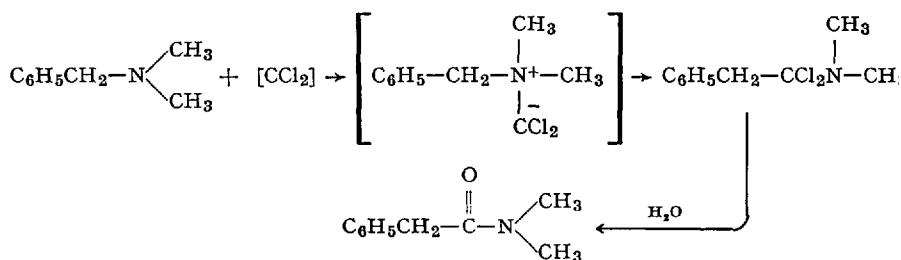
IX. Other Synthetic Approaches to Nitrogen Ylids

Although the most common method of preparing ylids involves proton abstraction from a quaternary ammonium salt, another method which has been used in ylid synthesis involves the reaction of carbenes with tertiary amines. *Bamford* and *Stevens* ⁸⁾ reported that the reaction of diazofluorene, **47**, with benzyldimethylamine at 150 °C in the absence of solvent gives 9-benzyl-9-dimethylaminofluorene in 30% yield (**48**). Later, *Wittig* and *Schlosser* ¹⁷⁷⁾ noted that if copper II was used as a catalyst, the reaction could be carried out at a lower temperature in THF to give a 21% yield of the same product.

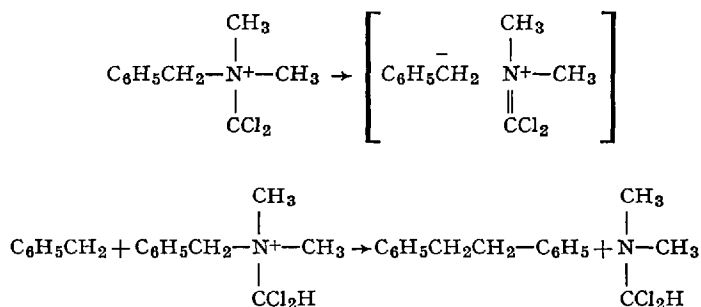


It was also shown ⁴⁸⁾ that when trimethylammonium fluorenylid was treated with dimethylbenzylamine, trimethylamine was eliminated and 48 was obtained. A transamination involving an intermediate carbene was suggested as the precursor to 48 ⁴⁸⁾.

Saunders and Murray ¹²⁴⁾ found that if tertiary amines are treated with dichlorocarbene (generated from potassium *t*-butylate and chloroform in benzene) an ylid intermediate is formed. For example, when benzyl dimethylamine is treated with dichlorocarbene, *N,N*-dimethylphenylacetamide and dibenzyl are isolated. The following mechanism was proposed for the formation of the amide.



No ortho rearrangement product was observed. The presence of dibenzyl in this reaction is surprising. It was proposed that the ylid decomposed to an ion-pair containing a benzyl carbanion which is then alkylated by the protonated ylid to give dibenzyl ¹²⁴⁾.

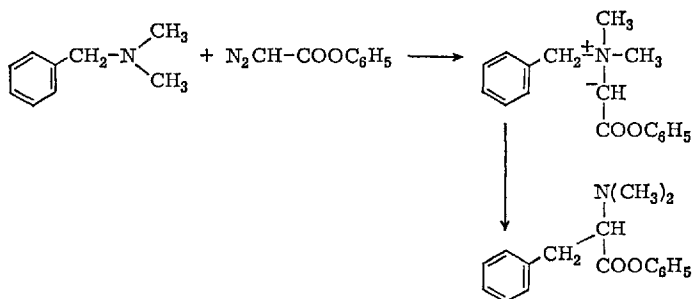


The *t*-butanol was suggested as the source of the hydrogen required to protonate the ylid ¹²⁴⁾. However, in the presence of *t*-butanol, the

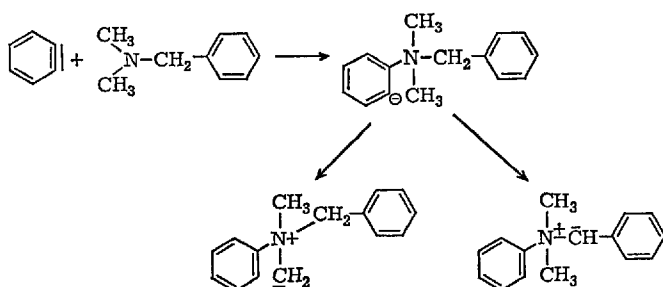
free benzyl carbanion should have also been protonated to give toluene, but no toluene was observed. Perhaps a radical path involving the coupling of benzyl radicals would account for dibenzyl in the most straightforward manner.

The reaction of dichlorocarbene with triethylamine resulted in α' - β elimination of ethylene and the formation of diethylformamide after hydrolysis ¹²⁴). When trimethylamine was treated with dichlorocarbene, no normal *Stevens* rearrangement products were observed and the major product isolated was α,α,β -trichloroethylamine. The presence of this extra chlorine atom in the product is unexpected and a satisfactory mechanism has not been proposed for its formation.

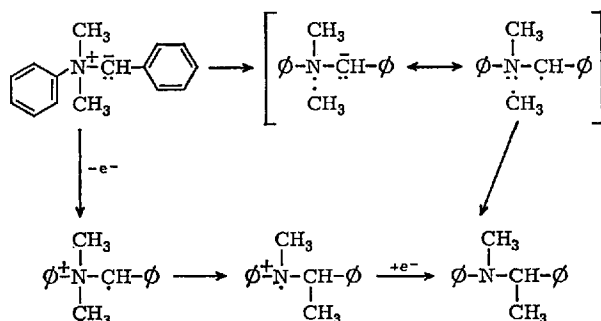
The reaction of carbene (from diazomethane) with N-methyl pyrrolidine gives products resulting from insertion into all of the C-H bonds but no N-methyl piperidine was formed by a *Stevens* rearrangement of the methyl ylid. However, when phenyl diazoacetate was treated with benzyldimethylamine, benzyl migration occurs presumably *via* an intermediate ylid ⁴⁵).



Another method of generating ylids developed by *Wittig* and coworkers ^{160,173}) and by *Hellmann* and *Unsel* ⁶⁴) involves the reactions of tertiary amines with benzyne. Recently, *Lepley*, *Becker*, and *Giumanini* ⁹³) studied the reaction of benzyne with N,N-dimethylbenzylamine and showed that the major product of the reaction was N-methyl-N-(α -phenethyl)aniline, in 35% yield. Small amounts of N-methyl-N-benzylaniline and N-methyl(β -phenethyl)aniline were also observed. To explain these observations it was suggested that the phenyl carbanion which is formed initially undergoes an internal proton migration to give the benzyl or methylene ylid. Subsequent rearrangement of the ylids gives rise to the observed products.



Proton magnetic resonance studies of the reaction showed stimulated emission and enhanced absorption of the benzylic protons on N-methyl-N-(α -phenylethyl)-aniline. This observation suggests that the benzylic ylid undergoes a *Stevens* rearrangement by a free radical pair methyl migration^{94,99}.



This radical-pair mechanism may be extremely important in many ylid rearrangement processes.

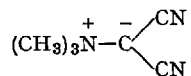
X. Other Nitrogen Ylids

In the preceding discussion those ylids which are stabilized by delocalization of the cationic and/or anionic charge were not treated extensively. For completeness, a few of these compounds will be described here.

The synthesis and reactions of trimethylammonium fluorenylid 2, an isolable solid, has already been discussed. Trimethylammonium cyclopentadienyld has also been prepared⁴¹) as a pink solid, but no

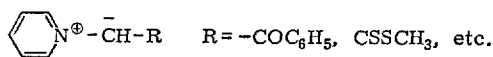
reactions of this compound have been reported. However, it might be expected that its behavior would be similar to that of the fluorenylid.

One of the most stable ylids is *trimethylammonium dicyanomethylid*. This ylid is stable at room temperature and in the presence of oxygen and

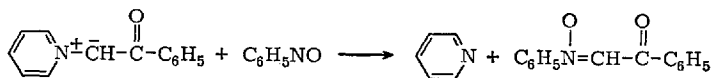


water, and melts at 154 °C. Although this ylid appears similar to the dichloromethylid described earlier, no corresponding reactions of this ylid have been reported.

Pyridinium ylids can be stabilized if the anionic portion of the ylid is delocalized ^{42,77}.



Much of the work on pyridinium ylids has been carried out by *Kröhnke* and his papers should be consulted for background information on this subject ^{90,91}. A general discussion of pyridinium ylids is also presented by *Johnson* ⁷⁷. Alkylation and acylation reactions are quite common with this ylid and it has been shown that C-alkylation followed by reductive cleavage of the pyridine residue is a useful method for the synthesis of alkylated ketones and esters ⁶⁶. Another interesting elimination occurs if the ylid is treated with nitrosobenzene ⁸⁹.

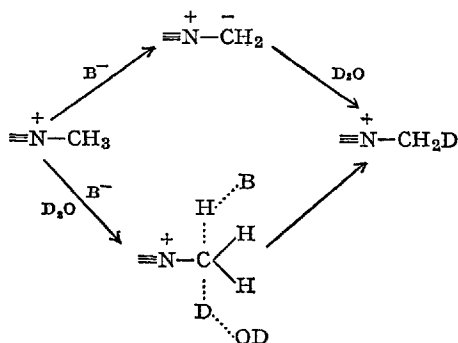


This type of reaction has not been reported for 7.

A rather interesting synthesis of a pyridinium ylid was reported by *Phillips* and *Ratts* ¹¹³. The reaction of pyridine with bromoacetic acid in the presence of benzaldehyde at 120 °C in nitrobenzene solvent gives 1-(2-hydroxy-2-phenylethyl)pyridinium bromide in 75% yield. The mechanism suggested for the reaction involves the formation of the the pyridinium betaine which decarboxylates to the ylid. Subsequent reaction of the ylid with benzaldehyde and protonation gives the final product.

When quaternary ammonium salts are treated with strongly basic reagents, proton abstraction from a carbon atom adjacent to the nitrogen atom often occurs. Displacement reactions at the α -carbon atom occur concomitantly with α -proton abstraction and the extent of this competitive path depends on the nucleophilicity of the reagent, the acidity of the α -hydrogen, the temperature and the solvent.

If *Lewis* acids are present, the ylid may be stabilized and decomposition may be reduced or prevented entirely. The lithium ion is especially useful in stabilizing the ylid although other *Lewis* acids may be employed. Proton exchange reactions between the ylid and the solvent (*Bronsted* acid) compete with alternative decomposition reactions and tend to stabilize the ylid. It is suggested that these proton exchange reactions generally proceed through an ylid intermediate rather than through an activated complex which resembles that of an S_N2 reaction at a neopentyl carbon.

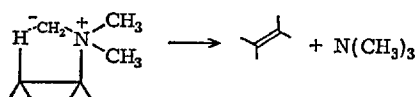


The greater the stabilization of the carbanionic portion of the ylid, *e.g.*, benzyl, the more likely the ylid path is followed.

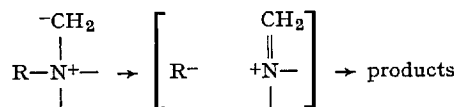
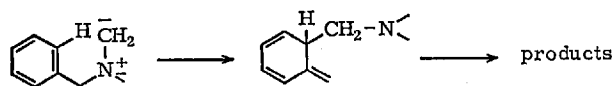
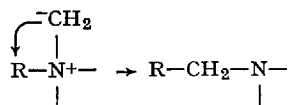
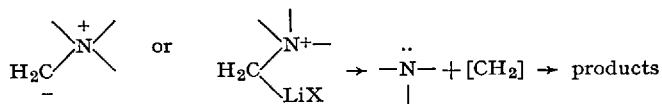
Once the ylid has been formed, various decomposition reactions are observed. In the presence of *Lewis* acids it is difficult to ascertain whether the free ylid, its metalated adduct, or a dimetalated species is involved in the activated complex leading to decomposition. If the anionic portion of the ylid is stabilized by resonance, the extent of complexation with the *Lewis* acid is reduced.

The most common reactions of the ylid (stabilized or not) are proton abstraction and displacement reactions. In general, proton abstraction reactions are favored, since the ylid can be envisaged as a neopentyl carbanion with a high steric requirement and high basicity.

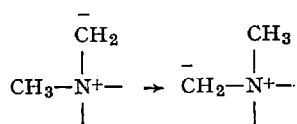
The following decomposition routes have been observed for nitrogen ylids. These diagrams only illustrate the mode of decomposition and do not imply a description of the species involved in the transition state.

1. α' - β Elimination

2. Ion-pair Decomposition

3. γ -Carbanionic Attack (*Sommelet-Hauser* Rearrangement; *ortho*-rearrangement)4. α -Carbanionic Attack (*Stevens* Rearrangement)5. α -Elimination (Carbenoid)

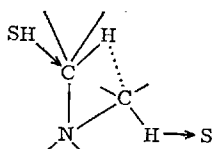
6. Intramolecular Exchange



stabilized under the conditions of the reaction. This path or a more detailed description of α -migration is probably the most common decomposition route of all nitrogen ylids.

Path 5 has not been confirmed in the ylid, but products which can be attributed to this path are noted in the decomposition of the fluoronylid and in alkoxy-substituted quaternary ammonium salts. Although ethylene and polymethylene are observed in the decomposition of the ylid, it has been suggested that these products are formed *via* a stepwise alkylation reaction. However, the ylid may be regarded as a carbenoid, with the $N^+(CH_3)_3$ group behaving as a pseudohalogen, which reacts either as the free ylid or as the lithium halide complex.

Paths 6 and 7 occur concurrently with other decomposition schemes but may remain unnoticed unless deuterium is incorporated into the molecule. It is felt that the intramolecular path is probably the more important route. However, it should be pointed out that a free ylid need not necessarily be present in this case, for a concerted exchange can also occur.



In an nmr study of the reaction of *N,N*-dimethylbenzylamine with benzyne, Lepley⁹⁸⁾ observed a free radical intermediate (path 8) which is formed from the ylid and which rearranges to *N*-methyl-*N*-(α -phenethyl)aniline *via* a Stevens rearrangement. Prior to this report^{98,99)} radical intermediates had not been observed in the Stevens rearrangement but their presence had been suggested¹³¹⁾. This radical path must be considered in all reactions of nitrogen ylids for it may be the route by which many rearrangement reactions occur.

Acknowledgement: I wish to thank the National Institute of Health for support of much of my research on nitrogen ylids. I wish to thank Dr. Stanley L. Pine for a preprint of a review article entitled, "The Basic Rearrangement of Quaternary Ammonium Salts," which will soon be published in Organic Reactions. I especially thank Dr. Arthur R. Lepley for several preprints of his work on radical intermediates and for his valuable comments on the manuscript.

XII. References

- 1) *Anderson, A. G., Jr., and M. T. Wills*: J. Org. Chem. **33**, 3047 (1968).
- 2) *Appel, R., H. Heinen u. R. Schöllborn*: Chem. Ber. **99**, 3118 (1966).
- 3) *Archer, D. A., and H. Booth*: J. Chem. Soc. **1963**, 322.
- 4) *Arnold, R. T., and P. N. Richardson*: J. Am. Chem. Soc. **76**, 3649 (1954).
- 5) *Arnold, Z.*: Collection Czech. Chem. Commun. **20**, 1113 (1961).
- 6) *Ayrey, G., E. Buncl, and A. N. Bourns*: Proc. Chem. Soc. (London) **1961**, 458.
- 7) —, *A. N. Bourns, and V. A. Vyas*: Can. J. Chem. **41**, 1759 (1963).
- 8) *Bamford, W. R., and T. S. Stevens*: J. Chem. Soc. **1952**, 1675.
- 9) *Banthorpe, D. V.*: Elimination Reactions, p. 101. Amsterdam: Elsevier 1963.
- 10) — The Chemistry of the Amino Group, p. 616; *Saul Patai*, ed. London: Interscience 1968.
- 11) *Banus, M. D., R. W. Bragdon, and T. R. P. Gibb, Jr.*: J. Am. Chem. Soc. **74**, 2346 (1952).
- 12) *Barber, A. C., C. T. Chinnick, and P. A. Lincoln*: J. Appl. Chem. (London) **5**, 594 (1954).
- 13) *Berglund, U., and L. G. Sillen*: Acta Chem. Scand. **2**, 116 (1948).
- 14) *Bethell, D., D. Whittaker, and J. D. Callister*: J. Chem. Soc. **1965**, 2466.
- 15) *Bickelhaupt, F., and J. W. F. K. Barnick*: Rec. Trav. Chim. **87**, 188 (1968).
- 16) *Boekelheide, V., and N. A. Fedonic*: J. Am. Chem. Soc. **90**, 3830 (1968).
- 17) *Brewster, J. H., and M. W. Kline*: J. Am. Chem. Soc. **74**, 5179 (1952).
- 18) *Brown, T. L., D. W. Dickerhoof, and D. A. Bafus*: J. Am. Chem. Soc. **84**, 1371 (1962).
- 19) *Bugg, C., R. Desiderato, and R. L. Sass*: J. Am. Chem. Soc. **86**, 3157 (1964).
- 20) —, and *R. L. Sass*: Acta Cryst. **18**, 591 (1965).
- 21) *Bumgardner, C. L.*: J. Org. Chem. **27**, 1035 (1962).
- 22) — J. Am. Chem. Soc. **85**, 73 (1963).
- 23) —, and *H. Iwerks*: Chem. Commun. **1968**, 431.
- 24) *Bunnell, J. F.*: Angew. Chem. Intern. Ed. Engl. **1**, 225 (1962).
- 25) *Campbell, A., A. H. Houston, and J. Kenyon*: J. Chem. Soc. **1947**, 93.
- 26) *Coke, J. L., and M. P. Cooke, Jr.*: J. Am. Chem. Soc. **89**, 6701 (1967).
- 27) *Collie, N., and S. B. Schryver*: J. Chem. Soc. **57**, 777 (1890).
- 28) *Cooke, J. P., Jr., and J. L. Coke*: J. Am. Chem. Soc. **90**, 5556 (1968).
- 29) *Cope, A. C., G. A. Berchtold, and D. L. Ross*: J. Am. Chem. Soc. **83**, 3859 (1961).
- 30) —, and *E. R. Trumbull*: Org. Reactions **11**, 317 (1960).
- 31) —, and *A. Mehta*: J. Am. Chem. Soc. **85**, 1949 (1963).
- 32) —, *N. A. LeBel, P. T. Moore, and W. R. Moore*: J. Am. Chem. Soc. **83**, 3861 (1961).
- 33) —, *E. Ciganeh, L. J. Fleckenstein, and M. A. P. Musinger*: J. Am. Chem. Soc. **82**, 4651 (1960).
- 34) *Corey, E. J., and M. Chaykovsky*: J. Am. Chem. Soc. **84**, 3782 (1962).
- 35) *Cram, D. J.*: Fundamentals of Carbanion Chemistry, p. 56. New York: Academic Press 1965.
- 36) *Cristol, S. J., and D. I. Davies*: J. Org. Chem. **27**, 293 (1962).
- 37) *Daniel, H., u. F. Weygand*: Ann. **671**, 111 (1964).
- 38) — Ann. **673**, 92 (1964).
- 39) —, u. *J. Paetsch*: Angew. Chem. **76**, 577 (1964).
- 40) — — Chem. Ber. **101**, 1445 (1968).
- 41) *Dauben, H. J., Jr., and W. W. Spooncer*: Abst. Papers, 126th meeting Am. Chem. Soc., p. 18—O.
- 42) *Dimroth, K., G. Arnoldy, S. von Eicken u. G. Schiffer*: Ann. **604**, 221 (1957).

- 43) *Doering, W., von, and E. and A. K. Hoffmann*: J. Am. Chem. Soc. 77, 521 (1955).
- 44) *Franklin, E. C.*: Nitrogen System of Compounds, pp. 63. New York: Reinhold Publ. Co. 1935.
- 45) *Franzen, V., u. H. Kuntze*: Ann. 627, 15 (1959).
- 46) —, u. *H. J. Joscheck*: Ann. 633, 7 (1960).
- 47) —, u. *G. Wittig*: Angew. Chem. 72, 417 (1960).
- 48) — Chem. Ber. 93, 557 (1960).
- 49) *Gilman, H., and R. G. Jones*: J. Am. Chem. Soc. 63, 1439 (1941).
- 50) *Glaze, W., and R. West*: J. Am. Chem. Soc. 82, 4437 (1960).
- 51) *Goh, S. W., L. E. Closs, and G. L. Closs*: J. Org. Chem. 34, 25 (1969).
- 52) *Grovenstein, E., and R. W. Stevenson*: J. Am. Chem. Soc. 81, 4842 (1959).
- 53) *Grovenstein, E., Jr., and R. W. Stevenson*: J. Am. Chem. Soc. 81, 4850 (1959).
- 54) *Grovenstein, E., and L. C. Rogers*: J. Am. Chem. Soc. 86, 854 (1964).
- 55) —, and *G. Wentworth*: J. Am. Chem. Soc., 89, 1852 (1967).
- 56) *Hager, F. D., and C. S. Marvel*: J. Am. Chem. Soc. 48, 2689 (1926).
- 57) *Hanhart, W., and C. K. Ingold*: J. Chem. Soc. 997 (1927).
- 58) *Hauser, C. R., and S. W. Kantor*: J. Am. Chem. Soc. 73, 1437 (1951).
- 59) — —, and *W. R. Brasen*: J. Am. Chem. Soc. 75, 2660 (1953).
- 60) *Hawthorne, M. F.*: J. Am. Chem. Soc. 80, 3480 (1958).
- 61) — J. Am. Chem. Soc. 83, 367 (1961).
- 62) — J. Am. Chem. Soc. 87, 1587 (1965).
- 63) *Hazlehurst, D. A., A. K. Holliday, and G. Pass*: J. Chem. Soc. 1956, 4653.
- 64) *Hellmann, H., u. W. Unseld*: Ann. 631, 82 (1960).
- 65) —, u. *G. M. Scheytt*: Ann. 654, 39 (1962).
- 66) *Henrick, C. A., E. Ritchie, and W. C. Taylor*: Aust. J. Chem. 20, 2441 (1967).
- 67) *Hill, R. K., and Tak. Hang Chan*: J. Am. Chem. Soc. 88, 866 (1966).
- 68) *Hock, H., u. F. Ernst*: Chem. Ber. 92, 2716 (1959).
- 69) *Hofmann, A. W.*: Chem. Ber. 14, 494 (1881).
- 70) *House, H. O., H. C. Müller, C. G. Pitt, and P. C. Wickham*: J. Org. Chem. 28, 2407 (1963).
- 71) *Hughes, E. D., and C. K. Ingold*: J. Chem. Soc. 1933, 69.
- 72) — — J. Chem. Soc. 1933, 523.
- 73) — —, and *C. S. Patel*: J. Chem. Soc. 1933, 526.
- 74) *Hünig, S., u. W. Baron*: Chem. Ber. 90, 385 (1957).
- 75) *Ingold, C. K., and C. S. Patel*: J. Chem. Soc. 1933, 68.
- 76) *Jacobson, A. E., and R. T. Parfitt*: J. Org. Chem. 32, 1894 (1967).
- 77) *Jenny, F., and J. Druey*: Angew. Chem. Intern. Ed. Engl. 1, 155 (1962).
- 78) *Johnson, A. W.*: Ylid Chemistry, 1st Ed. New York: Academic Press 1966.
- 79) *Jones, N. J., and C. R. Hauser*: J. Org. Chem. 26, 2979 (1961).
- 80) — — J. Org. Chem. 27, 806 (1962).
- 81) *Kantor, S. W., and C. R. Hauser*: J. Am. Chem. Soc. 73, 4122 (1951).
- 82) *Kirmse, W.*: Ann. 666, 9 (1963).
- 83) *Klein, K. P., D. N. Van Eenam, and C. R. Hauser*: J. Org. Chem. 32, 1165 (1967).
- 84) —, and *C. R. Hauser*: J. Org. Chem. 31, 4276 (1966).
- 85) *Köbrich, G.*: Angew. Chem. Intern. Ed. Engl. 6, 41 (1967).
- 86) *Kosower, E. M., and B. G. Ramsay*: J. Am. Chem. Soc. 81, 856 (1959).
- 87) *Koster, R., and Y. Moritz*: Angew. Chem. Intern. Ed. Engl. 5, 580 (1966).
- 88) —, and *B. Richborn*: J. Am. Chem. Soc. 89, 2782 (1967).
- 89) *Kröhnke, F., u. E. Borner*: Chem. Ber. 69, 2006 (1936).
- 90) — Angew. Chem. 65, 609 (1953).

- 91) *Kröhnke, F.*, u. *W. Zecher*: *Angew. Chem. Intern. Ed. Engl.* **1**, 626 (1962).
- 92) *Lawson, A. T.*, and *N. Collie*: *J. Chem. Soc.* **53**, 624 (1888).
- 93) *Lepley, A.*: personal communication.
- 94) —, and *R. H. Becker*: *Tetrahedron* **21**, 2365 (1965).
- 95) *Lepley, A. R.*, and *R. H. Becker*: *J. Org. Chem.* **30**, 3888 (1965).
- 96) —, and *A. G. Giumanini*: *J. Org. Chem.* **32**, 1705 (1967).
- 97) —, and *T. A. Brodof*: *J. Org. Chem.* **32**, 3234 (1967).
- 98) — *J. Am. Chem. Soc.* **91**, 1237 (1969).
- 99) — Symposium Preprints, Division of Petroleum Chemistry ACS. Vol. 14, No. 2, pp. C 43–60, 1969.
- 100) *Linn, W. J.*, *O. W. Webster*, and *R. E. Benson*: *J. Am. Chem. Soc.* **85**, 2032 (1963).
- 101) — — — *J. Am. Chem. Soc.*, **87**, 3651 (1965).
- 102) *Lukés, R.*, *O. Strouf*, and *M. Ferles*: *Collection Czech. Chem. Commun.* **22**, 1173 (1957).
- 103) *McKenna, J.*, *B. G. Hutley*, and *J. White*: *J. Chem. Soc.* **1965**, 1729.
- 104) *Matteson, D. S.*, and *T. Cheng*: *J. Org. Chem.* **33**, 3055 (1968).
- 105) *Musker, W. K.*: *J. Am. Chem. Soc.* **86**, 960 (1964).
- 106) —, and *R. R. Stevens*: *Tetrahedron Letters* **11**, 995 (1967).
- 107) — *J. Org. Chem.* **32**, 3189 (1967).
- 108) — *J. Chem. Ed.* **45**, 200 (1968).
- 109) —, and *R. R. Stevens*: *J. Am. Chem. Soc.* **90**, 3515 (1968).
- 110) — — *Inorg. Chem.* **8**, 255 (1969).
- 111) — Unpublished report.
- 112) *Parry, R. W.*, and *H. Schumacher*: Personal Communication.
- 113) *Phillips, W. G.*, and *K. W. Ratts*: *Tetrahedron Letters* **18**, 1383 (1969).
- 114) *Pine, S. H.*: *J. Org. Chem.* **33**, 2554 (1968).
- 115) — *Tetrahedron Letters* 3393 (1967).
- 116) — Personal Communication.
- 117) —, and *B. L. Sanchez*: *Tetrahedron Letters* **18**, 1319 (1969).
- 118) *Puterbaugh, W. H.*, and *C. R. Hauser*: *J. Am. Chem. Soc.* **86**, 1105 (1964).
- 119) *Robb, E. W.*, and *J. J. Westbrook III*: *Anal. Chem.* **35**, 1644 (1963).
- 120) *Roberts, J. D.*, *D. A. Semenow*, *H. E. Simmons*, and *L. A. Carlsmith*: *J. Am. Chem. Soc.* **78**, 601 (1956).
- 121) *Rosen, W. E.*: *J. Org. Chem.* **26**, 5190 (1961).
- 122) *Salinger, R.*, and *R. Dessy*: *Tetrahedron Letters* 729 (1963).
- 123) *Salinger, R. M.*: *Survey of Progress in Chemistry* **7**, 301 (1963).
- 124) *Saunders, M.*, and *R. W. Murray*: *Tetrahedron* **11**, 1 (1960).
- 125) —, and *E. H. Gold*: *J. Am. Chem. Soc.* **88**, 3376 (1966).
- 126) *Schlenk, W.*, u. *J. Holtz*: *Ber.* **49**, 603 (1916); *ibid.* **50**, 274 (1917).
- 127) *Schmidbaur, H.*, u. *W. Tronich*: *Angew. Chem.* **79**, 412 (1967).
- 128) — — *Chem. Ber.* **101**, 604 (1968).
- 129) — — *Chem. Ber.* **101**, 595 (1968).
- 130) *Schöllkopf, U.*, u. *W. Pitteroff*: *Ber.* **97**, 636 (1964).
- 131) — u. *U. Ludwig*: *Ber.* **101**, 2224 (1968).
- 132) *Seyferth, D.*, and *S. O. Grim*: *J. Am. Chem. Soc.* **83**, 1610 (1961).
- 133) — — *J. Am. Chem. Soc.* **83**, 1613 (1961).
- 134) *Shamma, M.*, *N. C. Deno*, and *J. F. Remar*: *Tetrahedron Letters* 1375 (1966).
- 135) *Shiner, V. J.*, and *M. L. Smith*: *J. Am. Chem. Soc.* **80**, 4095 (1958).
- 136) *Simmons, H. E.*, and *R. D. Smith*: *J. Am. Chem. Soc.* **78**, 3224 (1956).
- 137) *Snyder, H. R.*, and *J. A. Brewster*: *J. Am. Chem. Soc.* **71**, 291 (1949).
- 138) *Sommelet, M.*: *Compt. Rend.* **205**, 56 (1937).

- 139) *Stevens, J. C., R. N. Renaud, and L. C. Leitch*: Personal Communication.
140) *Stevens, T. S., E. M. Creighton, A. B. Gordon, and M. MacNicol*: *J. Chem. Soc.* 1928, 3193.
141) — *J. Chem. Soc.* 1930, 2107.
142) *Tanaka, J., J. E. Dunning, and J. C. Carter*: *J. Org. Chem.* 31, 3431 (1966).
143) *Thompson, C. M., and J. T. Cundall*: *J. Chem. Soc.* 53, 761 (1888).
144) *Thomson, T., and T. S. Stevens*: *J. Chem. Soc.* 1932, 55.
145) — — *J. Chem. Soc.* 1932, 1932.
146) *Tochtermann, W.*: *Angew. Chem. Intern. Ed. Engl.* 5, 351 (1966).
147) *Traynelis, V. J., Sr., J. V. McSweeney, O. P.*: *J. Org. Chem.* 31, 243 (1966).
148) *Tschesche, H.*: *Chem. Ber.* 98, 3318 (1965).
149) *Tufariello, J. J., and L. T. C. Lee*: *J. Am. Chem. Soc.* 89, 2782 (1967).
150) *Braun, J., von, u. E. R. Buchman*: *Ber.* 64, 2610 (1931).
151) *Wakefield, B. J.*: *Organometallic Chem. Rev.* 1, 131 (1966).
152) *Weinstock, J., and F. G. Bordwell*: *J. Am. Chem. Soc.* 77, 6906 (1955).
153) *Weygand, F., H. Daniel u. H. Simon*: *Chem. Ber.* 91, 1691 (1958).
154) — — *Chem. Ber.* 94, 1688 (1961).
155) — — *Chem. Ber.* 94, 3147 (1961).
156) — — u. *H. Simon*: *Ann.* 654, 111 (1962).
157) —, *A. Schroll, H. Daniel*: *Chem. Ber.* 97, 837 (1964).
158) —, *H. Daniel u. A. Schroll*: *Chem. Ber.* 97, 1217 (1964).
159) *Wilson, N. D. V., and J. A. Joule*: *Tetrahedron* 24, 5493 (1968).
160) *Wittig, G., u. W. Merkle*: *Ber.* 76, 109 (1933).
161) —, u. *G. Felletschin*: *Ann.* 555, 133 (1944).
162) —, u. *M. H. Wetterling*: *Ann.* 557, 193 (1947).
163) —, *M. Heintzler u. M. H. Wetterling*: *Ann.* 557, 201 (1947).
164) —, *R. Mangold u. G. Felletschin*: *Ann.* 560, 116 (1948).
165) —, u. *M. Reiber*: *Ann.* 562, 177 (1949).
166) —, *H. Tenheff, W. Schoch u. G. Koenig*: *Ann.* 572, 1 (1951).
167) — *Angew. Chem.* 63, 15 (1951).
168) —, u. *H. Fritz*: *Ann.* 577, 39 (1952).
169) —, u. *H. Streib*: *Ann.* 584, 1 (1953).
170) —, u. *R. Polster*: *Ann.* 599, 1, (1956).
171) — — *Ann.* 599, 13 (1956).
172) — *Angew. Chem.* 70, 65 (1958).
173) —, u. *E. Benz*: *Ber.* 92, 1999 (1959).
174) —, u. *T. Burger*: *Ann.* 632, 85 (1960).
175) —, u. *W. Tochtermann*: *Chem. Ber.* 94, 1692 (1961).
176) —, u. *K. Schwarzenbach*: *Ann.* 650, 1 (1961).
177) —, u. *M. Schlosser*: *Tetrahedron* 18, 1023 (1962).
178) — *Bull. Soc. Chim. France*, 1963, 1352.
179) —, u. *D. Krauss*: *Ann.* 679, 34 (1964).
180) —, u. *F. Wingley*: *Chem. Ber.* 97, 2139 (1964).
181) *Wittmann, H., G. Möller u. E. Ziegler*: *Monatsh. Chem.* 97, 1207 (1966).
182) *Ziegler, E., H. Wittmann u. F. Orlinger*: *Monatsh. Chem.* 96, 208 (1965).
183) *Zimmerman, H. G.*: *Molecular Rearrangements*, Vol. 1, p. 345 (*P. de Mayo*, ed.)
New York: Interscience.

Received August 4, 1969